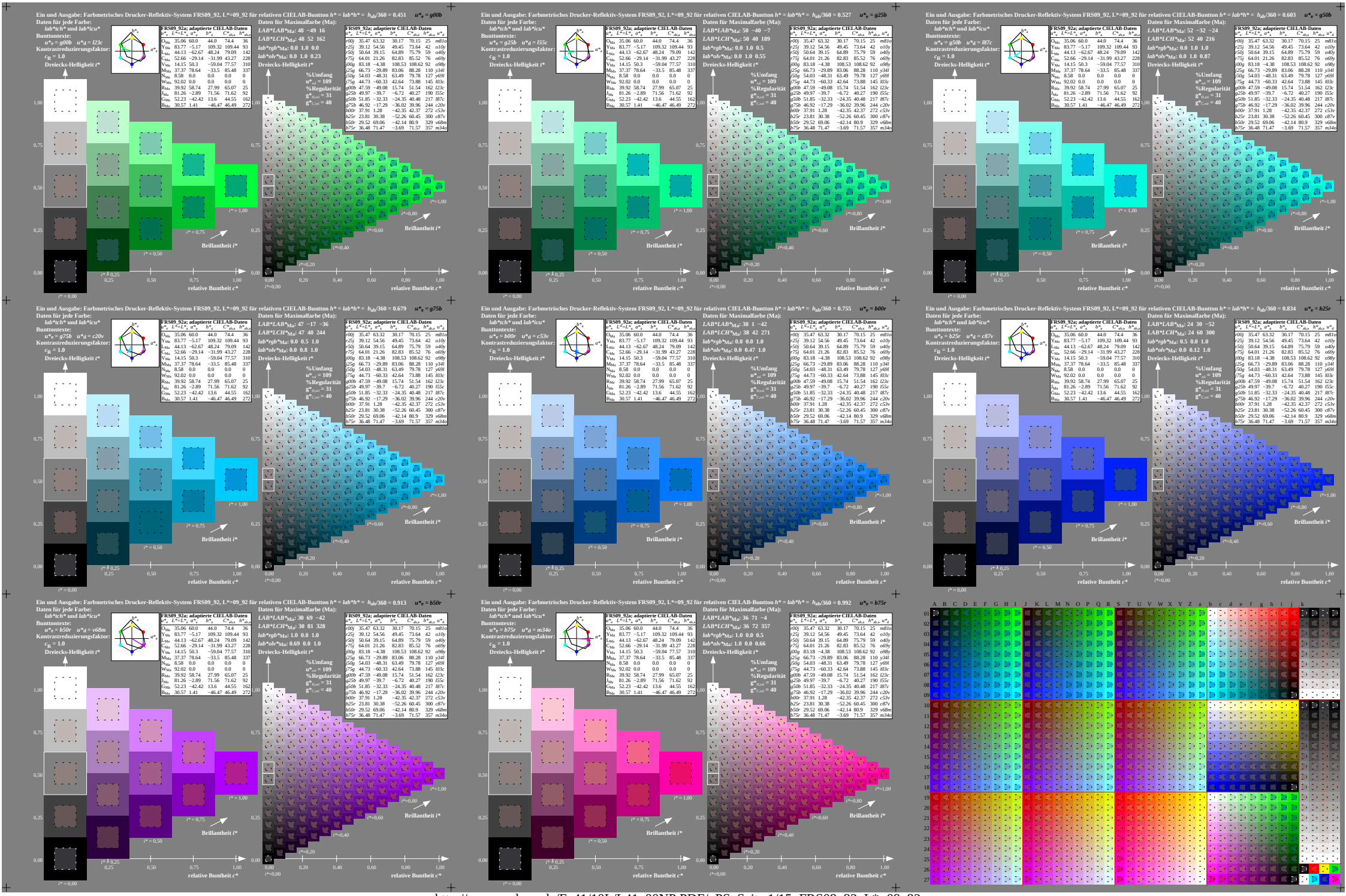
Ein und Ausgabe: Farbmetrisches Drucker-Reflektiv-System FRS09_92, L*=09_92 für relativen CIELAB-Buntton h* = lab*h* = Rab/360 = 0.451 u*e = g00b
Daten für jede Farbe: lab*c/h* und lab*c/u*
Buntontexte: u*e = g00b u*d = l23c
Kontrastreduzierungsfaktor: cR = 1.0
Daten für Maximalfarbe (Ma): LAB*LAB*Ma: 48 -49 16 LAB*LCH*Ma: 48 52 162 lab*rgb*Ma: 0.0 1.0 0.0 lab*olv*Ma: 0.0 1.0 0.23
Ein und Ausgabe: Farbmetrisches Drucker-Reflektiv-System FRS09_92, L*=09_92 für relativen CIELAB-Buntton h* = lab*h* = Rab/360 = 0.527 u*e = g25b
Daten für jede Farbe: lab*c/h* und lab*c/u*
Buntontexte: u*e = g25b u*d = l55c
Kontrastreduzierungsfaktor: cR = 1.0
Daten für Maximalfarbe (Ma): LAB*LAB*Ma: 50 -40 -7 LAB*LCH*Ma: 50 40 189 lab*rgb*Ma: 0.0 1.0 0.5 lab*olv*Ma: 0.0 1.0 0.55
Ein und Ausgabe: Farbmetrisches Drucker-Reflektiv-System FRS09_92, L*=09_92 für relativen CIELAB-Buntton h* = lab*h* = Rab/360 = 0.603 u*e = g50b
Daten für jede Farbe: lab*c/h* und lab*c/u*
Buntontexte: u*e = g50b u*d = l87c
Kontrastreduzierungsfaktor: cR = 1.0
Daten für Maximalfarbe (Ma): LAB*LAB*Ma: 52 -32 -24 LAB*LCH*Ma: 52 40 216 lab*rgb*Ma: 0.0 1.0 1.0 lab*olv*Ma: 0.0 1.0 0.87
Ein und Ausgabe: Farbmetrisches Drucker-Reflektiv-System FRS09_92, L*=09_92 für relativen CIELAB-Buntton h* = lab*h* = Rab/360 = 0.679 u*e = g75b
Daten für jede Farbe: lab*c/h* und lab*c/u*
Buntontexte: u*e = g75b u*d = c20v
Kontrastreduzierungsfaktor: cR = 1.0
Daten für Maximalfarbe (Ma): LAB*LAB*Ma: 47 -17 -36 LAB*LCH*Ma: 47 40 244 lab*rgb*Ma: 0.0 0.5 1.0 lab*olv*Ma: 0.0 0.8 1.0
Ein und Ausgabe: Farbmetrisches Drucker-Reflektiv-System FRS09_92, L*=09_92 für relativen CIELAB-Buntton h* = lab*h* = Rab/360 = 0.755 u*e = b00r
Daten für jede Farbe: lab*c/h* und lab*c/u*
Buntontexte: u*e = b00r u*d = c53v
Kontrastreduzierungsfaktor: cR = 1.0
Daten für Maximalfarbe (Ma): LAB*LAB*Ma: 38 1 -42 LAB*LCH*Ma: 38 42 271 lab*rgb*Ma: 0.0 0.0 1.0 lab*olv*Ma: 0.0 0.47 1.0
Ein und Ausgabe: Farbmetrisches Drucker-Reflektiv-System FRS09_92, L*=09_92 für relativen CIELAB-Buntton h* = lab*h* = Rab/360 = 0.834 u*e = b25r
Daten für jede Farbe: lab*c/h* und lab*c/u*
Buntontexte: u*e = b25r u*d = c87v
Kontrastreduzierungsfaktor: cR = 1.0
Daten für Maximalfarbe (Ma): LAB*LAB*Ma: 24 30 -52 LAB*LCH*Ma: 24 60 300 lab*rgb*Ma: 0.5 0.0 1.0 lab*olv*Ma: 0.0 0.12 1.0
Ein und Ausgabe: Farbmetrisches Drucker-Reflektiv-System FRS09_92, L*=09_92 für relativen CIELAB-Buntton h* = lab*h* = Rab/360 = 0.913 u*e = b50r
Daten für jede Farbe: lab*c/h* und lab*c/u*
Buntontexte: u*e = b50r u*d = v68m
Kontrastreduzierungsfaktor: cR = 1.0
Daten für Maximalfarbe (Ma): LAB*LAB*Ma: 30 69 -42 LAB*LCH*Ma: 30 81 328 lab*rgb*Ma: 1.0 0.0 1.0 lab*olv*Ma: 0.69 0.0 1.0
Ein und Ausgabe: Farbmetrisches Drucker-Reflektiv-System FRS09_92, L*=09_92 für relativen CIELAB-Buntton h* = lab*h* = Rab/360 = 0.992 u*e = b75r
Daten für jede Farbe: lab*c/h* und lab*c/u*
Buntontexte: u*e = b75r u*d = m34o
Kontrastreduzierungsfaktor: cR = 1.0
Daten für Maximalfarbe (Ma): LAB*LAB*Ma: 36 71 -4 LAB*LCH*Ma: 36 72 357 lab*rgb*Ma: 1.0 0.0 0.5 lab*olv*Ma: 1.0 0.0 0.66
FRS09_92a; adaptierte CIELAB-Daten
Dreiecks-Helligkeit t*
%Umfang u*=1 = 109
%Regularität g*R,int = 31 g*C,int = 40
Brillantheit i*
relative Buntheit c*

Ein und Ausgabe: Farbmetrisches Drucker-Reflektiv-System FRS09_92, L*=09_92 für relativen CIELAB-Buntton $h^* = lab^*h^* = h_{ab}/360 = 0.451$ $u^*_e = g00b$

Daten für jede Farbe: *lab*c*h** und *lab*icu**
Buntontexte: $u^*_e = g00b$ $u^*_d = l23c$
Kontrastreduziergungsfaktor: $c_R = 1.0$
Dreiecks-Helligkeit t^*

Daten für Maximalfarbe (Ma):
$LAB^*LAB^*_{Ma}$: 48 −49 16
$LAB^*LCH^*_{Ma}$: 48 52 162
$lab^*rgb^*_{Ma}$: 0.0 1.0 0.0
$lab^*olv^*_{Ma}$: 0.0 1.0 0.23

Dreiecks-Helligkeit t^*
%Umfang $u^*_{icl} = 109$
%Regularität $g^*_{Ikrit} = 31$
$g^*_{C,crit} = 40$

Brillantheit i^*
relative Buntheit c^*

Ein und Ausgabe: Farbmetrisches Drucker-Reflektiv-System FRS09_92, L*=09_92 für relativen CIELAB-Buntton $h^* = lab^*h^* = h_{ab}/360 = 0.527$ $u^*_e = g25b$

Daten für jede Farbe: *lab*c*h** und *lab*icu**
Buntontexte: $u^*_e = g25b$ $u^*_d = l55c$
Kontrastreduziergungsfaktor: $c_R = 1.0$
Dreiecks-Helligkeit t^*

Daten für Maximalfarbe (Ma):
$LAB^*LAB^*_{Ma}$: 50 −40 −7
$LAB^*LCH^*_{Ma}$: 50 40 189
$lab^*rgb^*_{Ma}$: 0.0 1.0 0.5
$lab^*olv^*_{Ma}$: 0.0 1.0 0.55

Dreiecks-Helligkeit t^*
%Umfang $u^*_{icl} = 109$
%Regularität $g^*_{Ikrit} = 31$
$g^*_{C,crit} = 40$

Brillantheit i^*
relative Buntheit c^*

Ein und Ausgabe: Farbmetrisches Drucker-Reflektiv-System FRS09_92, L*=09_92 für relativen CIELAB-Buntton $h^* = lab^*h^* = h_{ab}/360 = 0.603$ $u^*_e = g50b$

Daten für jede Farbe: *lab*c*h** und *lab*icu**
Buntontexte: $u^*_e = g50b$ $u^*_d = l87c$
Kontrastreduziergungsfaktor: $c_R = 1.0$
Dreiecks-Helligkeit t^*

Daten für Maximalfarbe (Ma):
$LAB^*LAB^*_{Ma}$: 52 −32 −24
$LAB^*LCH^*_{Ma}$: 52 40 216
$lab^*rgb^*_{Ma}$: 0.0 1.0 1.0
$lab^*olv^*_{Ma}$: 0.0 1.0 0.87

Dreiecks-Helligkeit t^*
%Umfang $u^*_{icl} = 109$
%Regularität $g^*_{Ikrit} = 31$
$g^*_{C,crit} = 40$

Brillantheit i^*
relative Buntheit c^*

Ein und Ausgabe: Farbmetrisches Drucker-Reflektiv-System FRS09_92, L*=09_92 für relativen CIELAB-Buntton $h^* = lab^*h^* = h_{ab}/360 = 0.679$ $u^*_e = g75b$

Daten für jede Farbe: *lab*c*h** und *lab*icu**
Buntontexte: $u^*_e = g75b$ $u^*_d = c20v$
Kontrastreduziergungsfaktor: $c_R = 1.0$
Dreiecks-Helligkeit t^*

Daten für Maximalfarbe (Ma):
$LAB^*LAB^*_{Ma}$: 47 −17 −36
$LAB^*LCH^*_{Ma}$: 47 40 244
$lab^*rgb^*_{Ma}$: 0.0 0.5 1.0
$lab^*olv^*_{Ma}$: 0.0 0.8 1.0

Dreiecks-Helligkeit t^*
%Umfang $u^*_{icl} = 109$
%Regularität $g^*_{Ikrit} = 31$
$g^*_{C,crit} = 40$

Brillantheit i^*
relative Buntheit c^*

Ein und Ausgabe: Farbmetrisches Drucker-Reflektiv-System FRS09_92, L*=09_92 für relativen CIELAB-Buntton $h^* = lab^*h^* = h_{ab}/360 = 0.755$ $u^*_e = b00r$

Daten für jede Farbe: *lab*c*h** und *lab*icu**
Buntontexte: $u^*_e = b00r$ $u^*_d = c53v$
Kontrastreduziergungsfaktor: $c_R = 1.0$
Dreiecks-Helligkeit t^*

Daten für Maximalfarbe (Ma):
$LAB^*LAB^*_{Ma}$: 38 1 −42
$LAB^*LCH^*_{Ma}$: 38 42 271
$lab^*rgb^*_{Ma}$: 0.0 0.0 1.0
$lab^*olv^*_{Ma}$: 0.0 0.47 1.0

Dreiecks-Helligkeit t^*
%Umfang $u^*_{icl} = 109$
%Regularität $g^*_{Ikrit} = 31$
$g^*_{C,crit} = 40$

Brillantheit i^*
relative Buntheit c^*

Ein und Ausgabe: Farbmetrisches Drucker-Reflektiv-System FRS09_92, L*=09_92 für relativen CIELAB-Buntton $h^* = lab^*h^* = h_{ab}/360 = 0.834$ $u^*_e = b25r$

Daten für jede Farbe: *lab*c*h** und *lab*icu**
Buntontexte: $u^*_e = b25r$ $u^*_d = c87v$
Kontrastreduziergungsfaktor: $c_R = 1.0$
Dreiecks-Helligkeit t^*

Daten für Maximalfarbe (Ma):
$LAB^*LAB^*_{Ma}$: 24 30 −52
$LAB^*LCH^*_{Ma}$: 24 60 300
$lab^*rgb^*_{Ma}$: 0.5 0.0 1.0
$lab^*olv^*_{Ma}$: 0.0 0.12 1.0

Dreiecks-Helligkeit t^*
%Umfang $u^*_{icl} = 109$
%Regularität $g^*_{Ikrit} = 31$
$g^*_{C,crit} = 40$

Brillantheit i^*
relative Buntheit c^*

Ein und Ausgabe: Farbmetrisches Drucker-Reflektiv-System FRS09_92, L*=09_92 für relativen CIELAB-Buntton $h^* = lab^*h^* = h_{ab}/360 = 0.913$ $u^*_e = b50r$

Daten für jede Farbe: *lab*c*h** und *lab*icu**
Buntontexte: $u^*_e = b50r$ $u^*_d = v68m$
Kontrastreduziergungsfaktor: $c_R = 1.0$
Dreiecks-Helligkeit t^*

Daten für Maximalfarbe (Ma):
$LAB^*LAB^*_{Ma}$: 30 69 −42
$LAB^*LCH^*_{Ma}$: 30 81 328
$lab^*rgb^*_{Ma}$: 1.0 0.0 1.0
$lab^*olv^*_{Ma}$: 0.69 0.0 1.0

Dreiecks-Helligkeit t^*
%Umfang $u^*_{icl} = 109$
%Regularität $g^*_{Ikrit} = 31$
$g^*_{C,crit} = 40$

Brillantheit i^*
relative Buntheit c^*

Ein und Ausgabe: Farbmetrisches Drucker-Reflektiv-System FRS09_92, L*=09_92 für relativen CIELAB-Buntton $h^* = lab^*h^* = h_{ab}/360 = 0.992$ $u^*_e = b75r$

Daten für jede Farbe: *lab*c*h** und *lab*icu**
Buntontexte: $u^*_e = b75r$ $u^*_d = m34o$
Kontrastreduziergungsfaktor: $c_R = 1.0$
Dreiecks-Helligkeit t^*

Daten für Maximalfarbe (Ma):
$LAB^*LAB^*_{Ma}$: 36 71 −4
$LAB^*LCH^*_{Ma}$: 36 72 357
$lab^*rgb^*_{Ma}$: 1.0 0.0 0.5
$lab^*olv^*_{Ma}$: 1.0 0.0 0.66

Dreiecks-Helligkeit t^*
%Umfang $u^*_{icl} = 109$
%Regularität $g^*_{Ikrit} = 31$
$g^*_{C,crit} = 40$

Brillantheit i^*
relative Buntheit c^*

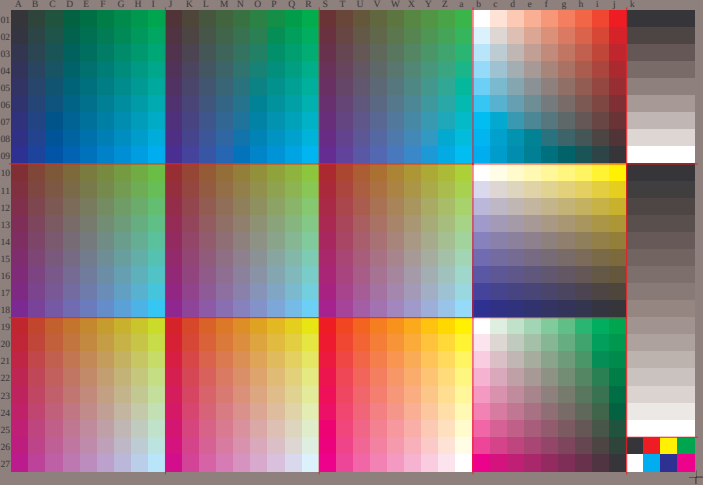

Ein und Ausgabe: Farbmetrisches Drucker-Reflektiv-System FRS09_92, L*=09_92 für relativen CIELAB-Buntton h* = lab*h* = h_{ab}/360 = 0.451 ***u^*_e = g00b***

Daten für jede Farbe:
lab*tch* und *lab*icu*
Bunttontexte:
u^*_e = g00b u^*_d = l23c
Kontrastreduzierungsfaktor:
c_R = 1.0
Dreiecks-Helligkeit t*

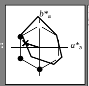

FRS09_92a; adaptierte CIELAB-Daten					
u^*_e	$L^*=L^*_a$	a^*_a	b^*_a	$C^*_{ab,a}$	$h^*_{ab,a}$
O_{Ma}	35.06	60.0	44.0	74.4	36
Y_{Ma}	83.77	−5.17	109.32	109.44	93
L_{Ma}	44.13	−62.67	48.24	79.09	142
C_{Ma}	52.66	−29.14	−31.99	43.27	228
V_{Ma}	14.15	50.3	−59.04	77.57	310
M_{Ma}	37.37	78.64	−33.5	85.48	337
N_{Ma}	8.58	0.0	0.0	0.0	0
W_{Ma}	92.02	0.0	0.0	0.0	0
R_{Ma}	39.92	58.74	27.99	65.07	25
J_{Ma}	81.26	−2.89	71.56	71.62	92
G_{Ma}	52.23	−42.42	13.6	44.55	162
B_{Ma}	30.57	1.41	−46.47	46.49	272

Daten für Maximalfarbe (Ma):
LAB*LAB*$_{Ma}$: 48 −49 16
LAB*LCH*$_{Ma}$: 48 52 162
lab*rgb*$_{Ma}$: 0.0 1.0 0.0
lab*olv*$_{Ma}$: 0.0 1.0 0.23
Dreiecks-Helligkeit t*

%Umfang
u^*_{rel} = 109
%Regularität
$g^*_{H,rel}$ = 31
$g^*_{C,rel}$ = 40

FRS09_92a; adaptierte CIELAB-Daten						
u^*_e	$L^*=L^*_a$	a^*_a	b^*_a	$C^*_{ab,a}$	$h^*_{ab,a}$	u^*_d
r00j	35.47	63.32	30.17	70.15	25	m81o
r25j	39.12	54.56	49.45	73.64	42	o10y
r50j	50.64	39.15	64.89	75.79	59	o40y
r75j	64.01	21.26	82.83	85.52	76	o69y
j00g	83.18	−4.38	108.53	108.62	92	o98y
j25g	66.73	−29.89	83.06	88.28	110	y34l
j50g	54.03	−48.31	63.49	79.78	127	y69l
j75g	44.73	−60.33	42.64	73.88	145	l03c
g00b	47.59	−49.08	15.74	51.54	162	l23c
g25b	49.97	−39.7	−6.72	40.27	190	l55c
g50b	51.85	−32.33	−24.35	40.48	217	l87c
g75b	46.92	−17.29	−36.02	39.96	244	c20v
b00r	37.91	1.28	−42.35	42.37	272	c53v
b25r	23.81	30.38	−52.26	60.45	300	c87v
b50r	29.52	69.06	−42.14	80.9	329	v68m
b75r	36.48	71.47	−3.69	71.57	357	m34o

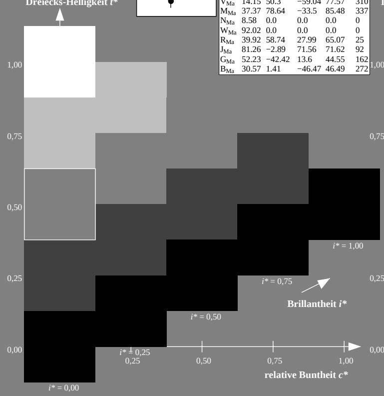

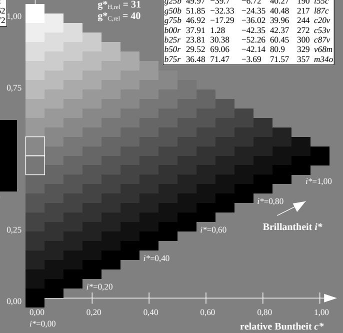

Ein und Ausgabe: Farbmetrisches Drucker-Reflektiv-System FRS09_92, L*=09_92 für relativen CIELAB-Buntton h* = lab*h* = h_{ab}/360 = 0.527 ***u^*_e = g25b***

Daten für jede Farbe:
lab*tch* und *lab*icu*
Bunttontexte:
u^*_e = g25b u^*_d = l55c
Kontrastreduzierungsfaktor:
c_R = 1.0
Dreiecks-Helligkeit t*

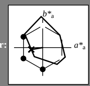

FRS09_92a; adaptierte CIELAB-Daten					
u^*_e	$L^*=L^*_a$	a^*_a	b^*_a	$C^*_{ab,a}$	$h^*_{ab,a}$
O_{Ma}	35.06	60.0	44.0	74.4	36
Y_{Ma}	83.77	−5.17	109.32	109.44	93
L_{Ma}	44.13	−62.67	48.24	79.09	142
C_{Ma}	52.66	−29.14	−31.99	43.27	228
V_{Ma}	14.15	50.3	−59.04	77.57	310
M_{Ma}	37.37	78.64	−33.5	85.48	337
N_{Ma}	8.58	0.0	0.0	0.0	0
W_{Ma}	92.02	0.0	0.0	0.0	0
R_{Ma}	39.92	58.74	27.99	65.07	25
J_{Ma}	81.26	−2.89	71.56	71.62	92
G_{Ma}	52.23	−42.42	13.6	44.55	162
B_{Ma}	30.57	1.41	−46.47	46.49	272

Daten für Maximalfarbe (Ma):
LAB*LAB*$_{Ma}$: 50 −40 −7
LAB*LCH*$_{Ma}$: 50 40 189
lab*rgb*$_{Ma}$: 0.0 1.0 0.5
lab*olv*$_{Ma}$: 0.0 1.0 0.55
Dreiecks-Helligkeit t*

%Umfang
u^*_{rel} = 109
%Regularität
$g^*_{H,rel}$ = 31
$g^*_{C,rel}$ = 40

FRS09_92a; adaptierte CIELAB-Daten						
u^*_e	$L^*=L^*_a$	a^*_a	b^*_a	$C^*_{ab,a}$	$h^*_{ab,a}$	u^*_d
r00j	35.47	63.32	30.17	70.15	25	m81o
r25j	39.12	54.56	49.45	73.64	42	o10y
r50j	50.64	39.15	64.89	75.79	59	o40y
r75j	64.01	21.26	82.83	85.52	76	o69y
j00g	83.18	−4.38	108.53	108.62	92	o98y
j25g	66.73	−29.89	83.06	88.28	110	y34l
j50g	54.03	−48.31	63.49	79.78	127	y69l
j75g	44.73	−60.33	42.64	73.88	145	l03c
g00b	47.59	−49.08	15.74	51.54	162	l23c
g25b	49.97	−39.7	−6.72	40.27	190	l55c
g50b	51.85	−32.33	−24.35	40.48	217	l87c
g75b	46.92	−17.29	−36.02	39.96	244	c20v
b00r	37.91	1.28	−42.35	42.37	272	c53v
b25r	23.81	30.38	−52.26	60.45	300	c87v
b50r	29.52	69.06	−42.14	80.9	329	v68m
b75r	36.48	71.47	−3.69	71.57	357	m34o

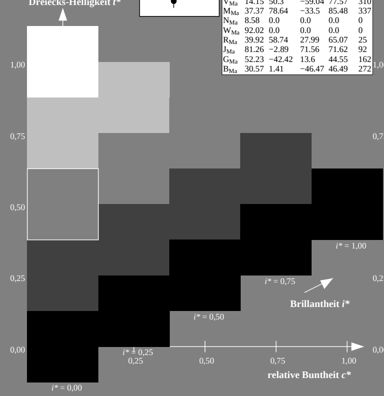

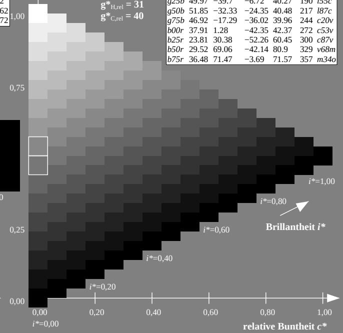

Ein und Ausgabe: Farbmetrisches Drucker-Reflektiv-System FRS09_92, L*=09_92 für relativen CIELAB-Buntton h* = lab*h* = h_{ab}/360 = 0.603 ***u^*_e = g50b***

Daten für jede Farbe:
lab*tch* und *lab*icu*
Bunttontexte:
u^*_e = g50b u^*_d = l87c
Kontrastreduzierungsfaktor:
c_R = 1.0
Dreiecks-Helligkeit t*

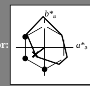

FRS09_92a; adaptierte CIELAB-Daten					
u^*_e	$L^*=L^*_a$	a^*_a	b^*_a	$C^*_{ab,a}$	$h^*_{ab,a}$
O_{Ma}	35.06	60.0	44.0	74.4	36
Y_{Ma}	83.77	−5.17	109.32	109.44	93
L_{Ma}	44.13	−62.67	48.24	79.09	142
C_{Ma}	52.66	−29.14	−31.99	43.27	228
V_{Ma}	14.15	50.3	−59.04	77.57	310
M_{Ma}	37.37	78.64	−33.5	85.48	337
N_{Ma}	8.58	0.0	0.0	0.0	0
W_{Ma}	92.02	0.0	0.0	0.0	0
R_{Ma}	39.92	58.74	27.99	65.07	25
J_{Ma}	81.26	−2.89	71.56	71.62	92
G_{Ma}	52.23	−42.42	13.6	44.55	162
B_{Ma}	30.57	1.41	−46.47	46.49	272

Daten für Maximalfarbe (Ma):
LAB*LAB*$_{Ma}$: 52 −32 −24
LAB*LCH*$_{Ma}$: 52 40 216
lab*rgb*$_{Ma}$: 0.0 1.0 1.0
lab*olv*$_{Ma}$: 0.0 1.0 0.87
Dreiecks-Helligkeit t*

%Umfang
u^*_{rel} = 109
%Regularität
$g^*_{H,rel}$ = 31
$g^*_{C,rel}$ = 40

FRS09_92a; adaptierte CIELAB-Daten						
u^*_e	$L^*=L^*_a$	a^*_a	b^*_a	$C^*_{ab,a}$	$h^*_{ab,a}$	u^*_d
r00j	35.47	63.32	30.17	70.15	25	m81o
r25j	39.12	54.56	49.45	73.64	42	o10y
r50j	50.64	39.15	64.89	75.79	59	o40y
r75j	64.01	21.26	82.83	85.52	76	o69y
j00g	83.18	−4.38	108.53	108.62	92	o98y
j25g	66.73	−29.89	83.06	88.28	110	y34l
j50g	54.03	−48.31	63.49	79.78	127	y69l
j75g	44.73	−60.33	42.64	73.88	145	l03c
g00b	47.59	−49.08	15.74	51.54	162	l23c
g25b	49.97	−39.7	−6.72	40.27	190	l55c
g50b	51.85	−32.33	−24.35	40.48	217	l87c
g75b	46.92	−17.29	−36.02	39.96	244	c20v
b00r	37.91	1.28	−42.35	42.37	272	c53v
b25r	23.81	30.38	−52.26	60.45	300	c87v
b50r	29.52	69.06	−42.14	80.9	329	v68m
b75r	36.48	71.47	−3.69	71.57	357	m34o

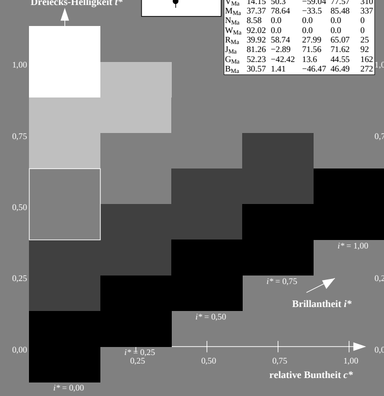

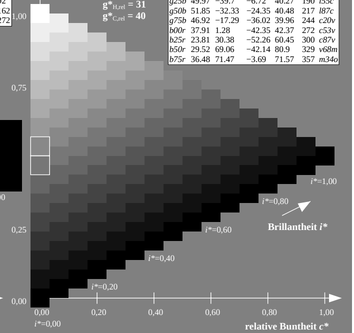

Ein und Ausgabe: Farbmetrisches Drucker-Reflektiv-System FRS09_92, L*=09_92 für relativen CIELAB-Buntton h* = lab*h* = h_{ab}/360 = 0.679 ***u^*_e = g75b***

Daten für jede Farbe:
lab*tch* und *lab*icu*
Bunttontexte:
u^*_e = g75b u^*_d = c20v
Kontrastreduzierungsfaktor:
c_R = 1.0
Dreiecks-Helligkeit t*

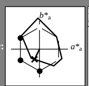

FRS09_92a; adaptierte CIELAB-Daten					
u^*_e	$L^*=L^*_a$	a^*_a	b^*_a	$C^*_{ab,a}$	$h^*_{ab,a}$
O_{Ma}	35.06	60.0	44.0	74.4	36
Y_{Ma}	83.77	−5.17	109.32	109.44	93
L_{Ma}	44.13	−62.67	48.24	79.09	142
C_{Ma}	52.66	−29.14	−31.99	43.27	228
V_{Ma}	14.15	50.3	−59.04	77.57	310
M_{Ma}	37.37	78.64	−33.5	85.48	337
N_{Ma}	8.58	0.0	0.0	0.0	0
W_{Ma}	92.02	0.0	0.0	0.0	0
R_{Ma}	39.92	58.74	27.99	65.07	25
J_{Ma}	81.26	−2.89	71.56	71.62	92
G_{Ma}	52.23	−42.42	13.6	44.55	162
B_{Ma}	30.57	1.41	−46.47	46.49	272

Daten für Maximalfarbe (Ma):
LAB*LAB*$_{Ma}$: 47 −17 −36
LAB*LCH*$_{Ma}$: 47 40 244
lab*rgb*$_{Ma}$: 0.0 0.5 1.0
lab*olv*$_{Ma}$: 0.0 0.8 1.0
Dreiecks-Helligkeit t*

%Umfang
u^*_{rel} = 109
%Regularität
$g^*_{H,rel}$ = 31
$g^*_{C,rel}$ = 40

FRS09_92a; adaptierte CIELAB-Daten						
u^*_e	$L^*=L^*_a$	a^*_a	b^*_a	$C^*_{ab,a}$	$h^*_{ab,a}$	u^*_d
r00j	35.47	63.32	30.17	70.15	25	m81o
r25j	39.12	54.56	49.45	73.64	42	o10y
r50j	50.64	39.15	64.89	75.79	59	o40y
r75j	64.01	21.26	82.83	85.52	76	o69y
j00g	83.18	−4.38	108.53	108.62	92	o98y
j25g	66.73	−29.89	83.06	88.28	110	y34l
j50g	54.03	−48.31	63.49	79.78	127	y69l
j75g	44.73	−60.33	42.64	73.88	145	l03c
g00b	47.59	−49.08	15.74	51.54	162	l23c
g25b	49.97	−39.7	−6.72	40.27	190	l55c
g50b	51.85	−32.33	−24.35	40.48	217	l87c
g75b	46.92	−17.29	−36.02	39.96	244	c20v
b00r	37.91	1.28	−42.35	42.37	272	c53v
b25r	23.81	30.38	−52.26	60.45	300	c87v
b50r	29.52	69.06	−42.14	80.9	329	v68m
b75r	36.48	71.47	−3.69	71.57	357	m34o

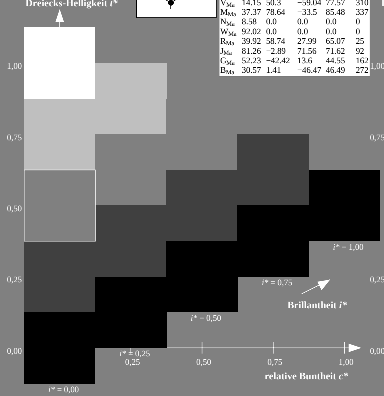

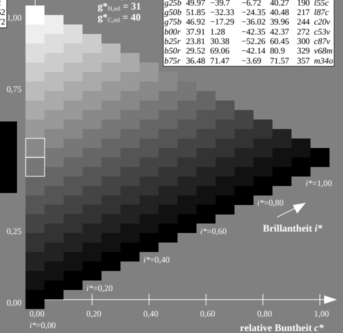

Ein und Ausgabe: Farbmetrisches Drucker-Reflektiv-System FRS09_92, L*=09_92 für relativen CIELAB-Buntton h* = lab*h* = h_{ab}/360 = 0.755 ***u^*_e = b00r***

Daten für jede Farbe:
lab*tch* und *lab*icu*
Bunttontexte:
u^*_e = b00r u^*_d = c53v
Kontrastreduzierungsfaktor:
c_R = 1.0
Dreiecks-Helligkeit t*

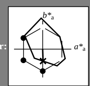

FRS09_92a; adaptierte CIELAB-Daten					
u^*_e	$L^*=L^*_a$	a^*_a	b^*_a	$C^*_{ab,a}$	$h^*_{ab,a}$
O_{Ma}	35.06	60.0	44.0	74.4	36
Y_{Ma}	83.77	−5.17	109.32	109.44	93
L_{Ma}	44.13	−62.67	48.24	79.09	142
C_{Ma}	52.66	−29.14	−31.99	43.27	228
V_{Ma}	14.15	50.3	−59.04	77.57	310
M_{Ma}	37.37	78.64	−33.5	85.48	337
N_{Ma}	8.58	0.0	0.0	0.0	0
W_{Ma}	92.02	0.0	0.0	0.0	0
R_{Ma}	39.92	58.74	27.99	65.07	25
J_{Ma}	81.26	−2.89	71.56	71.62	92
G_{Ma}	52.23	−42.42	13.6	44.55	162
B_{Ma}	30.57	1.41	−46.47	46.49	272

Daten für Maximalfarbe (Ma):
LAB*LAB*$_{Ma}$: 38 1 −42
LAB*LCH*$_{Ma}$: 38 42 271
lab*rgb*$_{Ma}$: 0.0 0.0 1.0
lab*olv*$_{Ma}$: 0.0 0.47 1.0
Dreiecks-Helligkeit t*

%Umfang
u^*_{rel} = 109
%Regularität
$g^*_{H,rel}$ = 31
$g^*_{C,rel}$ = 40

FRS09_92a; adaptierte CIELAB-Daten						
u^*_e	$L^*=L^*_a$	a^*_a	b^*_a	$C^*_{ab,a}$	$h^*_{ab,a}$	u^*_d
r00j	35.47	63.32	30.17	70.15	25	m81o
r25j	39.12	54.56	49.45	73.64	42	o10y
r50j	50.64	39.15	64.89	75.79	59	o40y
r75j	64.01	21.26	82.83	85.52	76	o69y
j00g	83.18	−4.38	108.53	108.62	92	o98y
j25g	66.73	−29.89	83.06	88.28	110	y34l
j50g	54.03	−48.31	63.49	79.78	127	y69l
j75g	44.73	−60.33	42.64	73.88	145	l03c
g00b	47.59	−49.08	15.74	51.54	162	l23c
g25b	49.97	−39.7	−6.72	40.27	190	l55c
g50b	51.85	−32.33	−24.35	40.48	217	l87c
g75b	46.92	−17.29	−36.02	39.96	244	c20v
b00r	37.91	1.28	−42.35	42.37	272	c53v
b25r	23.81	30.38	−52.26	60.45	300	c87v
b50r	29.52	69.06	−42.14	80.9	329	v68m
b75r	36.48	71.47	−3.69	71.57	357	m34o

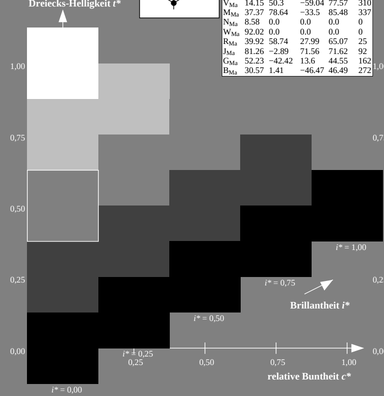

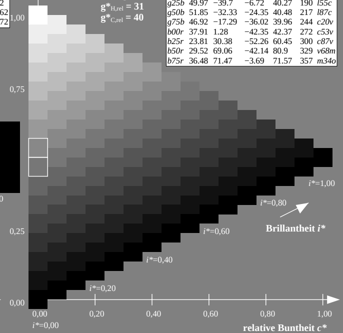

Ein und Ausgabe: Farbmetrisches Drucker-Reflektiv-System FRS09_92, L*=09_92 für relativen CIELAB-Buntton h* = lab*h* = h_{ab}/360 = 0.834 ***u^*_e = b25r***

Daten für jede Farbe:
lab*tch* und *lab*icu*
Bunttontexte:
u^*_e = b25r u^*_d = c87v
Kontrastreduzierungsfaktor:
c_R = 1.0
Dreiecks-Helligkeit t*

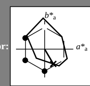

FRS09_92a; adaptierte CIELAB-Daten					
u^*_e	$L^*=L^*_a$	a^*_a	b^*_a	$C^*_{ab,a}$	$h^*_{ab,a}$
O_{Ma}	35.06	60.0	44.0	74.4	36
Y_{Ma}	83.77	−5.17	109.32	109.44	93
L_{Ma}	44.13	−62.67	48.24	79.09	142
C_{Ma}	52.66	−29.14	−31.99	43.27	228
V_{Ma}	14.15	50.3	−59.04	77.57	310
M_{Ma}	37.37	78.64	−33.5	85.48	337
N_{Ma}	8.58	0.0	0.0	0.0	0
W_{Ma}	92.02	0.0	0.0	0.0	0
R_{Ma}	39.92	58.74	27.99	65.07	25
J_{Ma}	81.26	−2.89	71.56	71.62	92
G_{Ma}	52.23	−42.42	13.6	44.55	162
B_{Ma}	30.57	1.41	−46.47	46.49	272

Daten für Maximalfarbe (Ma):
LAB*LAB*$_{Ma}$: 24 30 −52
LAB*LCH*$_{Ma}$: 24 60 300
lab*rgb*$_{Ma}$: 0.5 0.0 1.0
lab*olv*$_{Ma}$: 0.0 0.12 1.0
Dreiecks-Helligkeit t*

%Umfang
u^*_{rel} = 109
%Regularität
$g^*_{H,rel}$ = 31
$g^*_{C,rel}$ = 40

FRS09_92a; adaptierte CIELAB-Daten						
u^*_e	$L^*=L^*_a$	a^*_a	b^*_a	$C^*_{ab,a}$	$h^*_{ab,a}$	u^*_d
r00j	35.47	63.32	30.17	70.15	25	m81o
r25j	39.12	54.56	49.45	73.64	42	o10y
r50j	50.64	39.15	64.89	75.79	59	o40y
r75j	64.01	21.26	82.83	85.52	76	o69y
j00g	83.18	−4.38	108.53	108.62	92	o98y
j25g	66.73	−29.89	83.06	88.28	110	y34l
j50g	54.03	−48.31	63.49	79.78	127	y69l
j75g	44.73	−60.33	42.64	73.88	145	l03c
g00b	47.59	−49.08	15.74	51.54	162	l23c
g25b	49.97	−39.7	−6.72	40.27	190	l55c
g50b	51.85	−32.33	−24.35	40.48	217	l87c
g75b	46.92	−17.29	−36.02	39.96	244	c20v
b00r	37.91	1.28	−42.35	42.37	272	c53v
b25r	23.81	30.38	−52.26	60.45	300	c87v
b50r	29.52	69.06	−42.14	80.9	329	v68m
b75r	36.48	71.47	−3.69	71.57	357	m34o

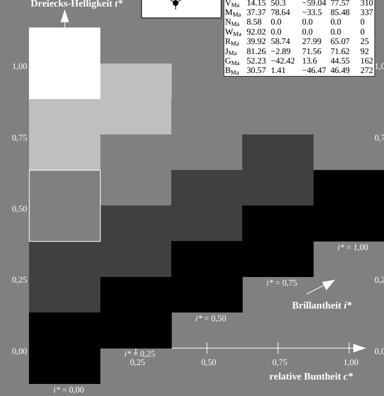

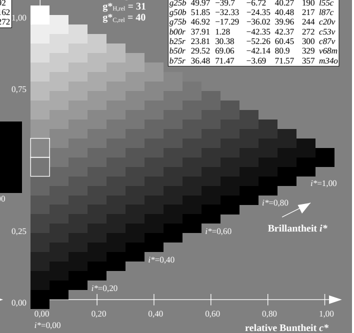

Ein und Ausgabe: Farbmetrisches Drucker-Reflektiv-System FRS09_92, L*=09_92 für relativen CIELAB-Buntton h* = lab*h* = h_{ab}/360 = 0.913 ***u^*_e = b50r***

Daten für jede Farbe:
lab*tch* und *lab*icu*
Bunttontexte:
u^*_e = b50r u^*_d = v68m
Kontrastreduzierungsfaktor:
c_R = 1.0
Dreiecks-Helligkeit t*

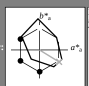

FRS09_92a; adaptierte CIELAB-Daten					
u^*_e	$L^*=L^*_a$	a^*_a	b^*_a	$C^*_{ab,a}$	$h^*_{ab,a}$
O_{Ma}	35.06	60.0	44.0	74.4	36
Y_{Ma}	83.77	−5.17	109.32	109.44	93
L_{Ma}	44.13	−62.67	48.24	79.09	142
C_{Ma}	52.66	−29.14	−31.99	43.27	228
V_{Ma}	14.15	50.3	−59.04	77.57	310
M_{Ma}	37.37	78.64	−33.5	85.48	337
N_{Ma}	8.58	0.0	0.0	0.0	0
W_{Ma}	92.02	0.0	0.0	0.0	0
R_{Ma}	39.92	58.74	27.99	65.07	25
J_{Ma}	81.26	−2.89	71.56	71.62	92
G_{Ma}	52.23	−42.42	13.6	44.55	162
B_{Ma}	30.57	1.41	−46.47	46.49	272

Daten für Maximalfarbe (Ma):
LAB*LAB*$_{Ma}$: 30 69 −42
LAB*LCH*$_{Ma}$: 30 81 328
lab*rgb*$_{Ma}$: 1.0 0.0 1.0
lab*olv*$_{Ma}$: 0.69 0.0 1.0
Dreiecks-Helligkeit t*

%Umfang
u^*_{rel} = 109
%Regularität
$g^*_{H,rel}$ = 31
$g^*_{C,rel}$ = 40

FRS09_92a; adaptierte CIELAB-Daten						
u^*_e	$L^*=L^*_a$	a^*_a	b^*_a	$C^*_{ab,a}$	$h^*_{ab,a}$	u^*_d
r00j	35.47	63.32	30.17	70.15	25	m81o
r25j	39.12	54.56	49.45	73.64	42	o10y
r50j	50.64	39.15	64.89	75.79	59	o40y
r75j	64.01	21.26	82.83	85.52	76	o69y
j00g	83.18	−4.38	108.53	108.62	92	o98y
j25g	66.73	−29.89	83.06	88.28	110	y34l
j50g	54.03	−48.31	63.49	79.78	127	y69l
j75g	44.73	−60.33	42.64	73.88	145	l03c
g00b	47.59	−49.08	15.74	51.54	162	l23c
g25b	49.97	−39.7	−6.72	40.27	190	l55c
g50b	51.85	−32.33	−24.35	40.48	217	l87c
g75b	46.92	−17.29	−36.02	39.96	244	c20v
b00r	37.91	1.28	−42.35	42.37	272	c53v
b25r	23.81	30.38	−52.26	60.45	300	c87v
b50r	29.52	69.06	−42.14	80.9	329	v68m
b75r	36.48	71.47	−3.69	71.57	357	m34o

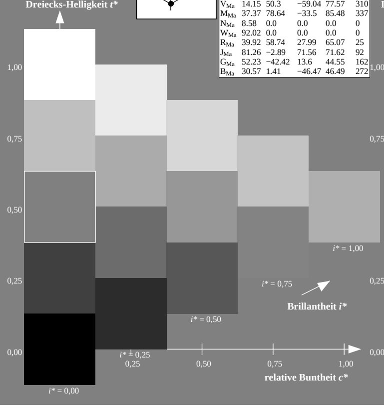

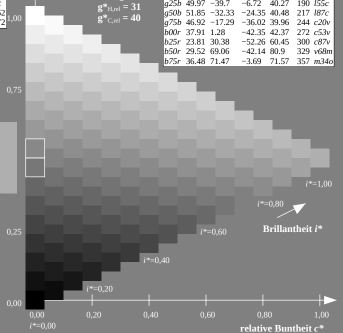

Ein und Ausgabe: Farbmetrisches Drucker-Reflektiv-System FRS09_92, L*=09_92 für relativen CIELAB-Buntton h* = lab*h* = h_{ab}/360 = 0.992 ***u^*_e = b75r***

Daten für jede Farbe:
lab*tch* und *lab*icu*
Bunttontexte:
u^*_e = b75r u^*_d = m34o
Kontrastreduzierungsfaktor:
c_R = 1.0
Dreiecks-Helligkeit t*

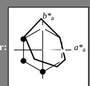

FRS09_92a; adaptierte CIELAB-Daten					
u^*_e	$L^*=L^*_a$	a^*_a	b^*_a	$C^*_{ab,a}$	$h^*_{ab,a}$
O_{Ma}	35.06	60.0	44.0	74.4	36
Y_{Ma}	83.77	−5.17	109.32	109.44	93
L_{Ma}	44.13	−62.67	48.24	79.09	142
C_{Ma}	52.66	−29.14	−31.99	43.27	228
V_{Ma}	14.15	50.3	−59.04	77.57	310
M_{Ma}	37.37	78.64	−33.5	85.48	337
N_{Ma}	8.58	0.0	0.0	0.0	0
W_{Ma}	92.02	0.0	0.0	0.0	0
R_{Ma}	39.92	58.74	27.99	65.07	25
J_{Ma}	81.26	−2.89	71.56	71.62	92
G_{Ma}	52.23	−42.42	13.6	44.55	162
B_{Ma}	30.57	1.41	−46.47	46.49	272

Daten für Maximalfarbe (Ma):
LAB*LAB*$_{Ma}$: 36 71 −4
LAB*LCH*$_{Ma}$: 36 72 357
lab*rgb*$_{Ma}$: 1.0 0.0 0.5
lab*olv*$_{Ma}$: 1.0 0.0 0.66
Dreiecks-Helligkeit t*

%Umfang
u^*_{rel} = 109
%Regularität
$g^*_{H,rel}$ = 31
$g^*_{C,rel}$ = 40

FRS09_92a; adaptierte CIELAB-Daten						
u^*_e	$L^*=L^*_a$	a^*_a	b^*_a	$C^*_{ab,a}$	$h^*_{ab,a}$	u^*_d
r00j	35.47	63.32	30.17	70.15	25	m81o
r25j	39.12	54.56	49.45	73.64	42	o10y
r50j	50.64	39.15	64.89	75.79	59	o40y
r75j	64.01	21.26	82.83	85.52	76	o69y
j00g	83.18	−4.38	108.53	108.62	92	o98y
j25g	66.73	−29.89	83.06	88.28	110	y34l
j50g	54.03	−48.31	63.49	79.78	127	y69l
j75g	44.73	−60.33	42.64	73.88	145	l03c
g00b	47.59	−49.08	15.74	51.54	162	l23c
g25b	49.97	−39.7	−6.72	40.27	190	l55c
g50b	51.85	−32.33	−24.35	40.48	217	l87c
g75b	46.92	−17.29	−36.02	39.96	244	c20v
b00r	37.91	1.28	−42.35	42.37	272	c53v
b25r	23.81	30.38	−52.26	60.45	300	c87v
b50r	29.52	69.06	−42.14	80.9	329	v68m
b75r	36.48	71.47	−3.69	71.57	357	m34o

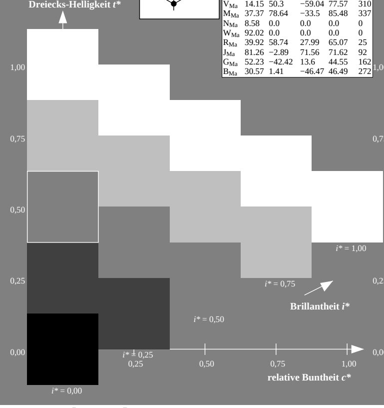

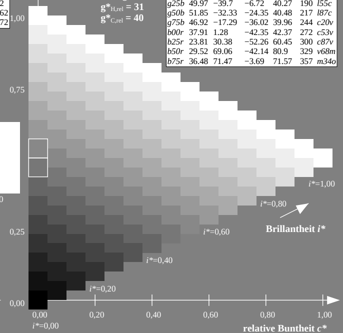

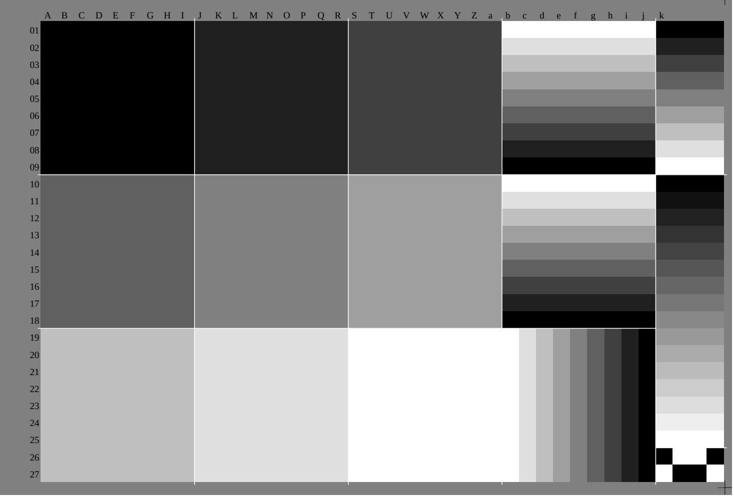

Ein und Ausgabe: Farbmetrisches Drucker-Reflektiv-System FRS09_92, L*=09_92 für relativen CIELAB-Buntton $h^* = lab^*h^* = h_{ab}/360 = 0.451$ $u^*_e = g00b$

Daten für jede Farbe: *lab*c*h* und lab*icu**
Buntontexte: $u^*_e = g00b$ $u^*_d = l23c$
Kontastreduziergungsfaktor: $c_R = 1.0$
Dreiecks-Helligkeit t^*

Daten für Maximalfarbe (Ma):
$LAB^*LAB^*_{Ma}$: 48 −49 16
$LAB^*LCH^*_{Ma}$: 48 52 162
$lab^*rgb^*_{Ma}$: 0.0 1.0 0.0
$lab^*olv^*_{Ma}$: 0.0 1.0 0.23
Dreiecks-Helligkeit t^*

FRS09_92a; adaptierte CIELAB-Daten	$L^*=L^*_a$	a^*_a	b^*_a	$C^*_{ab,a}$	$h^*_{ab,a}$	u^*_d
O_{Ma}	35.06	60.0	44.0	74.4	36	
Y_{Ma}	83.77	−5.17	109.32	109.44	93	
L_{Ma}	44.13	−62.67	48.24	79.09	142	
C_{Ma}	52.66	−29.14	−31.99	43.27	228	
V_{Ma}	14.15	50.3	−59.04	77.57	310	
M_{Ma}	37.37	78.64	−33.5	85.48	337	
N_{Ma}	8.58	0.0	0.0	0.0	0	
W_{Ma}	92.02	0.0	0.0	0.0	0	
R_{Ma}	39.92	58.74	27.99	65.07	25	
J_{Ma}	81.26	−2.89	71.56	71.62	92	
G_{Ma}	52.23	−42.42	13.6	44.55	162	
B_{Ma}	30.57	1.41	−46.47	46.49	272	

FRS09_92a; adaptierte CIELAB-Daten	$L^*=L^*_a$	a^*_a	b^*_a	$C^*_{ab,a}$	$h^*_{ab,a}$	u^*_d
r00j	35.47	63.32	30.17	70.15	25	m81o
r25j	39.12	54.56	49.45	73.64	42	o10y
r50j	50.64	39.15	64.89	75.79	59	o40y
r75j	64.01	21.26	82.83	85.52	76	o69y
y00g	83.18	−4.38	108.53	108.62	92	o98y
y25g	66.73	−29.89	83.06	88.28	110	y34l
y50g	54.03	−48.31	63.49	79.78	127	y69l
y75g	44.73	−60.33	42.64	73.88	145	l03c
g00b	47.59	−49.08	15.74	51.54	162	l23c
g25b	49.97	−39.7	−6.72	40.27	190	l55c
g50b	51.85	−32.33	−24.35	40.48	217	l87c
g75b	46.92	−17.29	−36.02	39.96	244	c20c
b00r	37.91	1.28	−42.35	42.37	272	c53v
b25r	23.81	30.38	−52.26	60.45	300	c87v
b50r	29.52	69.06	−42.14	80.9	329	c68m
b75r	36.48	71.47	−3.69	71.57	357	m34o

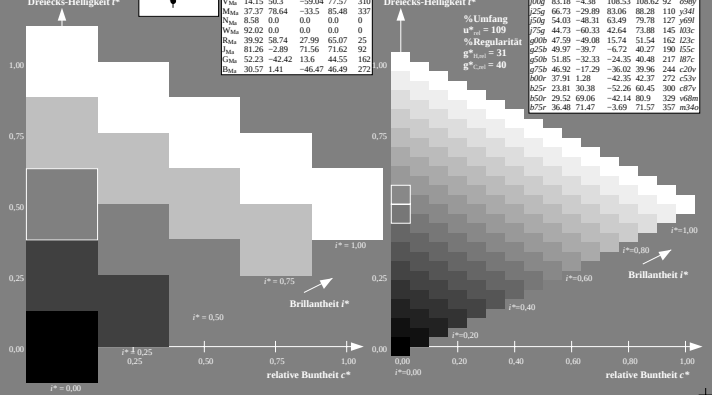

Ein und Ausgabe: Farbmetrisches Drucker-Reflektiv-System FRS09_92, L*=09_92 für relativen CIELAB-Buntton $h^* = lab^*h^* = h_{ab}/360 = 0.527$ $u^*_e = g25b$

Daten für jede Farbe: *lab*c*h* und lab*icu**
Buntontexte: $u^*_e = g25b$ $u^*_d = l55c$
Kontastreduziergungsfaktor: $c_R = 1.0$
Dreiecks-Helligkeit t^*

Daten für Maximalfarbe (Ma):
$LAB^*LAB^*_{Ma}$: 50 −40 −7
$LAB^*LCH^*_{Ma}$: 50 40 189
$lab^*rgb^*_{Ma}$: 0.0 1.0 0.5
$lab^*olv^*_{Ma}$: 0.0 1.0 0.55
Dreiecks-Helligkeit t^*

FRS09_92a; adaptierte CIELAB-Daten	$L^*=L^*_a$	a^*_a	b^*_a	$C^*_{ab,a}$	$h^*_{ab,a}$	u^*_d
O_{Ma}	35.06	60.0	44.0	74.4	36	
Y_{Ma}	83.77	−5.17	109.32	109.44	93	
L_{Ma}	44.13	−62.67	48.24	79.09	142	
C_{Ma}	52.66	−29.14	−31.99	43.27	228	
V_{Ma}	14.15	50.3	−59.04	77.57	310	
M_{Ma}	37.37	78.64	−33.5	85.48	337	
N_{Ma}	8.58	0.0	0.0	0.0	0	
W_{Ma}	92.02	0.0	0.0	0.0	0	
R_{Ma}	39.92	58.74	27.99	65.07	25	
J_{Ma}	81.26	−2.89	71.56	71.62	92	
G_{Ma}	52.23	−42.42	13.6	44.55	162	
B_{Ma}	30.57	1.41	−46.47	46.49	272	

FRS09_92a; adaptierte CIELAB-Daten	$L^*=L^*_a$	a^*_a	b^*_a	$C^*_{ab,a}$	$h^*_{ab,a}$	u^*_d
r00j	35.47	63.32	30.17	70.15	25	m81o
r25j	39.12	54.56	49.45	73.64	42	o10y
r50j	50.64	39.15	64.89	75.79	59	o40y
r75j	64.01	21.26	82.83	85.52	76	o69y
y00g	83.18	−4.38	108.53	108.62	92	o98y
y25g	66.73	−29.89	83.06	88.28	110	y34l
y50g	54.03	−48.31	63.49	79.78	127	y69l
y75g	44.73	−60.33	42.64	73.88	145	l03c
g00b	47.59	−49.08	15.74	51.54	162	l23c
g25b	49.97	−39.7	−6.72	40.27	190	l55c
g50b	51.85	−32.33	−24.35	40.48	217	l87c
g75b	46.92	−17.29	−36.02	39.96	244	c20c
b00r	37.91	1.28	−42.35	42.37	272	c53v
b25r	23.81	30.38	−52.26	60.45	300	c87v
b50r	29.52	69.06	−42.14	80.9	329	c68m
b75r	36.48	71.47	−3.69	71.57	357	m34o

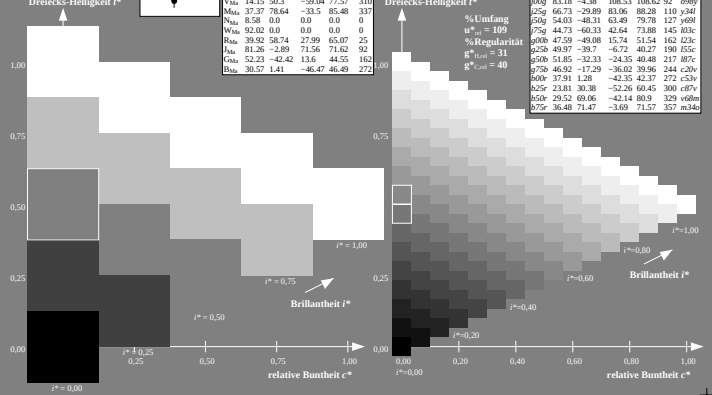

Ein und Ausgabe: Farbmetrisches Drucker-Reflektiv-System FRS09_92, L*=09_92 für relativen CIELAB-Buntton $h^* = lab^*h^* = h_{ab}/360 = 0.603$ $u^*_e = g50b$

Daten für jede Farbe: *lab*c*h* und lab*icu**
Buntontexte: $u^*_e = g50b$ $u^*_d = l87c$
Kontastreduziergungsfaktor: $c_R = 1.0$
Dreiecks-Helligkeit t^*

Daten für Maximalfarbe (Ma):
$LAB^*LAB^*_{Ma}$: 52 −32 −24
$LAB^*LCH^*_{Ma}$: 52 40 216
$lab^*rgb^*_{Ma}$: 0.0 1.0 1.0
$lab^*olv^*_{Ma}$: 0.0 1.0 0.87
Dreiecks-Helligkeit t^*

FRS09_92a; adaptierte CIELAB-Daten	$L^*=L^*_a$	a^*_a	b^*_a	$C^*_{ab,a}$	$h^*_{ab,a}$	u^*_d
O_{Ma}	35.06	60.0	44.0	74.4	36	
Y_{Ma}	83.77	−5.17	109.32	109.44	93	
L_{Ma}	44.13	−62.67	48.24	79.09	142	
C_{Ma}	52.66	−29.14	−31.99	43.27	228	
V_{Ma}	14.15	50.3	−59.04	77.57	310	
M_{Ma}	37.37	78.64	−33.5	85.48	337	
N_{Ma}	8.58	0.0	0.0	0.0	0	
W_{Ma}	92.02	0.0	0.0	0.0	0	
R_{Ma}	39.92	58.74	27.99	65.07	25	
J_{Ma}	81.26	−2.89	71.56	71.62	92	
G_{Ma}	52.23	−42.42	13.6	44.55	162	
B_{Ma}	30.57	1.41	−46.47	46.49	272	

FRS09_92a; adaptierte CIELAB-Daten	$L^*=L^*_a$	a^*_a	b^*_a	$C^*_{ab,a}$	$h^*_{ab,a}$	u^*_d
r00j	35.47	63.32	30.17	70.15	25	m81o
r25j	39.12	54.56	49.45	73.64	42	o10y
r50j	50.64	39.15	64.89	75.79	59	o40y
r75j	64.01	21.26	82.83	85.52	76	o69y
y00g	83.18	−4.38	108.53	108.62	92	o98y
y25g	66.73	−29.89	83.06	88.28	110	y34l
y50g	54.03	−48.31	63.49	79.78	127	y69l
y75g	44.73	−60.33	42.64	73.88	145	l03c
g00b	47.59	−49.08	15.74	51.54	162	l23c
g25b	49.97	−39.7	−6.72	40.27	190	l55c
g50b	51.85	−32.33	−24.35	40.48	217	l87c
g75b	46.92	−17.29	−36.02	39.96	244	c20c
b00r	37.91	1.28	−42.35	42.37	272	c53v
b25r	23.81	30.38	−52.26	60.45	300	c87v
b50r	29.52	69.06	−42.14	80.9	329	c68m
b75r	36.48	71.47	−3.69	71.57	357	m34o

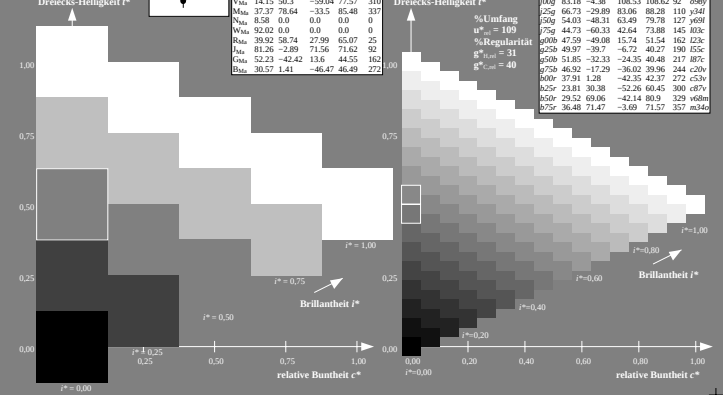

Ein und Ausgabe: Farbmetrisches Drucker-Reflektiv-System FRS09_92, L*=09_92 für relativen CIELAB-Buntton $h^* = lab^*h^* = h_{ab}/360 = 0.679$ $u^*_e = g75b$

Daten für jede Farbe: *lab*c*h* und lab*icu**
Buntontexte: $u^*_e = g75b$ $u^*_d = c20v$
Kontastreduziergungsfaktor: $c_R = 1.0$
Dreiecks-Helligkeit t^*

Daten für Maximalfarbe (Ma):
$LAB^*LAB^*_{Ma}$: 47 −17 −36
$LAB^*LCH^*_{Ma}$: 47 40 244
$lab^*rgb^*_{Ma}$: 0.0 0.5 1.0
$lab^*olv^*_{Ma}$: 0.0 0.8 1.0
Dreiecks-Helligkeit t^*

FRS09_92a; adaptierte CIELAB-Daten	$L^*=L^*_a$	a^*_a	b^*_a	$C^*_{ab,a}$	$h^*_{ab,a}$	u^*_d
O_{Ma}	35.06	60.0	44.0	74.4	36	
Y_{Ma}	83.77	−5.17	109.32	109.44	93	
L_{Ma}	44.13	−62.67	48.24	79.09	142	
C_{Ma}	52.66	−29.14	−31.99	43.27	228	
V_{Ma}	14.15	50.3	−59.04	77.57	310	
M_{Ma}	37.37	78.64	−33.5	85.48	337	
N_{Ma}	8.58	0.0	0.0	0.0	0	
W_{Ma}	92.02	0.0	0.0	0.0	0	
R_{Ma}	39.92	58.74	27.99	65.07	25	
J_{Ma}	81.26	−2.89	71.56	71.62	92	
G_{Ma}	52.23	−42.42	13.6	44.55	162	
B_{Ma}	30.57	1.41	−46.47	46.49	272	

FRS09_92a; adaptierte CIELAB-Daten	$L^*=L^*_a$	a^*_a	b^*_a	$C^*_{ab,a}$	$h^*_{ab,a}$	u^*_d
r00j	35.47	63.32	30.17	70.15	25	m81o
r25j	39.12	54.56	49.45	73.64	42	o10y
r50j	50.64	39.15	64.89	75.79	59	o40y
r75j	64.01	21.26	82.83	85.52	76	o69y
y00g	83.18	−4.38	108.53	108.62	92	o98y
y25g	66.73	−29.89	83.06	88.28	110	y34l
y50g	54.03	−48.31	63.49	79.78	127	y69l
y75g	44.73	−60.33	42.64	73.88	145	l03c
g00b	47.59	−49.08	15.74	51.54	162	l23c
g25b	49.97	−39.7	−6.72	40.27	190	l55c
g50b	51.85	−32.33	−24.35	40.48	217	l87c
g75b	46.92	−17.29	−36.02	39.96	244	c20c
b00r	37.91	1.28	−42.35	42.37	272	c53v
b25r	23.81	30.38	−52.26	60.45	300	c87v
b50r	29.52	69.06	−42.14	80.9	329	c68m
b75r	36.48	71.47	−3.69	71.57	357	m34o

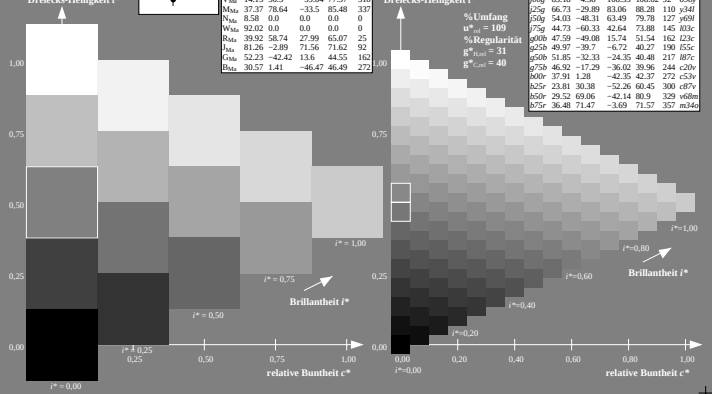

Ein und Ausgabe: Farbmetrisches Drucker-Reflektiv-System FRS09_92, L*=09_92 für relativen CIELAB-Buntton $h^* = lab^*h^* = h_{ab}/360 = 0.755$ $u^*_e = b00r$

Daten für jede Farbe: *lab*c*h* und lab*icu**
Buntontexte: $u^*_e = b00r$ $u^*_d = c53v$
Kontastreduziergungsfaktor: $c_R = 1.0$
Dreiecks-Helligkeit t^*

Daten für Maximalfarbe (Ma):
$LAB^*LAB^*_{Ma}$: 38 1 −42
$LAB^*LCH^*_{Ma}$: 38 42 271
$lab^*rgb^*_{Ma}$: 0.0 0.0 1.0
$lab^*olv^*_{Ma}$: 0.0 0.47 1.0
Dreiecks-Helligkeit t^*

FRS09_92a; adaptierte CIELAB-Daten	$L^*=L^*_a$	a^*_a	b^*_a	$C^*_{ab,a}$	$h^*_{ab,a}$	u^*_d
O_{Ma}	35.06	60.0	44.0	74.4	36	
Y_{Ma}	83.77	−5.17	109.32	109.44	93	
L_{Ma}	44.13	−62.67	48.24	79.09	142	
C_{Ma}	52.66	−29.14	−31.99	43.27	228	
V_{Ma}	14.15	50.3	−59.04	77.57	310	
M_{Ma}	37.37	78.64	−33.5	85.48	337	
N_{Ma}	8.58	0.0	0.0	0.0	0	
W_{Ma}	92.02	0.0	0.0	0.0	0	
R_{Ma}	39.92	58.74	27.99	65.07	25	
J_{Ma}	81.26	−2.89	71.56	71.62	92	
G_{Ma}	52.23	−42.42	13.6	44.55	162	
B_{Ma}	30.57	1.41	−46.47	46.49	272	

FRS09_92a; adaptierte CIELAB-Daten	$L^*=L^*_a$	a^*_a	b^*_a	$C^*_{ab,a}$	$h^*_{ab,a}$	u^*_d
r00j	35.47	63.32	30.17	70.15	25	m81o
r25j	39.12	54.56	49.45	73.64	42	o10y
r50j	50.64	39.15	64.89	75.79	59	o40y
r75j	64.01	21.26	82.83	85.52	76	o69y
y00g	83.18	−4.38	108.53	108.62	92	o98y
y25g	66.73	−29.89	83.06	88.28	110	y34l
y50g	54.03	−48.31	63.49	79.78	127	y69l
y75g	44.73	−60.33	42.64	73.88	145	l03c
g00b	47.59	−49.08	15.74	51.54	162	l23c
g25b	49.97	−39.7	−6.72	40.27	190	l55c
g50b	51.85	−32.33	−24.35	40.48	217	l87c
g75b	46.92	−17.29	−36.02	39.96	244	c20c
b00r	37.91	1.28	−42.35	42.37	272	c53v
b25r	23.81	30.38	−52.26	60.45	300	c87v
b50r	29.52	69.06	−42.14	80.9	329	c68m
b75r	36.48	71.47	−3.69	71.57	357	m34o

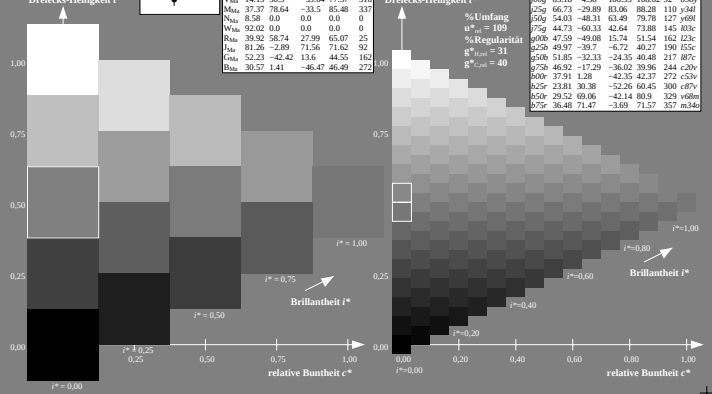

Ein und Ausgabe: Farbmetrisches Drucker-Reflektiv-System FRS09_92, L*=09_92 für relativen CIELAB-Buntton $h^* = lab^*h^* = h_{ab}/360 = 0.834$ $u^*_e = b25r$

Daten für jede Farbe: *lab*c*h* und lab*icu**
Buntontexte: $u^*_e = b25r$ $u^*_d = c87v$
Kontastreduziergungsfaktor: $c_R = 1.0$
Dreiecks-Helligkeit t^*

Daten für Maximalfarbe (Ma):
$LAB^*LAB^*_{Ma}$: 24 30 −52
$LAB^*LCH^*_{Ma}$: 24 60 300
$lab^*rgb^*_{Ma}$: 0.5 0.0 1.0
$lab^*olv^*_{Ma}$: 0.0 0.12 1.0
Dreiecks-Helligkeit t^*

FRS09_92a; adaptierte CIELAB-Daten	$L^*=L^*_a$	a^*_a	b^*_a	$C^*_{ab,a}$	$h^*_{ab,a}$	u^*_d
O_{Ma}	35.06	60.0	44.0	74.4	36	
Y_{Ma}	83.77	−5.17	109.32	109.44	93	
L_{Ma}	44.13	−62.67	48.24	79.09	142	
C_{Ma}	52.66	−29.14	−31.99	43.27	228	
V_{Ma}	14.15	50.3	−59.04	77.57	310	
M_{Ma}	37.37	78.64	−33.5	85.48	337	
N_{Ma}	8.58	0.0	0.0	0.0	0	
W_{Ma}	92.02	0.0	0.0	0.0	0	
R_{Ma}	39.92	58.74	27.99	65.07	25	
J_{Ma}	81.26	−2.89	71.56	71.62	92	
G_{Ma}	52.23	−42.42	13.6	44.55	162	
B_{Ma}	30.57	1.41	−46.47	46.49	272	

FRS09_92a; adaptierte CIELAB-Daten	$L^*=L^*_a$	a^*_a	b^*_a	$C^*_{ab,a}$	$h^*_{ab,a}$	u^*_d
r00j	35.47	63.32	30.17	70.15	25	m81o
r25j	39.12	54.56	49.45	73.64	42	o10y
r50j	50.64	39.15	64.89	75.79	59	o40y
r75j	64.01	21.26	82.83	85.52	76	o69y
y00g	83.18	−4.38	108.53	108.62	92	o98y
y25g	66.73	−29.89	83.06	88.28	110	y34l
y50g	54.03	−48.31	63.49	79.78	127	y69l
y75g	44.73	−60.33	42.64	73.88	145	l03c
g00b	47.59	−49.08	15.74	51.54	162	l23c
g25b	49.97	−39.7	−6.72	40.27	190	l55c
g50b	51.85	−32.33	−24.35	40.48	217	l87c
g75b	46.92	−17.29	−36.02	39.96	244	c20c
b00r	37.91	1.28	−42.35	42.37	272	c53v
b25r	23.81	30.38	−52.26	60.45	300	c87v
b50r	29.52	69.06	−42.14	80.9	329	c68m
b75r	36.48	71.47	−3.69	71.57	357	m34o

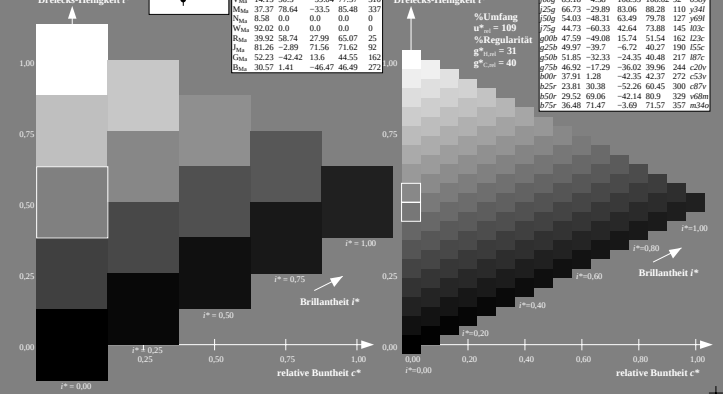

Ein und Ausgabe: Farbmetrisches Drucker-Reflektiv-System FRS09_92, L*=09_92 für relativen CIELAB-Buntton $h^* = lab^*h^* = h_{ab}/360 = 0.913$ $u^*_e = b50r$

Daten für jede Farbe: *lab*c*h* und lab*icu**
Buntontexte: $u^*_e = b50r$ $u^*_d = v68m$
Kontastreduziergungsfaktor: $c_R = 1.0$
Dreiecks-Helligkeit t^*

Daten für Maximalfarbe (Ma):
$LAB^*LAB^*_{Ma}$: 30 69 −42
$LAB^*LCH^*_{Ma}$: 30 81 328
$lab^*rgb^*_{Ma}$: 1.0 0.0 1.0
$lab^*olv^*_{Ma}$: 0.69 0.0 1.0
Dreiecks-Helligkeit t^*

FRS09_92a; adaptierte CIELAB-Daten	$L^*=L^*_a$	a^*_a	b^*_a	$C^*_{ab,a}$	$h^*_{ab,a}$	u^*_d
O_{Ma}	35.06	60.0	44.0	74.4	36	
Y_{Ma}	83.77	−5.17	109.32	109.44	93	
L_{Ma}	44.13	−62.67	48.24	79.09	142	
C_{Ma}	52.66	−29.14	−31.99	43.27	228	
V_{Ma}	14.15	50.3	−59.04	77.57	310	
M_{Ma}	37.37	78.64	−33.5	85.48	337	
N_{Ma}	8.58	0.0	0.0	0.0	0	
W_{Ma}	92.02	0.0	0.0	0.0	0	
R_{Ma}	39.92	58.74	27.99	65.07	25	
J_{Ma}	81.26	−2.89	71.56	71.62	92	
G_{Ma}	52.23	−42.42	13.6	44.55	162	
B_{Ma}	30.57	1.41	−46.47	46.49	272	

FRS09_92a; adaptierte CIELAB-Daten	$L^*=L^*_a$	a^*_a	b^*_a	$C^*_{ab,a}$	$h^*_{ab,a}$	u^*_d
r00j	35.47	63.32	30.17	70.15	25	m81o
r25j	39.12	54.56	49.45	73.64	42	o10y
r50j	50.64	39.15	64.89	75.79	59	o40y
r75j	64.01	21.26	82.83	85.52	76	o69y
y00g	83.18	−4.38	108.53	108.62	92	o98y
y25g	66.73	−29.89	83.06	88.28	110	y34l
y50g	54.03	−48.31	63.49	79.78	127	y69l
y75g	44.73	−60.33	42.64	73.88	145	l03c
g00b	47.59	−49.08	15.74	51.54	162	l23c
g25b	49.97	−39.7	−6.72	40.27	190	l55c
g50b	51.85	−32.33	−24.35	40.48	217	l87c
g75b	46.92	−17.29	−36.02	39.96	244	c20c
b00r	37.91	1.28	−42.35	42.37	272	c53v
b25r	23.81	30.38	−52.26	60.45	300	c87v
b50r	29.52	69.06	−42.14	80.9	329	c68m
b75r	36.48	71.47	−3.69	71.57	357	m34o

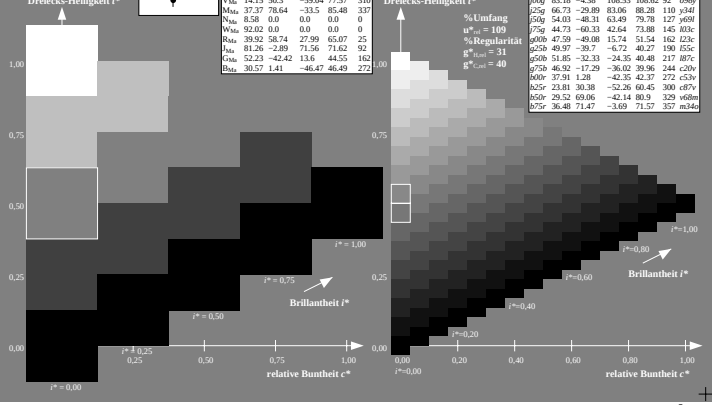

Ein und Ausgabe: Farbmetrisches Drucker-Reflektiv-System FRS09_92, L*=09_92 für relativen CIELAB-Buntton $h^* = lab^*h^* = h_{ab}/360 = 0.992$ $u^*_e = b75r$

Daten für jede Farbe: *lab*c*h* und lab*icu**
Buntontexte: $u^*_e = b75r$ $u^*_d = m34o$
Kontastreduziergungsfaktor: $c_R = 1.0$
Dreiecks-Helligkeit t^*

Daten für Maximalfarbe (Ma):
$LAB^*LAB^*_{Ma}$: 36 71 −4
$LAB^*LCH^*_{Ma}$: 36 72 357
$lab^*rgb^*_{Ma}$: 1.0 0.0 0.5
$lab^*olv^*_{Ma}$: 1.0 0.0 0.66
Dreiecks-Helligkeit t^*

FRS09_92a; adaptierte CIELAB-Daten	$L^*=L^*_a$	a^*_a	b^*_a	$C^*_{ab,a}$	$h^*_{ab,a}$	u^*_d
O_{Ma}	35.06	60.0	44.0	74.4	36	
Y_{Ma}	83.77	−5.17	109.32	109.44	93	
L_{Ma}	44.13	−62.67	48.24	79.09	142	
C_{Ma}	52.66	−29.14	−31.99	43.27	228	
V_{Ma}	14.15	50.3	−59.04	77.57	310	
M_{Ma}	37.37	78.64	−33.5	85.48	337	
N_{Ma}	8.58	0.0	0.0	0.0	0	
W_{Ma}	92.02	0.0	0.0	0.0	0	
R_{Ma}	39.92	58.74	27.99	65.07	25	
J_{Ma}	81.26	−2.89	71.56	71.62	92	
G_{Ma}	52.23	−42.42	13.6	44.55	162	
B_{Ma}	30.57	1.41	−46.47	46.49	272	

FRS09_92a; adaptierte CIELAB-Daten	$L^*=L^*_a$	a^*_a	b^*_a	$C^*_{ab,a}$	$h^*_{ab,a}$	u^*_d
r00j	35.47	63.32	30.17	70.15	25	m81o
r25j	39.12	54.56	49.45	73.64	42	o10y
r50j	50.64	39.15	64.89	75.79	59	o40y
r75j	64.01	21.26	82.83	85.52	76	o69y
y00g	83.18	−4.38	108.53	108.62	92	o98y
y25g	66.73	−29.89	83.06	88.28	110	y34l
y50g	54.03	−48.31	63.49	79.78	127	y69l
y75g	44.73	−60.33	42.64	73.88	145	l03c
g00b	47.59	−49.08	15.74	51.54	162	l23c
g25b	49.97	−39.7	−6.72	40.27	190	l55c
g50b	51.85	−32.33	−24.35	40.48	217	l87c
g75b	46.92	−17.29	−36.02	39.96	244	c20c
b00r	37.91	1.28	−42.35	42.37	272	c53v
b25r	23.81	30.38	−52.26	60.45	300	c87v
b50r	29.52	69.06	−42.14	80.9	329	c68m
b75r	36.48	71.47	−3.69	71.57	357	m34o

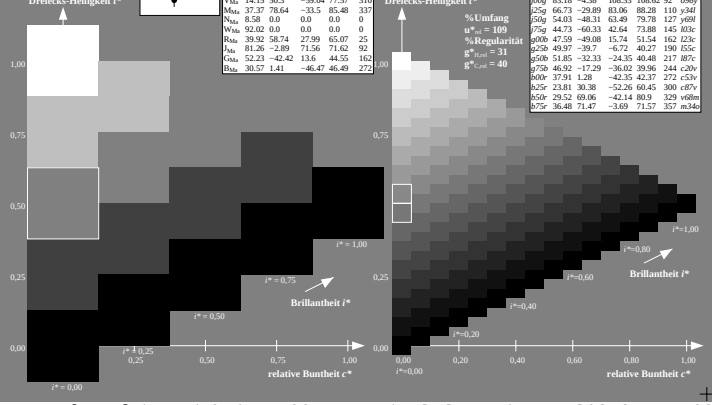

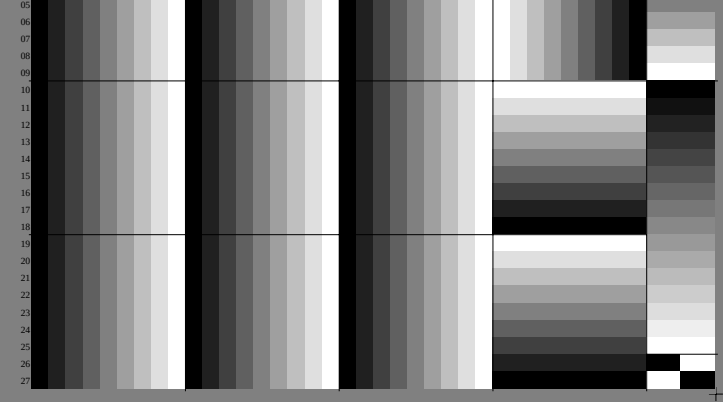

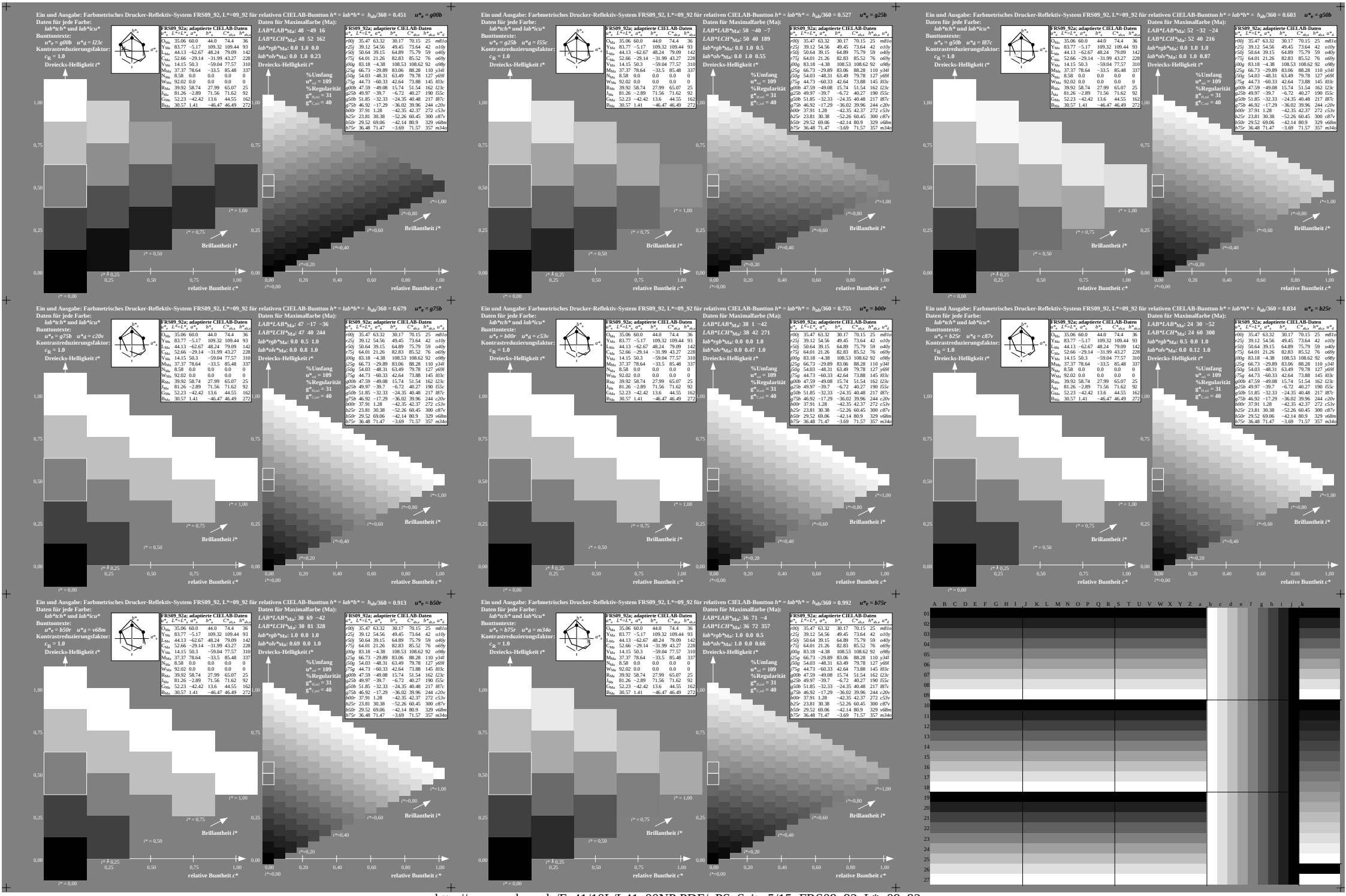
Ein und Ausgabe: Farbmetrisches Drucker-Reflektiv-System FRS09_92, L*=09_92 für relativen CIELAB-Buntton h* = lab*h* = hab/360 = 0.451 u*e = g00b
Daten für jede Farbe: lab*c/h* und lab*/cu*
Buntontexte: u*e = g00b u*d = l23c
Kontrastreduziergungsfaktor: cR = 1.0
Dreiecks-Helligkeit t*
Daten für Maximalfarbe (Ma): LAB*LAB*Ma: 48 -49 16 LAB*LCH*Ma: 48 52 162 lab*rgb*Ma: 0.0 1.0 0.0 lab*olv*Ma: 0.0 1.0 0.23
Ein und Ausgabe: Farbmetrisches Drucker-Reflektiv-System FRS09_92, L*=09_92 für relativen CIELAB-Buntton h* = lab*h* = hab/360 = 0.527 u*e = g25b
Daten für jede Farbe: lab*c/h* und lab*/cu*
Buntontexte: u*e = g25b u*d = l55c
Kontrastreduziergungsfaktor: cR = 1.0
Dreiecks-Helligkeit t*
Daten für Maximalfarbe (Ma): LAB*LAB*Ma: 50 -40 -7 LAB*LCH*Ma: 50 40 189 lab*rgb*Ma: 0.0 1.0 0.5 lab*olv*Ma: 0.0 1.0 0.55
Ein und Ausgabe: Farbmetrisches Drucker-Reflektiv-System FRS09_92, L*=09_92 für relativen CIELAB-Buntton h* = lab*h* = hab/360 = 0.603 u*e = g50b
Daten für jede Farbe: lab*c/h* und lab*/cu*
Buntontexte: u*e = g50b u*d = l87c
Kontrastreduziergungsfaktor: cR = 1.0
Dreiecks-Helligkeit t*
Daten für Maximalfarbe (Ma): LAB*LAB*Ma: 52 -32 -24 LAB*LCH*Ma: 52 40 216 lab*rgb*Ma: 0.0 1.0 1.0 lab*olv*Ma: 0.0 1.0 0.87
Ein und Ausgabe: Farbmetrisches Drucker-Reflektiv-System FRS09_92, L*=09_92 für relativen CIELAB-Buntton h* = lab*h* = hab/360 = 0.679 u*e = g75b
Daten für jede Farbe: lab*c/h* und lab*/cu*
Buntontexte: u*e = g75b u*d = c20v
Kontrastreduziergungsfaktor: cR = 1.0
Dreiecks-Helligkeit t*
Daten für Maximalfarbe (Ma): LAB*LAB*Ma: 47 -17 -36 LAB*LCH*Ma: 47 40 244 lab*rgb*Ma: 0.0 0.5 1.0 lab*olv*Ma: 0.0 0.8 1.0
Ein und Ausgabe: Farbmetrisches Drucker-Reflektiv-System FRS09_92, L*=09_92 für relativen CIELAB-Buntton h* = lab*h* = hab/360 = 0.755 u*e = b00r
Daten für jede Farbe: lab*c/h* und lab*/cu*
Buntontexte: u*e = b00r u*d = c53v
Kontrastreduziergungsfaktor: cR = 1.0
Dreiecks-Helligkeit t*
Daten für Maximalfarbe (Ma): LAB*LAB*Ma: 38 1 -42 LAB*LCH*Ma: 38 42 271 lab*rgb*Ma: 0.0 0.0 1.0 lab*olv*Ma: 0.0 0.47 1.0
Ein und Ausgabe: Farbmetrisches Drucker-Reflektiv-System FRS09_92, L*=09_92 für relativen CIELAB-Buntton h* = lab*h* = hab/360 = 0.834 u*e = b25r
Daten für jede Farbe: lab*c/h* und lab*/cu*
Buntontexte: u*e = b25r u*d = c87v
Kontrastreduziergungsfaktor: cR = 1.0
Dreiecks-Helligkeit t*
Daten für Maximalfarbe (Ma): LAB*LAB*Ma: 24 30 -52 LAB*LCH*Ma: 24 60 300 lab*rgb*Ma: 0.5 0.0 1.0 lab*olv*Ma: 0.0 0.12 1.0
Ein und Ausgabe: Farbmetrisches Drucker-Reflektiv-System FRS09_92, L*=09_92 für relativen CIELAB-Buntton h* = lab*h* = hab/360 = 0.913 u*e = b50r
Daten für jede Farbe: lab*c/h* und lab*/cu*
Buntontexte: u*e = b50r u*d = v68m
Kontrastreduziergungsfaktor: cR = 1.0
Dreiecks-Helligkeit t*
Daten für Maximalfarbe (Ma): LAB*LAB*Ma: 30 69 -42 LAB*LCH*Ma: 30 81 328 lab*rgb*Ma: 1.0 0.0 1.0 lab*olv*Ma: 0.69 0.0 1.0
Ein und Ausgabe: Farbmetrisches Drucker-Reflektiv-System FRS09_92, L*=09_92 für relativen CIELAB-Buntton h* = lab*h* = hab/360 = 0.992 u*e = b75r
Daten für jede Farbe: lab*c/h* und lab*/cu*
Buntontexte: u*e = b75r u*d = m34o
Kontrastreduziergungsfaktor: cR = 1.0
Dreiecks-Helligkeit t*
Daten für Maximalfarbe (Ma): LAB*LAB*Ma: 36 71 -4 LAB*LCH*Ma: 36 72 357 lab*rgb*Ma: 1.0 0.0 0.5 lab*olv*Ma: 1.0 0.0 0.66
FRS09_92a; adaptierte CIELAB-Daten
%Umfang u*ref = 109
%Regularität g*Rref = 31 g*C,ref = 40
relative Buntheit c*
Brillantheit i*

Ein und Ausgabe: Farbmetrisches Drucker-Reflektiv-System FRS09_92, L*=09_92 für relativen CIELAB-Buntton $h^* = lab^*h^* = R_{ab}/360 = 0.451$ $u^*_E = g00b$ lab^*v^*

Daten für jede Farbe: lab^*v^* und lab^*icu^*

Buntton: $u^*_E = g00b$ $u^*_d = I23c$

Kontrastreduzierungsfaktor: $c_R = 1.0$

Daten für Maximalfarbe (Ma): $LAB^*LAB^*_{Ma}$: 48 −49 16; $LAB^*LCH^*_{Ma}$: 48 52 162; $lab^*rgb^*_{Ma}$: 0.0 1.0 0.0; $lab^*olv^*_{Ma}$: 0.0 1.0 0.23

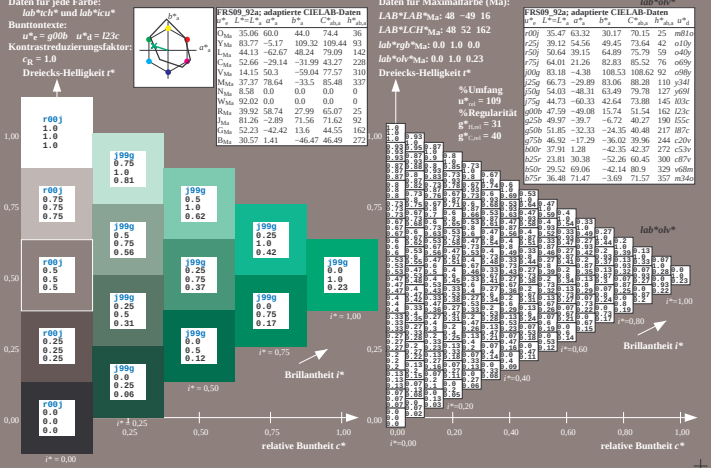

Ein und Ausgabe: Farbmetrisches Drucker-Reflektiv-System FRS09_92, L*=09_92 für relativen CIELAB-Buntton $h^* = lab^*h^* = R_{ab}/360 = 0.527$ $u^*_E = g25b$ lab^*v^*

Daten für jede Farbe: lab^*v^* und lab^*icu^*

Buntton: $u^*_E = g25b$ $u^*_d = I55c$

Kontrastreduzierungsfaktor: $c_R = 1.0$

Daten für Maximalfarbe (Ma): $LAB^*LAB^*_{Ma}$: 50 −40 −7; $LAB^*LCH^*_{Ma}$: 50 40 189; $lab^*rgb^*_{Ma}$: 0.0 1.0 0.5; $lab^*olv^*_{Ma}$: 0.0 1.0 0.55

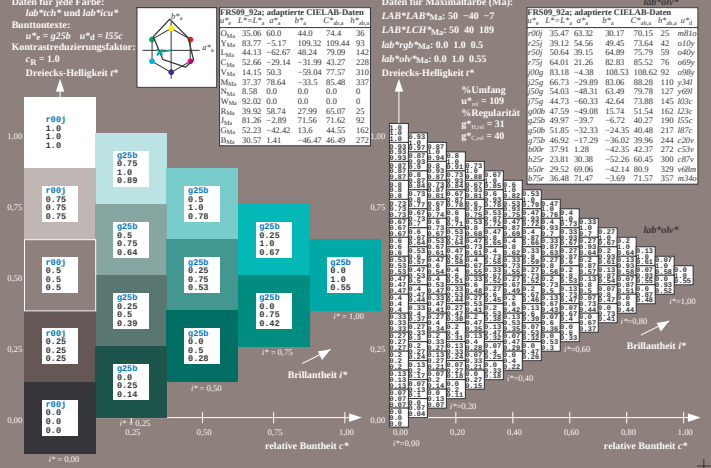

Ein und Ausgabe: Farbmetrisches Drucker-Reflektiv-System FRS09_92, L*=09_92 für relativen CIELAB-Buntton $h^* = lab^*h^* = R_{ab}/360 = 0.603$ $u^*_E = g50b$ lab^*v^*

Daten für jede Farbe: lab^*v^* und lab^*icu^*

Buntton: $u^*_E = g50b$ $u^*_d = I87c$

Kontrastreduzierungsfaktor: $c_R = 1.0$

Daten für Maximalfarbe (Ma): $LAB^*LAB^*_{Ma}$: 52 −32 −24; $LAB^*LCH^*_{Ma}$: 52 40 216; $lab^*rgb^*_{Ma}$: 0.0 1.0 1.0; $lab^*olv^*_{Ma}$: 0.0 1.0 0.87

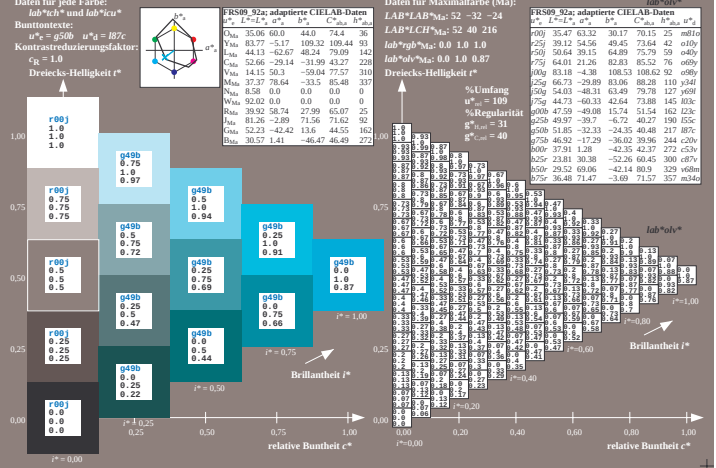

Ein und Ausgabe: Farbmetrisches Drucker-Reflektiv-System FRS09_92, L*=09_92 für relativen CIELAB-Buntton $h^* = lab^*h^* = R_{ab}/360 = 0.679$ $u^*_E = g75b$ lab^*v^*

Daten für jede Farbe: lab^*v^* und lab^*icu^*

Buntton: $u^*_E = g75b$ $u^*_d = c20v$

Kontrastreduzierungsfaktor: $c_R = 1.0$

Daten für Maximalfarbe (Ma): $LAB^*LAB^*_{Ma}$: 47 −17 −36; $LAB^*LCH^*_{Ma}$: 47 40 244; $lab^*rgb^*_{Ma}$: 0.0 0.5 1.0; $lab^*olv^*_{Ma}$: 0.0 0.8 1.0

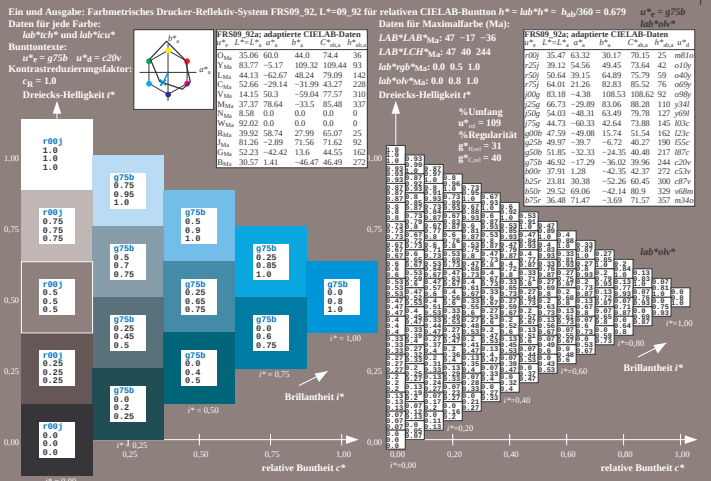

Ein und Ausgabe: Farbmetrisches Drucker-Reflektiv-System FRS09_92, L*=09_92 für relativen CIELAB-Buntton $h^* = lab^*h^* = R_{ab}/360 = 0.755$ $u^*_E = b00r$ lab^*v^*

Daten für jede Farbe: lab^*v^* und lab^*icu^*

Buntton: $u^*_E = b00r$ $u^*_d = c53v$

Kontrastreduzierungsfaktor: $c_R = 1.0$

Daten für Maximalfarbe (Ma): $LAB^*LAB^*_{Ma}$: 38 1 −42; $LAB^*LCH^*_{Ma}$: 38 42 271; $lab^*rgb^*_{Ma}$: 0.0 0.0 1.0; $lab^*olv^*_{Ma}$: 0.0 0.47 1.0

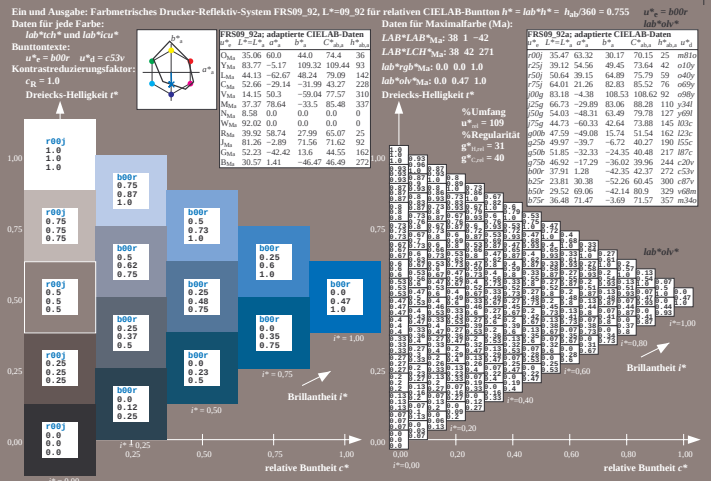

Ein und Ausgabe: Farbmetrisches Drucker-Reflektiv-System FRS09_92, L*=09_92 für relativen CIELAB-Buntton $h^* = lab^*h^* = R_{ab}/360 = 0.834$ $u^*_E = b25r$ lab^*v^*

Daten für jede Farbe: lab^*v^* und lab^*icu^*

Buntton: $u^*_E = b25r$ $u^*_d = c87v$

Kontrastreduzierungsfaktor: $c_R = 1.0$

Daten für Maximalfarbe (Ma): $LAB^*LAB^*_{Ma}$: 24 30 −52; $LAB^*LCH^*_{Ma}$: 24 60 300; $lab^*rgb^*_{Ma}$: 0.5 0.0 1.0; $lab^*olv^*_{Ma}$: 0.0 0.12 1.0

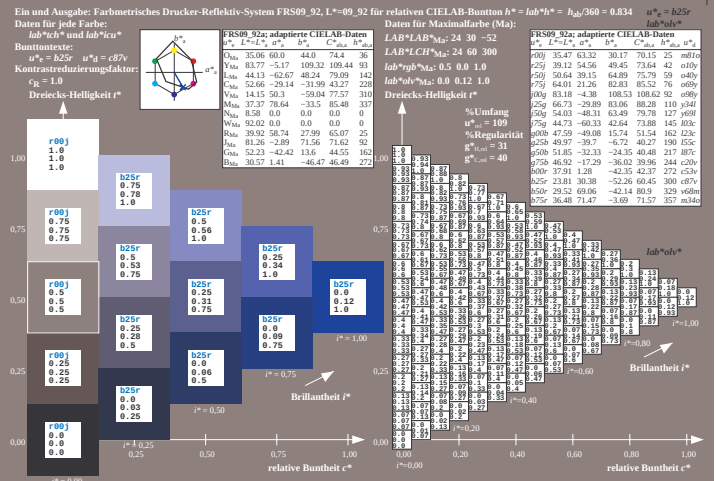

Ein und Ausgabe: Farbmetrisches Drucker-Reflektiv-System FRS09_92, L*=09_92 für relativen CIELAB-Buntton $h^* = lab^*h^* = R_{ab}/360 = 0.913$ $u^*_E = b50r$ lab^*v^*

Daten für jede Farbe: lab^*v^* und lab^*icu^*

Buntton: $u^*_E = b50r$ $u^*_d = v68m$

Kontrastreduzierungsfaktor: $c_R = 1.0$

Daten für Maximalfarbe (Ma): $LAB^*LAB^*_{Ma}$: 30 69 −42; $LAB^*LCH^*_{Ma}$: 30 81 328; $lab^*rgb^*_{Ma}$: 1.0 0.0 1.0; $lab^*olv^*_{Ma}$: 0.69 0.0 1.0

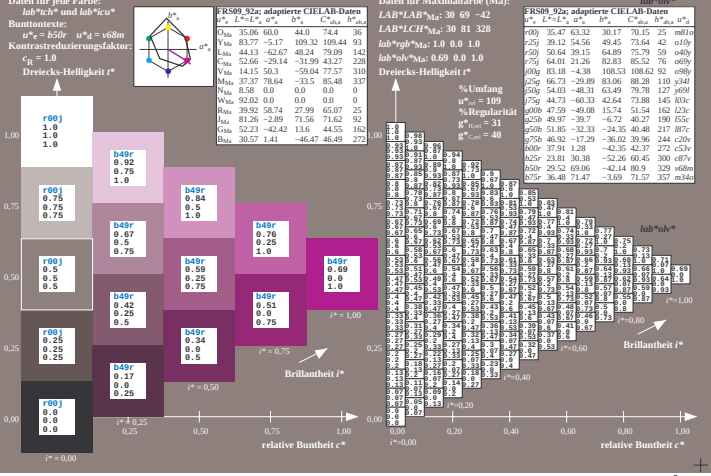

Ein und Ausgabe: Farbmetrisches Drucker-Reflektiv-System FRS09_92, L*=09_92 für relativen CIELAB-Buntton $h^* = lab^*h^* = R_{ab}/360 = 0.992$ $u^*_E = b75r$ lab^*v^*

Daten für jede Farbe: lab^*v^* und lab^*icu^*

Buntton: $u^*_E = b75r$ $u^*_d = m34o$

Kontrastreduzierungsfaktor: $c_R = 1.0$

Daten für Maximalfarbe (Ma): $LAB^*LAB^*_{Ma}$: 36 71 −4; $LAB^*LCH^*_{Ma}$: 36 72 357; $lab^*rgb^*_{Ma}$: 1.0 0.0 0.5; $lab^*olv^*_{Ma}$: 1.0 0.0 0.66

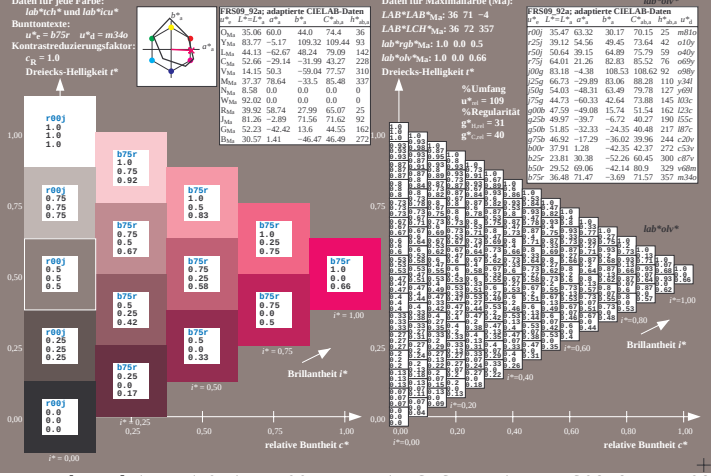

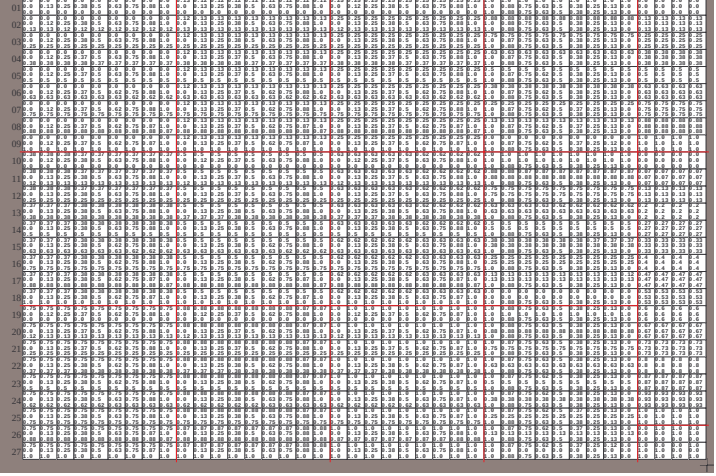

Ein und Ausgabe: Farbmetrisches Drucker-Reflektiv-System FRS09_92, L*=09_92 für relativen CIELAB-Buntton $h^* = lab^*h^* = R_{ab}/360 = 0.451$ $u^*_e = g00b$ lab^*rgb^*

Daten für jede Farbe: lab^*ch^* und lab^*icu^*

Buntton texte: $u^*_e = g00b$ $u^*_d = l23c$

Kontrastreduzierungsfaktor: $c_R = 1.0$

Daten für Maximalfarbe (Ma):

$LAB^*LAB^*_{Ma}$: 48 −49 16

$LAB^*LCH^*_{Ma}$: 48 52 162

$lab^*rgb^*_{Ma}$: 0.0 1.0 0.0

$lab^*olv^*_{Ma}$: 0.0 1.0 0.23

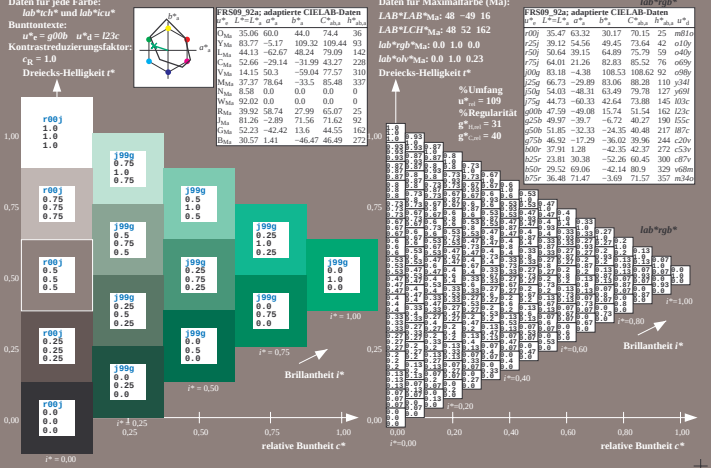

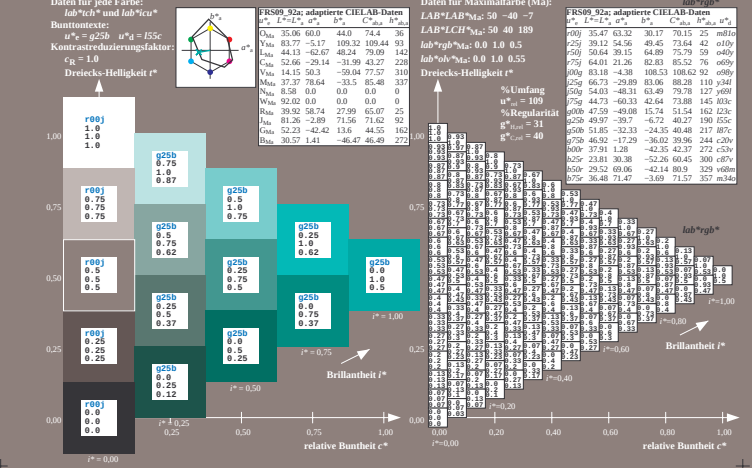

Ein und Ausgabe: Farbmetrisches Drucker-Reflektiv-System FRS09_92, L*=09_92 für relativen CIELAB-Buntton $h^* = lab^*h^* = R_{ab}/360 = 0.527$ $u^*_e = g25b$ lab^*rgb^*

Daten für jede Farbe: lab^*ch^* und lab^*icu^*

Buntton texte: $u^*_e = g25b$ $u^*_d = l55c$

Kontrastreduzierungsfaktor: $c_R = 1.0$

Daten für Maximalfarbe (Ma):

$LAB^*LAB^*_{Ma}$: 50 −40 −7

$LAB^*LCH^*_{Ma}$: 50 40 189

$lab^*rgb^*_{Ma}$: 0.0 1.0 0.5

$lab^*olv^*_{Ma}$: 0.0 1.0 0.55

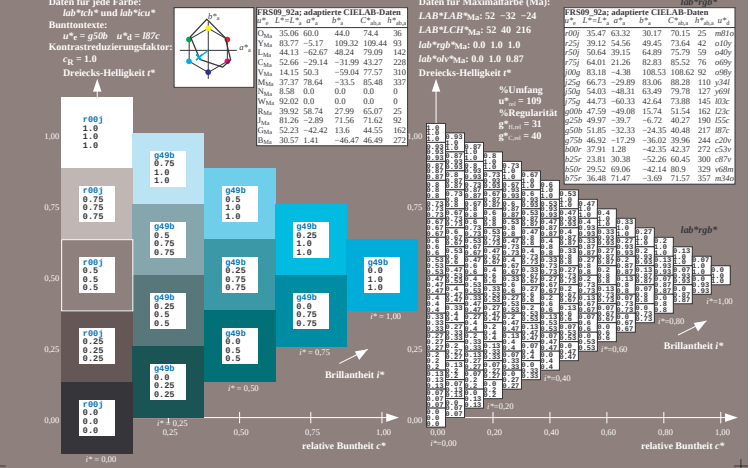

Ein und Ausgabe: Farbmetrisches Drucker-Reflektiv-System FRS09_92, L*=09_92 für relativen CIELAB-Buntton $h^* = lab^*h^* = R_{ab}/360 = 0.603$ $u^*_e = g50b$ lab^*rgb^*

Daten für jede Farbe: lab^*ch^* und lab^*icu^*

Buntton texte: $u^*_e = g50b$ $u^*_d = l87c$

Kontrastreduzierungsfaktor: $c_R = 1.0$

Daten für Maximalfarbe (Ma):

$LAB^*LAB^*_{Ma}$: 52 −32 −24

$LAB^*LCH^*_{Ma}$: 52 40 216

$lab^*rgb^*_{Ma}$: 0.0 1.0 1.0

$lab^*olv^*_{Ma}$: 0.0 1.0 0.87

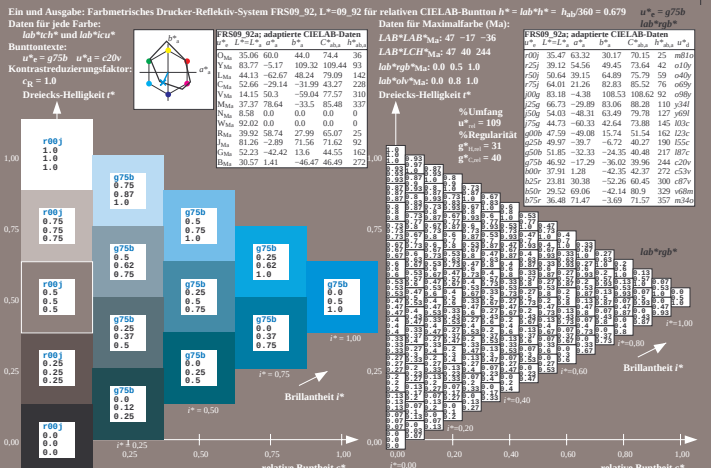

Ein und Ausgabe: Farbmetrisches Drucker-Reflektiv-System FRS09_92, L*=09_92 für relativen CIELAB-Buntton $h^* = lab^*h^* = R_{ab}/360 = 0.679$ $u^*_e = g75b$ lab^*rgb^*

Daten für jede Farbe: lab^*ch^* und lab^*icu^*

Buntton texte: $u^*_e = g75b$ $u^*_d = c20v$

Kontrastreduzierungsfaktor: $c_R = 1.0$

Daten für Maximalfarbe (Ma):

$LAB^*LAB^*_{Ma}$: 47 −17 −36

$LAB^*LCH^*_{Ma}$: 47 40 244

$lab^*rgb^*_{Ma}$: 0.0 0.5 1.0

$lab^*olv^*_{Ma}$: 0.0 0.8 1.0

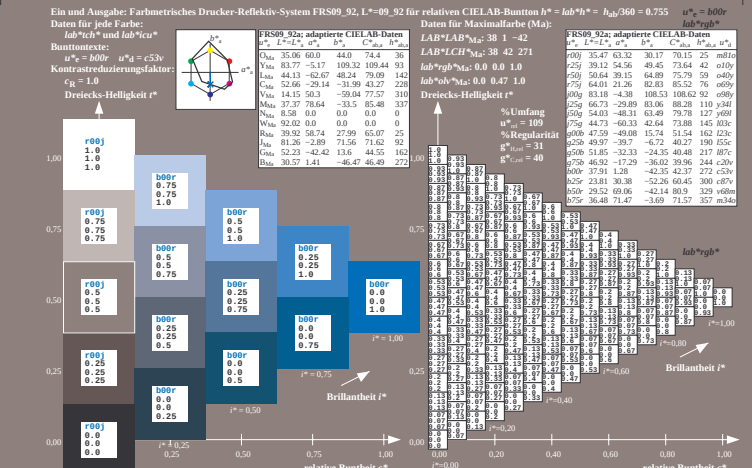

Ein und Ausgabe: Farbmetrisches Drucker-Reflektiv-System FRS09_92, L*=09_92 für relativen CIELAB-Buntton $h^* = lab^*h^* = R_{ab}/360 = 0.755$ $u^*_e = b00r$ lab^*rgb^*

Daten für jede Farbe: lab^*ch^* und lab^*icu^*

Buntton texte: $u^*_e = b00r$ $u^*_d = c53v$

Kontrastreduzierungsfaktor: $c_R = 1.0$

Daten für Maximalfarbe (Ma):

$LAB^*LAB^*_{Ma}$: 38 1 −42

$LAB^*LCH^*_{Ma}$: 38 42 271

$lab^*rgb^*_{Ma}$: 0.0 0.0 1.0

$lab^*olv^*_{Ma}$: 0.0 0.47 1.0

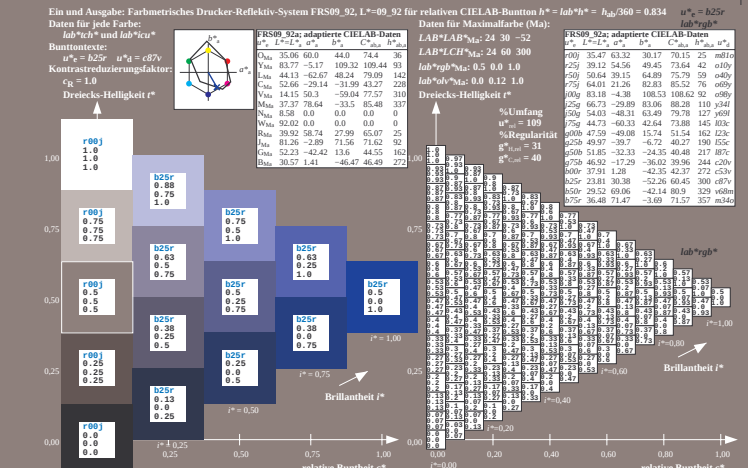

Ein und Ausgabe: Farbmetrisches Drucker-Reflektiv-System FRS09_92, L*=09_92 für relativen CIELAB-Buntton $h^* = lab^*h^* = R_{ab}/360 = 0.834$ $u^*_e = b25r$ lab^*rgb^*

Daten für jede Farbe: lab^*ch^* und lab^*icu^*

Buntton texte: $u^*_e = b25r$ $u^*_d = c87v$

Kontrastreduzierungsfaktor: $c_R = 1.0$

Daten für Maximalfarbe (Ma):

$LAB^*LAB^*_{Ma}$: 24 30 −52

$LAB^*LCH^*_{Ma}$: 24 60 300

$lab^*rgb^*_{Ma}$: 0.5 0.0 1.0

$lab^*olv^*_{Ma}$: 0.0 0.12 1.0

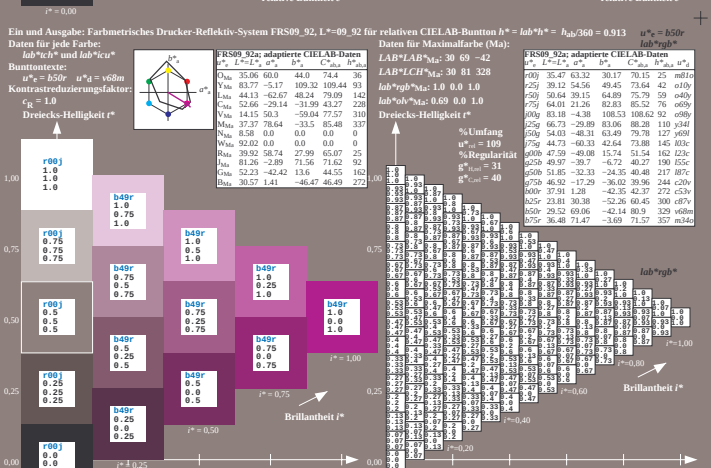

Ein und Ausgabe: Farbmetrisches Drucker-Reflektiv-System FRS09_92, L*=09_92 für relativen CIELAB-Buntton $h^* = lab^*h^* = R_{ab}/360 = 0.913$ $u^*_e = b50r$ lab^*rgb^*

Daten für jede Farbe: lab^*ch^* und lab^*icu^*

Buntton texte: $u^*_e = b50r$ $u^*_d = v68m$

Kontrastreduzierungsfaktor: $c_R = 1.0$

Daten für Maximalfarbe (Ma):

$LAB^*LAB^*_{Ma}$: 30 69 −42

$LAB^*LCH^*_{Ma}$: 30 81 328

$lab^*rgb^*_{Ma}$: 1.0 0.0 1.0

$lab^*olv^*_{Ma}$: 0.69 0.0 1.0

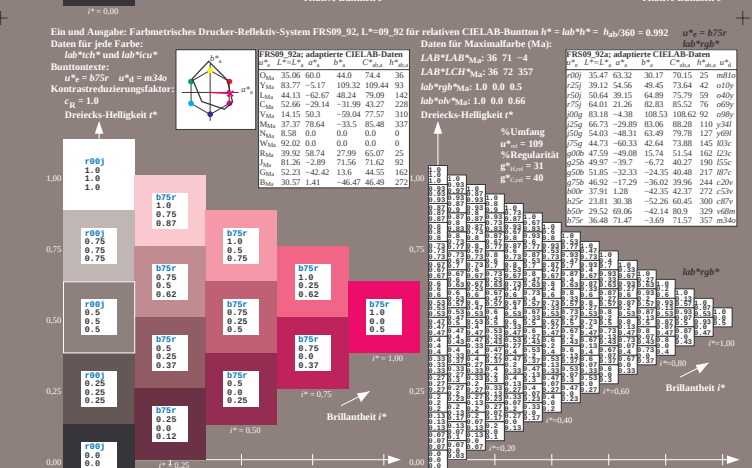

Ein und Ausgabe: Farbmetrisches Drucker-Reflektiv-System FRS09_92, L*=09_92 für relativen CIELAB-Buntton $h^* = lab^*h^* = R_{ab}/360 = 0.992$ $u^*_e = b75r$ lab^*rgb^*

Daten für jede Farbe: lab^*ch^* und lab^*icu^*

Buntton texte: $u^*_e = b75r$ $u^*_d = m34o$

Kontrastreduzierungsfaktor: $c_R = 1.0$

Daten für Maximalfarbe (Ma):

$LAB^*LAB^*_{Ma}$: 36 71 −4

$LAB^*LCH^*_{Ma}$: 36 72 357

$lab^*rgb^*_{Ma}$: 1.0 0.0 0.5

$lab^*olv^*_{Ma}$: 1.0 0.0 0.66

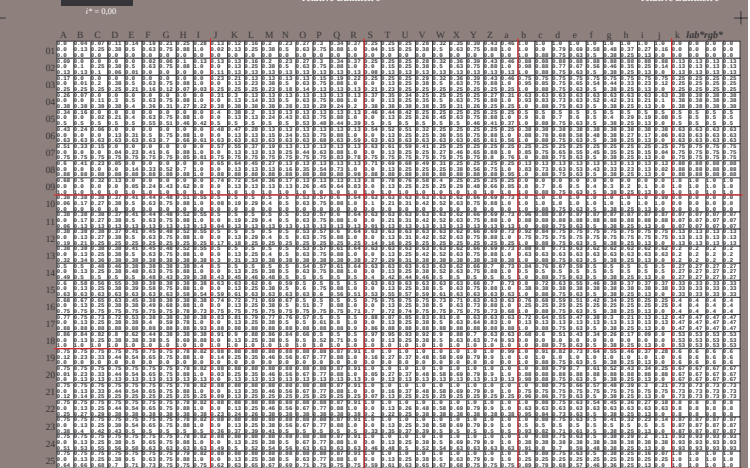

Ein und Ausgabe: Farbmetrisches Drucker-Reflektiv-System FRS09_92, L*=09_92 für relativen CIELAB-Buntton $h^* = lab^*h^* = R_{ab}/360 = 0.451$ $u^*_e = g00b$ $LAB^*LAB^*_a$

Daten für jede Farbe: $lab^*c^*h^*$ und lab^*icu^*
Buntton: $u^*_e = g00b$ $u^*_d = l23c$
Kontrastreduzierungsfaktor: $c_R = 1.0$
Daten für Maximalfarbe (Ma): $LAB^*LAB^*_{Ma}$: 48 -49 16 $LAB^*LCH^*_{Ma}$: 48 52 162 $lab^*rgb^*_{Ma}$: 0.0 1.0 0.0 $lab^*olv^*_{Ma}$: 0.0 1.0 0.23

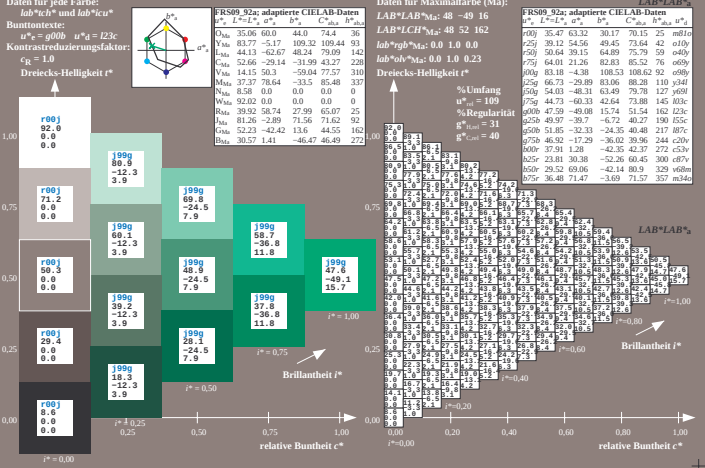

Ein und Ausgabe: Farbmetrisches Drucker-Reflektiv-System FRS09_92, L*=09_92 für relativen CIELAB-Buntton $h^* = lab^*h^* = R_{ab}/360 = 0.527$ $u^*_e = g25b$ $LAB^*LAB^*_a$

Daten für jede Farbe: $lab^*c^*h^*$ und lab^*icu^*
Buntton: $u^*_e = g25b$ $u^*_d = l55c$
Kontrastreduzierungsfaktor: $c_R = 1.0$
Daten für Maximalfarbe (Ma): $LAB^*LAB^*_{Ma}$: 50 -40 -7 $LAB^*LCH^*_{Ma}$: 50 40 189 $lab^*rgb^*_{Ma}$: 0.0 1.0 0.5 $lab^*olv^*_{Ma}$: 0.0 1.0 0.55

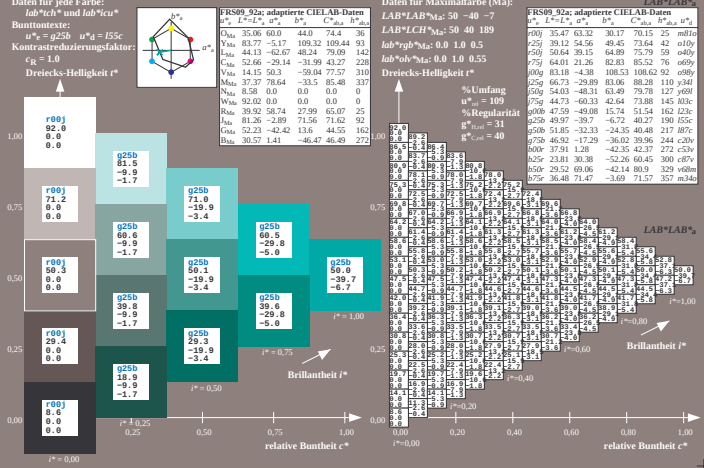

Ein und Ausgabe: Farbmetrisches Drucker-Reflektiv-System FRS09_92, L*=09_92 für relativen CIELAB-Buntton $h^* = lab^*h^* = R_{ab}/360 = 0.603$ $u^*_e = g50b$ $LAB^*LAB^*_a$

Daten für jede Farbe: $lab^*c^*h^*$ und lab^*icu^*
Buntton: $u^*_e = g50b$ $u^*_d = l87c$
Kontrastreduzierungsfaktor: $c_R = 1.0$
Daten für Maximalfarbe (Ma): $LAB^*LAB^*_{Ma}$: 52 -32 -24 $LAB^*LCH^*_{Ma}$: 52 40 216 $lab^*rgb^*_{Ma}$: 0.0 1.0 1.0 $lab^*olv^*_{Ma}$: 0.0 1.0 0.87

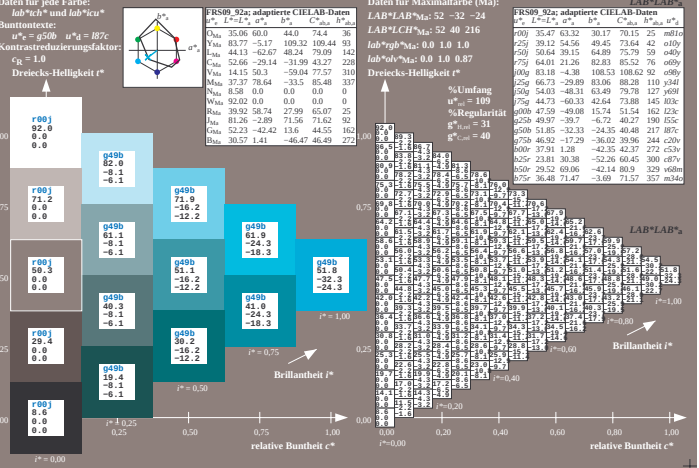

Ein und Ausgabe: Farbmetrisches Drucker-Reflektiv-System FRS09_92, L*=09_92 für relativen CIELAB-Buntton $h^* = lab^*h^* = R_{ab}/360 = 0.679$ $u^*_e = g75b$ $LAB^*LAB^*_a$

Daten für jede Farbe: $lab^*c^*h^*$ und lab^*icu^*
Buntton: $u^*_e = g75b$ $u^*_d = c20v$
Kontrastreduzierungsfaktor: $c_R = 1.0$
Daten für Maximalfarbe (Ma): $LAB^*LAB^*_{Ma}$: 47 -17 -36 $LAB^*LCH^*_{Ma}$: 47 40 244 $lab^*rgb^*_{Ma}$: 0.0 0.5 1.0 $lab^*olv^*_{Ma}$: 0.0 0.8 1.0

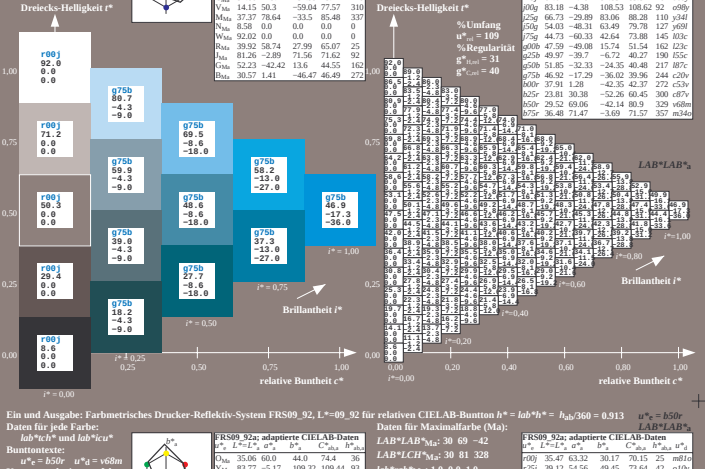

Ein und Ausgabe: Farbmetrisches Drucker-Reflektiv-System FRS09_92, L*=09_92 für relativen CIELAB-Buntton $h^* = lab^*h^* = R_{ab}/360 = 0.755$ $u^*_e = b00r$ $LAB^*LAB^*_a$

Daten für jede Farbe: $lab^*c^*h^*$ und lab^*icu^*
Buntton: $u^*_e = b00r$ $u^*_d = c53v$
Kontrastreduzierungsfaktor: $c_R = 1.0$
Daten für Maximalfarbe (Ma): $LAB^*LAB^*_{Ma}$: 38 1 -42 $LAB^*LCH^*_{Ma}$: 38 42 271 $lab^*rgb^*_{Ma}$: 0.0 0.0 1.0 $lab^*olv^*_{Ma}$: 0.0 0.47 1.0

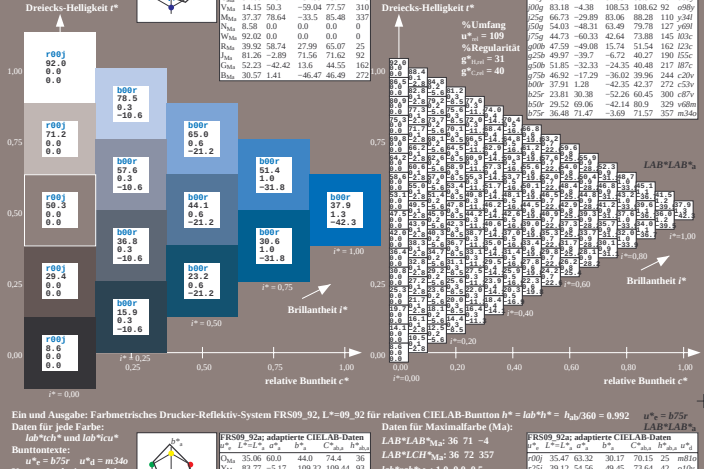

Ein und Ausgabe: Farbmetrisches Drucker-Reflektiv-System FRS09_92, L*=09_92 für relativen CIELAB-Buntton $h^* = lab^*h^* = R_{ab}/360 = 0.834$ $u^*_e = b25r$ $LAB^*LAB^*_a$

Daten für jede Farbe: $lab^*c^*h^*$ und lab^*icu^*
Buntton: $u^*_e = b25r$ $u^*_d = c87v$
Kontrastreduzierungsfaktor: $c_R = 1.0$
Daten für Maximalfarbe (Ma): $LAB^*LAB^*_{Ma}$: 24 30 -52 $LAB^*LCH^*_{Ma}$: 24 60 300 $lab^*rgb^*_{Ma}$: 0.5 0.0 1.0 $lab^*olv^*_{Ma}$: 0.0 0.12 1.0

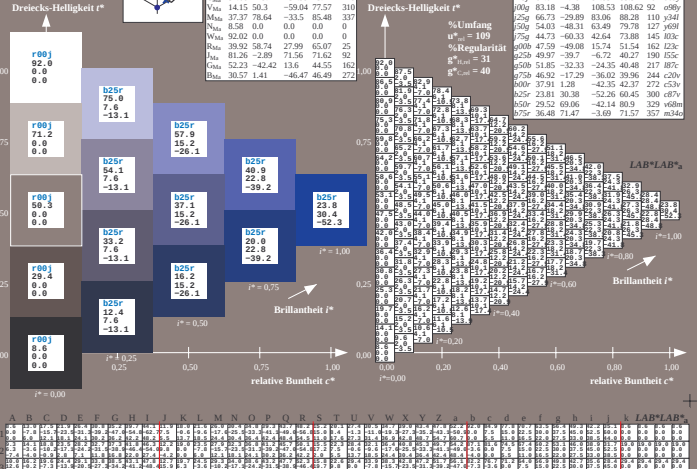

Ein und Ausgabe: Farbmetrisches Drucker-Reflektiv-System FRS09_92, L*=09_92 für relativen CIELAB-Buntton $h^* = lab^*h^* = R_{ab}/360 = 0.913$ $u^*_e = b50r$ $LAB^*LAB^*_a$

Daten für jede Farbe: $lab^*c^*h^*$ und lab^*icu^*
Buntton: $u^*_e = b50r$ $u^*_d = v68m$
Kontrastreduzierungsfaktor: $c_R = 1.0$
Daten für Maximalfarbe (Ma): $LAB^*LAB^*_{Ma}$: 30 69 -42 $LAB^*LCH^*_{Ma}$: 30 81 328 $lab^*rgb^*_{Ma}$: 1.0 0.0 1.0 $lab^*olv^*_{Ma}$: 0.69 0.0 1.0

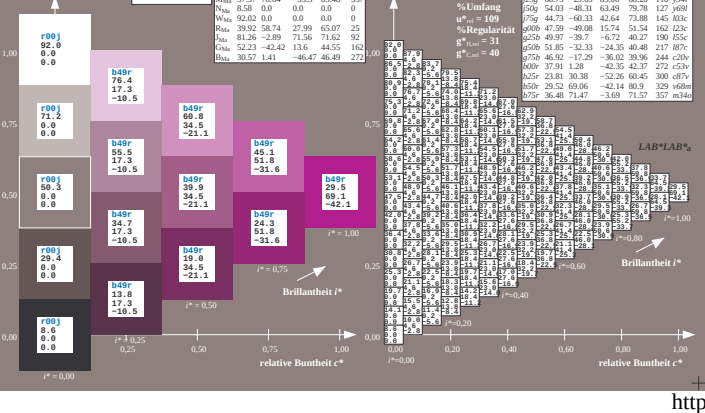

Ein und Ausgabe: Farbmetrisches Drucker-Reflektiv-System FRS09_92, L*=09_92 für relativen CIELAB-Buntton $h^* = lab^*h^* = R_{ab}/360 = 0.992$ $u^*_e = b75r$ $LAB^*LAB^*_a$

Daten für jede Farbe: $lab^*c^*h^*$ und lab^*icu^*
Buntton: $u^*_e = b75r$ $u^*_d = m34o$
Kontrastreduzierungsfaktor: $c_R = 1.0$
Daten für Maximalfarbe (Ma): $LAB^*LAB^*_{Ma}$: 36 71 -4 $LAB^*LCH^*_{Ma}$: 36 72 357 $lab^*rgb^*_{Ma}$: 1.0 0.0 0.5 $lab^*olv^*_{Ma}$: 1.0 0.0 0.66

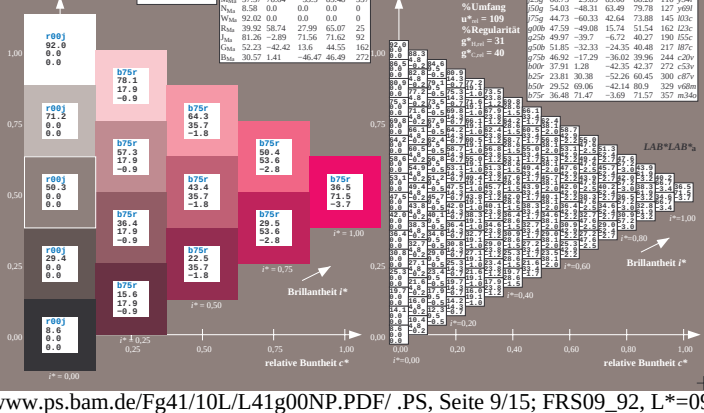

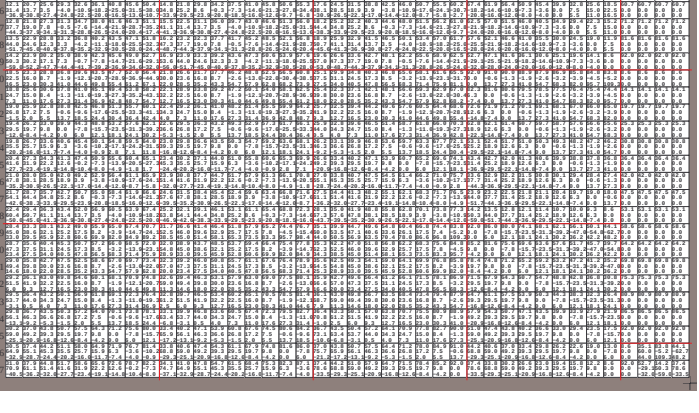

Ein und Ausgabe: Farbmetrisches Drucker-Reflektiv-System FRS09_92, L*=09_92 für relativen CIELAB-Buntton $h^* = lab^*h^* = h_{ab}/360 = 0.451$ $u^*_e = g00b$

Daten für jede Farbe: *lab*tch** und *lab*icu**
Bunttontexte: $u^*_e = g00b$ $u^*_d = l23c$
Kontrastreduzierungsfaktor: $c_R = 1.0$
Dreiecks-Helligkeit t^*

FRS09_92a; adaptierte CIELAB-Daten					
u^*_e	$L^*=L^*_a$	a^*_a	b^*_a	$C^*_{ab,a}$	$h^*_{ab,a}$
O_{Ma}	35.06	60.0	44.0	74.4	36
Y_{Ma}	83.77	−5.17	109.32	109.44	93
L_{Ma}	44.13	−62.67	48.24	79.09	142
C_{Ma}	52.66	−29.14	−31.99	43.27	228
V_{Ma}	14.15	50.3	−59.04	77.57	310
M_{Ma}	37.37	78.64	−33.5	85.48	337
N_{Ma}	8.58	0.0	0.0	0.0	0
W_{Ma}	92.02	0.0	0.0	0.0	0
R_{Ma}	39.92	58.74	27.99	65.07	25
J_{Ma}	81.26	−2.89	71.56	71.62	92
G_{Ma}	52.23	−42.42	13.6	44.55	162
B_{Ma}	30.57	1.41	−46.47	46.49	272

Daten für Maximalfarbe (Ma):
$LAB^*LAB^*_{Ma}$: 48 −49 16
$LAB^*LCH^*_{Ma}$: 48 52 162
$lab^*rgb^*_{Ma}$: 0.0 1.0 0.0
$lab^*olv^*_{Ma}$: 0.0 1.0 0.23
Dreiecks-Helligkeit t^*

%Umfang $u^*_{rel} = 109$
%Regularität $g^*_{H,rel} = 31$ $g^*_{C,rel} = 40$

FRS09_92a; adaptierte CIELAB-Daten						
u^*_e	$L^*=L^*_a$	a^*_a	b^*_a	$C^*_{ab,a}$	$h^*_{ab,a}$	u^*_d
r00j	35.47	63.32	30.17	70.15	25	m81o
r25j	39.12	54.56	49.45	73.64	42	o10y
r50j	50.64	39.15	64.89	75.79	59	o40y
r75j	64.01	21.26	82.83	85.52	76	o69y
j00g	83.18	−4.38	108.53	108.62	92	o98y
j25g	66.73	−29.89	83.06	88.28	110	y34l
j50g	54.03	−48.31	63.49	79.78	127	y69l
j75g	44.73	−60.33	42.64	73.88	145	l03c
g00b	47.59	−49.08	15.74	51.54	162	l23c
g25b	49.97	−39.7	−6.72	40.27	190	l55c
g50b	51.85	−32.33	−24.35	40.48	217	l87c
g75b	46.92	−17.29	−36.02	39.96	244	c20v
b00r	37.91	1.28	−42.35	42.37	272	c53v
b25r	23.81	30.38	−52.26	60.45	300	c87v
b50r	29.52	69.06	−42.14	80.9	329	v68m
b75r	36.48	71.47	−3.69	71.57	357	m34o

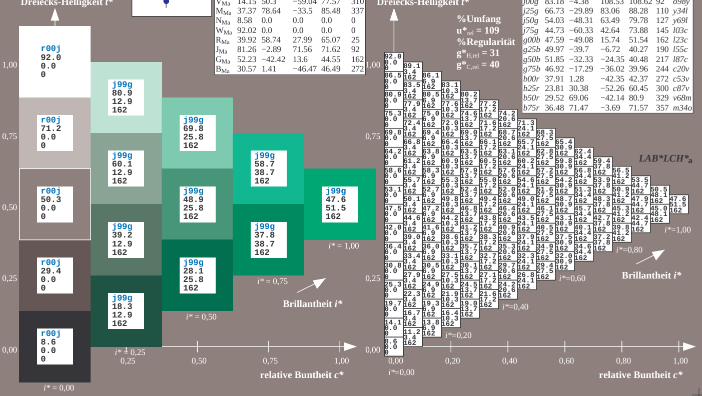

Ein und Ausgabe: Farbmetrisches Drucker-Reflektiv-System FRS09_92, L*=09_92 für relativen CIELAB-Buntton $h^* = lab^*h^* = h_{ab}/360 = 0.527$ $u^*_e = g25b$

Bunttontexte: $u^*_e = g25b$ $u^*_d = l55c$
Kontrastreduzierungsfaktor: $c_R = 1.0$

Daten für Maximalfarbe (Ma):
$LAB^*LAB^*_{Ma}$: 50 −40 −7
$LAB^*LCH^*_{Ma}$: 50 40 189
$lab^*rgb^*_{Ma}$: 0.0 1.0 0.5
$lab^*olv^*_{Ma}$: 0.0 1.0 0.55

%Umfang $u^*_{rel} = 109$
%Regularität $g^*_{H,rel} = 31$ $g^*_{C,rel} = 40$

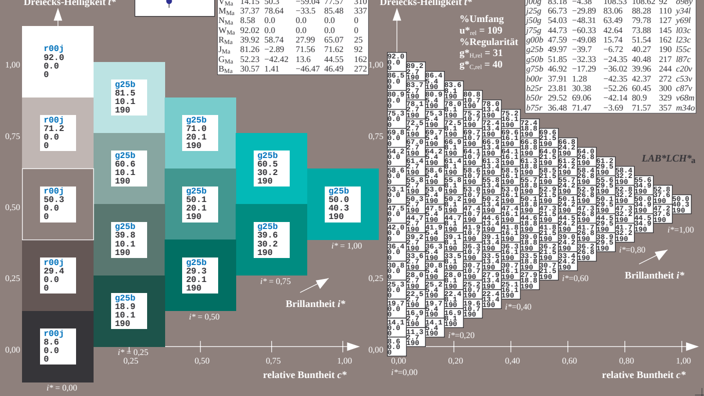

Ein und Ausgabe: Farbmetrisches Drucker-Reflektiv-System FRS09_92, L*=09_92 für relativen CIELAB-Buntton $h^* = lab^*h^* = h_{ab}/360 = 0.603$ $u^*_e = g50b$

Bunttontexte: $u^*_e = g50b$ $u^*_d = l87c$
Kontrastreduzierungsfaktor: $c_R = 1.0$

Daten für Maximalfarbe (Ma):
$LAB^*LAB^*_{Ma}$: 52 −32 −24
$LAB^*LCH^*_{Ma}$: 52 40 216
$lab^*rgb^*_{Ma}$: 0.0 1.0 1.0
$lab^*olv^*_{Ma}$: 0.0 1.0 0.87

%Umfang $u^*_{rel} = 109$
%Regularität $g^*_{H,rel} = 31$ $g^*_{C,rel} = 40$

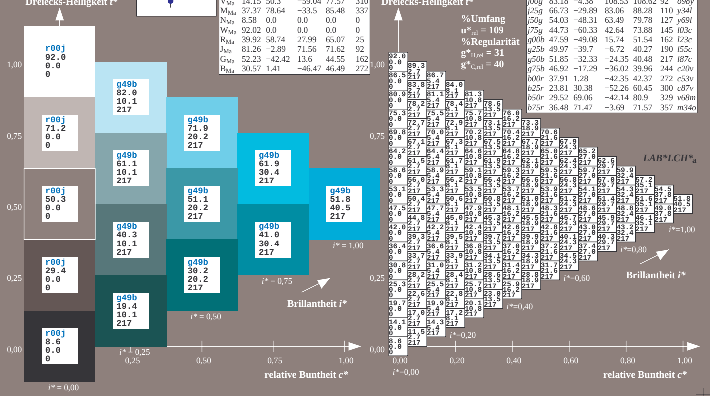

Ein und Ausgabe: Farbmetrisches Drucker-Reflektiv-System FRS09_92, L*=09_92 für relativen CIELAB-Buntton $h^* = lab^*h^* = h_{ab}/360 = 0.679$ $u^*_e = g75b$

Bunttontexte: $u^*_e = g75b$ $u^*_d = c20v$
Kontrastreduzierungsfaktor: $c_R = 1.0$

Daten für Maximalfarbe (Ma):
$LAB^*LAB^*_{Ma}$: 47 −17 −36
$LAB^*LCH^*_{Ma}$: 47 40 244
$lab^*rgb^*_{Ma}$: 0.0 0.5 1.0
$lab^*olv^*_{Ma}$: 0.0 0.8 1.0

%Umfang $u^*_{rel} = 109$
%Regularität $g^*_{H,rel} = 31$ $g^*_{C,rel} = 40$

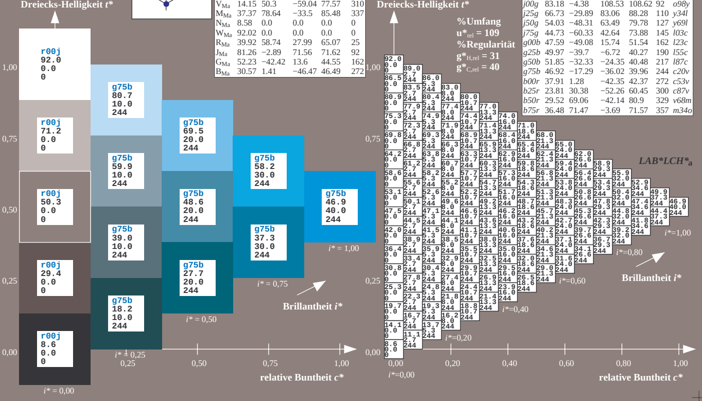

Ein und Ausgabe: Farbmetrisches Drucker-Reflektiv-System FRS09_92, L*=09_92 für relativen CIELAB-Buntton $h^* = lab^*h^* = h_{ab}/360 = 0.755$ $u^*_e = b00r$

Bunttontexte: $u^*_e = b00r$ $u^*_d = c53v$
Kontrastreduzierungsfaktor: $c_R = 1.0$

Daten für Maximalfarbe (Ma):
$LAB^*LAB^*_{Ma}$: 38 1 −42
$LAB^*LCH^*_{Ma}$: 38 42 271
$lab^*rgb^*_{Ma}$: 0.0 0.0 1.0
$lab^*olv^*_{Ma}$: 0.0 0.47 1.0

%Umfang $u^*_{rel} = 109$
%Regularität $g^*_{H,rel} = 31$ $g^*_{C,rel} = 40$

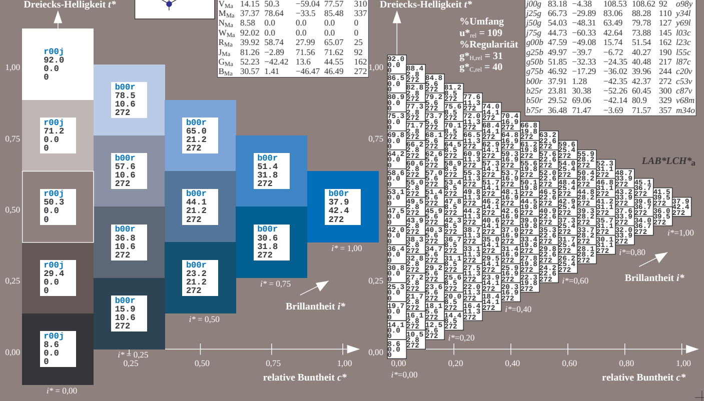

Ein und Ausgabe: Farbmetrisches Drucker-Reflektiv-System FRS09_92, L*=09_92 für relativen CIELAB-Buntton $h^* = lab^*h^* = h_{ab}/360 = 0.834$ $u^*_e = b25r$

Bunttontexte: $u^*_e = b25r$ $u^*_d = c87v$
Kontrastreduzierungsfaktor: $c_R = 1.0$

Daten für Maximalfarbe (Ma):
$LAB^*LAB^*_{Ma}$: 24 30 −52
$LAB^*LCH^*_{Ma}$: 24 60 300
$lab^*rgb^*_{Ma}$: 0.5 0.0 1.0
$lab^*olv^*_{Ma}$: 0.0 0.12 1.0

%Umfang $u^*_{rel} = 109$
%Regularität $g^*_{H,rel} = 31$ $g^*_{C,rel} = 40$

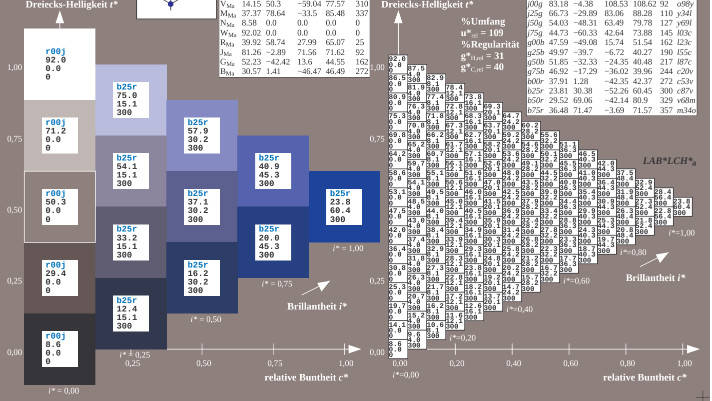

Ein und Ausgabe: Farbmetrisches Drucker-Reflektiv-System FRS09_92, L*=09_92 für relativen CIELAB-Buntton $h^* = lab^*h^* = h_{ab}/360 = 0.913$ $u^*_e = b50r$

Bunttontexte: $u^*_e = b50r$ $u^*_d = v68m$
Kontrastreduzierungsfaktor: $c_R = 1.0$

Daten für Maximalfarbe (Ma):
$LAB^*LAB^*_{Ma}$: 30 69 −42
$LAB^*LCH^*_{Ma}$: 30 81 328
$lab^*rgb^*_{Ma}$: 1.0 0.0 1.0
$lab^*olv^*_{Ma}$: 0.69 0.0 1.0

%Umfang $u^*_{rel} = 109$
%Regularität $g^*_{H,rel} = 31$ $g^*_{C,rel} = 40$

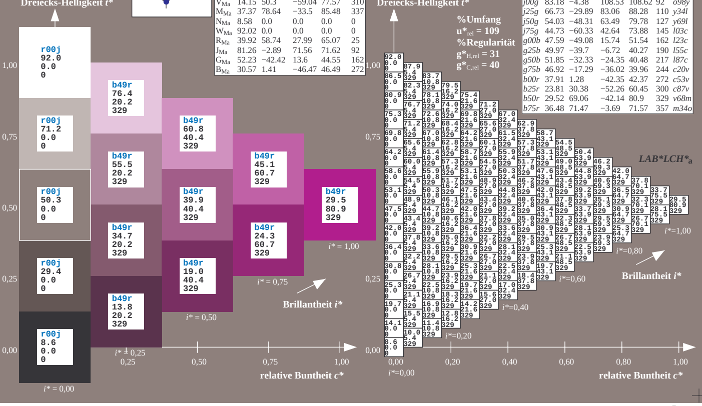

Ein und Ausgabe: Farbmetrisches Drucker-Reflektiv-System FRS09_92, L*=09_92 für relativen CIELAB-Buntton $h^* = lab^*h^* = h_{ab}/360 = 0.992$ $u^*_e = b75r$

Bunttontexte: $u^*_e = b75r$ $u^*_d = m34o$
Kontrastreduzierungsfaktor: $c_R = 1.0$

Daten für Maximalfarbe (Ma):
$LAB^*LAB^*_{Ma}$: 36 71 −4
$LAB^*LCH^*_{Ma}$: 36 72 357
$lab^*rgb^*_{Ma}$: 1.0 0.0 0.5
$lab^*olv^*_{Ma}$: 1.0 0.0 0.66

%Umfang $u^*_{rel} = 109$
%Regularität $g^*_{H,rel} = 31$ $g^*_{C,rel} = 40$

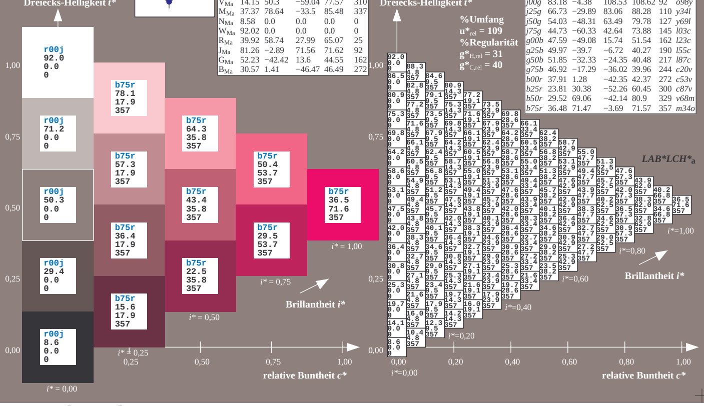

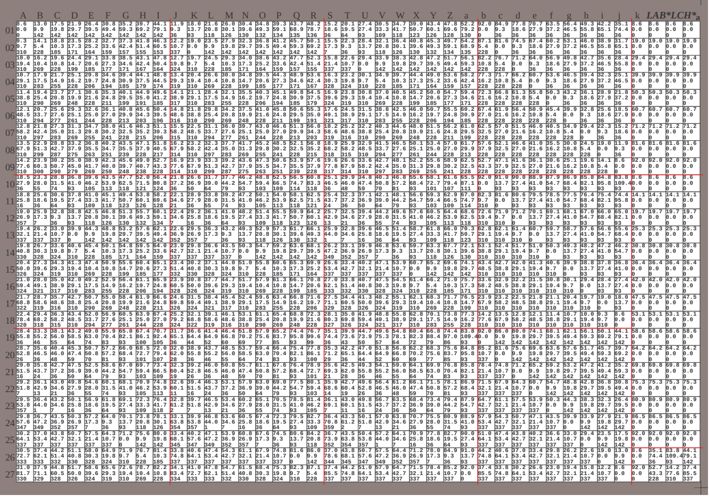

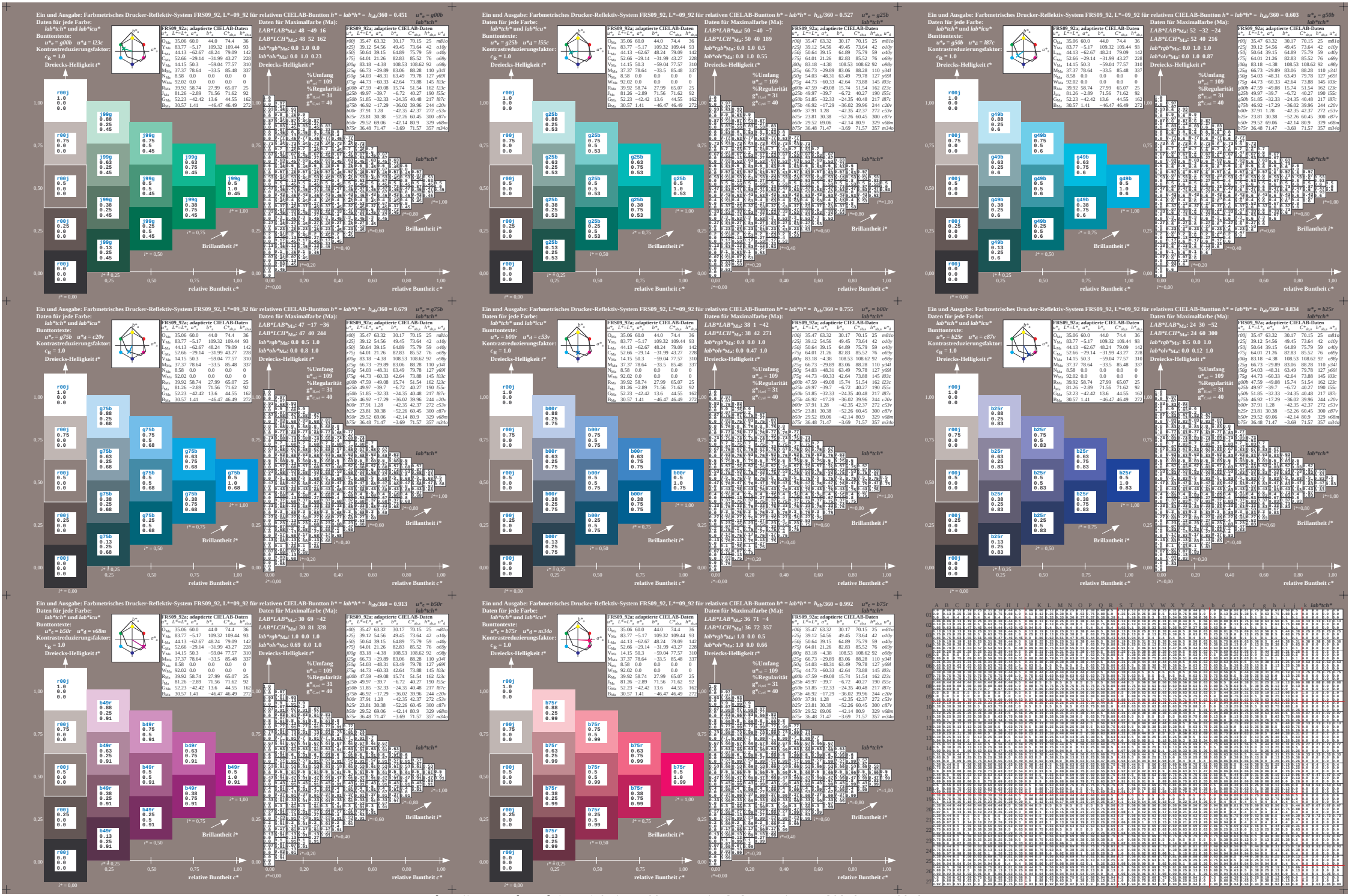
Ein und Ausgabe: Farbmetrisches Drucker-Reflektiv-System FRS09_92, L*=09_92 für relativen CIELAB-Buntton h* = lab*h* = Rab/360 = 0.451
u*e = g00b lab*h*
Daten für jede Farbe: lab*c*h* und lab*icu*
Buntontexte: u*e = g00b u*d = l23c
Kontrastreduziergungsfaktor: cR = 1.0
Daten für Maximalfarbe (Ma): LAB*LAB*Ma: 48 -49 16 LAB*LCH*Ma: 48 52 162 lab*rgb*Ma: 0.0 1.0 0.0 lab*olv*Ma: 0.0 1.0 0.23
Ein und Ausgabe: Farbmetrisches Drucker-Reflektiv-System FRS09_92, L*=09_92 für relativen CIELAB-Buntton h* = lab*h* = Rab/360 = 0.527
u*e = g25b lab*h*
Daten für jede Farbe: lab*c*h* und lab*icu*
Buntontexte: u*e = g25b u*d = l55c
Kontrastreduziergungsfaktor: cR = 1.0
Daten für Maximalfarbe (Ma): LAB*LAB*Ma: 50 -40 -7 LAB*LCH*Ma: 50 40 189 lab*rgb*Ma: 0.0 1.0 0.5 lab*olv*Ma: 0.0 1.0 0.55
Ein und Ausgabe: Farbmetrisches Drucker-Reflektiv-System FRS09_92, L*=09_92 für relativen CIELAB-Buntton h* = lab*h* = Rab/360 = 0.603
u*e = g50b lab*h*
Daten für jede Farbe: lab*c*h* und lab*icu*
Buntontexte: u*e = g50b u*d = l87c
Kontrastreduziergungsfaktor: cR = 1.0
Daten für Maximalfarbe (Ma): LAB*LAB*Ma: 52 -32 -24 LAB*LCH*Ma: 52 40 216 lab*rgb*Ma: 0.0 1.0 1.0 lab*olv*Ma: 0.0 1.0 0.87
Ein und Ausgabe: Farbmetrisches Drucker-Reflektiv-System FRS09_92, L*=09_92 für relativen CIELAB-Buntton h* = lab*h* = Rab/360 = 0.679
u*e = g75b lab*h*
Daten für jede Farbe: lab*c*h* und lab*icu*
Buntontexte: u*e = g75b u*d = c20v
Kontrastreduziergungsfaktor: cR = 1.0
Daten für Maximalfarbe (Ma): LAB*LAB*Ma: 47 -17 -36 LAB*LCH*Ma: 47 40 244 lab*rgb*Ma: 0.0 0.5 1.0 lab*olv*Ma: 0.0 0.8 1.0
Ein und Ausgabe: Farbmetrisches Drucker-Reflektiv-System FRS09_92, L*=09_92 für relativen CIELAB-Buntton h* = lab*h* = Rab/360 = 0.755
u*e = b00r lab*h*
Daten für jede Farbe: lab*c*h* und lab*icu*
Buntontexte: u*e = b00r u*d = c53v
Kontrastreduziergungsfaktor: cR = 1.0
Daten für Maximalfarbe (Ma): LAB*LAB*Ma: 38 1 -42 LAB*LCH*Ma: 38 42 271 lab*rgb*Ma: 0.0 0.0 1.0 lab*olv*Ma: 0.0 0.47 1.0
Ein und Ausgabe: Farbmetrisches Drucker-Reflektiv-System FRS09_92, L*=09_92 für relativen CIELAB-Buntton h* = lab*h* = Rab/360 = 0.834
u*e = b25r lab*h*
Daten für jede Farbe: lab*c*h* und lab*icu*
Buntontexte: u*e = b25r u*d = c87v
Kontrastreduziergungsfaktor: cR = 1.0
Daten für Maximalfarbe (Ma): LAB*LAB*Ma: 24 30 -52 LAB*LCH*Ma: 24 60 300 lab*rgb*Ma: 0.5 0.0 1.0 lab*olv*Ma: 0.0 0.12 1.0
Ein und Ausgabe: Farbmetrisches Drucker-Reflektiv-System FRS09_92, L*=09_92 für relativen CIELAB-Buntton h* = lab*h* = Rab/360 = 0.913
u*e = b50r lab*h*
Daten für jede Farbe: lab*c*h* und lab*icu*
Buntontexte: u*e = b50r u*d = v68m
Kontrastreduziergungsfaktor: cR = 1.0
Daten für Maximalfarbe (Ma): LAB*LAB*Ma: 30 69 -42 LAB*LCH*Ma: 30 81 328 lab*rgb*Ma: 1.0 0.0 1.0 lab*olv*Ma: 0.69 0.0 1.0
Ein und Ausgabe: Farbmetrisches Drucker-Reflektiv-System FRS09_92, L*=09_92 für relativen CIELAB-Buntton h* = lab*h* = Rab/360 = 0.992
u*e = b75r lab*h*
Daten für jede Farbe: lab*c*h* und lab*icu*
Buntontexte: u*e = b75r u*d = m34o
Kontrastreduziergungsfaktor: cR = 1.0
Daten für Maximalfarbe (Ma): LAB*LAB*Ma: 36 71 -4 LAB*LCH*Ma: 36 72 357 lab*rgb*Ma: 1.0 0.0 0.5 lab*olv*Ma: 1.0 0.0 0.66
FRS09_92a; adaptierte CIELAB-Daten
Dreieck-Helligkeit t*
relative Buntheit c*
Brillantheit i*
lab*ch*

Ein und Ausgabe: Farbmetrisches Drucker-Reflektiv-System FRS09_92, L*=09_92 für relativen CIELAB-Buntton $h^* = lab^*h^* = R_{ab}/360 = 0.451$ $u^*_e = g00b$ lab^*cu^*d

Daten für jede Farbe: lab^*ch^* und lab^*cu^*

Buntton: $u^*_e = g00b$ $u^*_d = l23c$

Kontrastreduzierungsfaktor: $c_R = 1.0$

Daten für Maximalfarbe (Ma): $LAB^*LAB^*_{Ma}$: 48 −49 16; $LAB^*LCH^*_{Ma}$: 48 52 162; $lab^*rgb^*_{Ma}$: 0.0 1.0 0.0; $lab^*olv^*_{Ma}$: 0.0 1.0 0.23

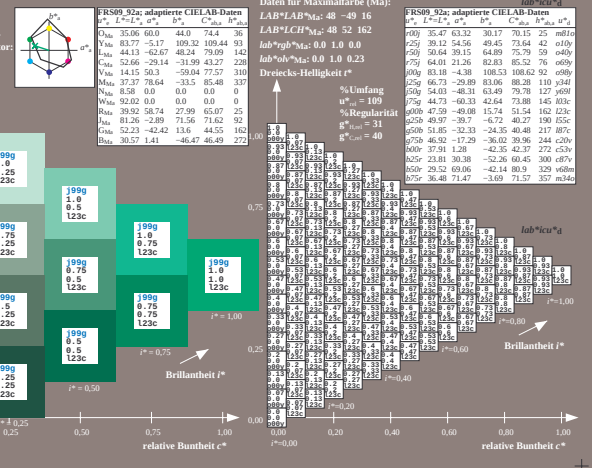

Ein und Ausgabe: Farbmetrisches Drucker-Reflektiv-System FRS09_92, L*=09_92 für relativen CIELAB-Buntton $h^* = lab^*h^* = R_{ab}/360 = 0.527$ $u^*_e = g25b$ lab^*cu^*d

Daten für jede Farbe: lab^*ch^* und lab^*cu^*

Buntton: $u^*_e = g25b$ $u^*_d = l55c$

Kontrastreduzierungsfaktor: $c_R = 1.0$

Daten für Maximalfarbe (Ma): $LAB^*LAB^*_{Ma}$: 50 −40 −7; $LAB^*LCH^*_{Ma}$: 50 40 189; $lab^*rgb^*_{Ma}$: 0.0 1.0 0.5; $lab^*olv^*_{Ma}$: 0.0 1.0 0.55

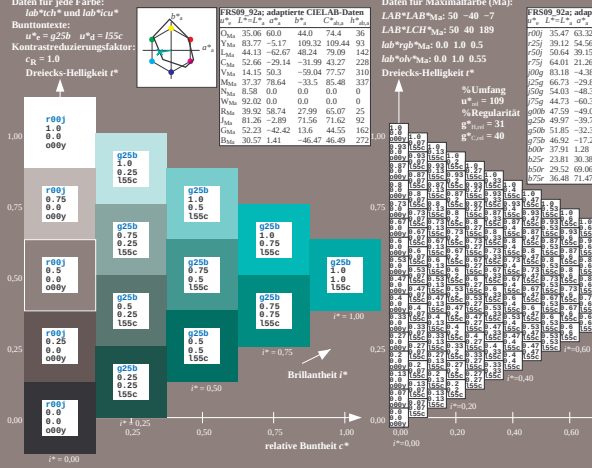

Ein und Ausgabe: Farbmetrisches Drucker-Reflektiv-System FRS09_92, L*=09_92 für relativen CIELAB-Buntton $h^* = lab^*h^* = R_{ab}/360 = 0.603$ $u^*_e = g50b$ lab^*cu^*d

Daten für jede Farbe: lab^*ch^* und lab^*cu^*

Buntton: $u^*_e = g50b$ $u^*_d = l87c$

Kontrastreduzierungsfaktor: $c_R = 1.0$

Daten für Maximalfarbe (Ma): $LAB^*LAB^*_{Ma}$: 52 −32 −24; $LAB^*LCH^*_{Ma}$: 52 40 216; $lab^*rgb^*_{Ma}$: 0.0 1.0 1.0; $lab^*olv^*_{Ma}$: 0.0 1.0 0.87

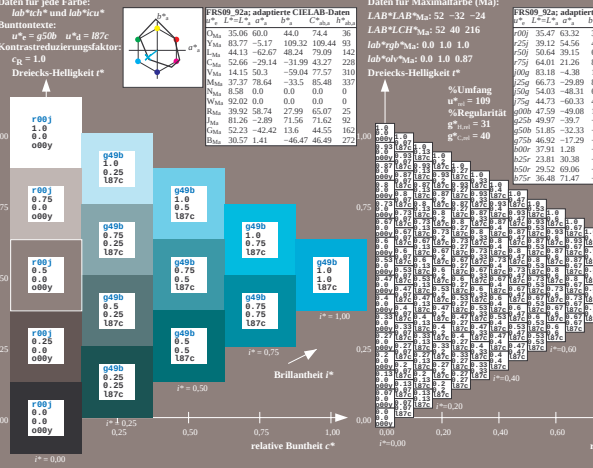

Ein und Ausgabe: Farbmetrisches Drucker-Reflektiv-System FRS09_92, L*=09_92 für relativen CIELAB-Buntton $h^* = lab^*h^* = R_{ab}/360 = 0.679$ $u^*_e = g75b$ lab^*cu^*d

Daten für jede Farbe: lab^*ch^* und lab^*cu^*

Buntton: $u^*_e = g75b$ $u^*_d = c20v$

Kontrastreduzierungsfaktor: $c_R = 1.0$

Daten für Maximalfarbe (Ma): $LAB^*LAB^*_{Ma}$: 47 −17 −36; $LAB^*LCH^*_{Ma}$: 47 40 244; $lab^*rgb^*_{Ma}$: 0.0 0.5 1.0; $lab^*olv^*_{Ma}$: 0.0 0.8 1.0

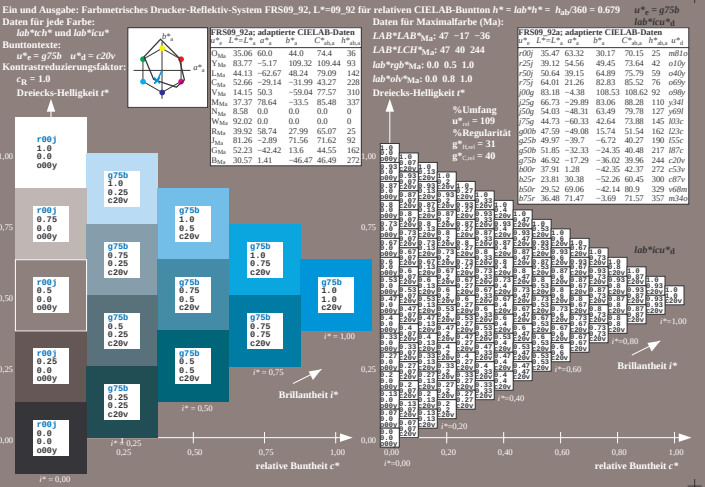

Ein und Ausgabe: Farbmetrisches Drucker-Reflektiv-System FRS09_92, L*=09_92 für relativen CIELAB-Buntton $h^* = lab^*h^* = R_{ab}/360 = 0.755$ $u^*_e = b00r$ lab^*cu^*d

Daten für jede Farbe: lab^*ch^* und lab^*cu^*

Buntton: $u^*_e = b00r$ $u^*_d = c53v$

Kontrastreduzierungsfaktor: $c_R = 1.0$

Daten für Maximalfarbe (Ma): $LAB^*LAB^*_{Ma}$: 38 1 −42; $LAB^*LCH^*_{Ma}$: 38 42 271; $lab^*rgb^*_{Ma}$: 0.0 0.0 1.0; $lab^*olv^*_{Ma}$: 0.0 0.47 1.0

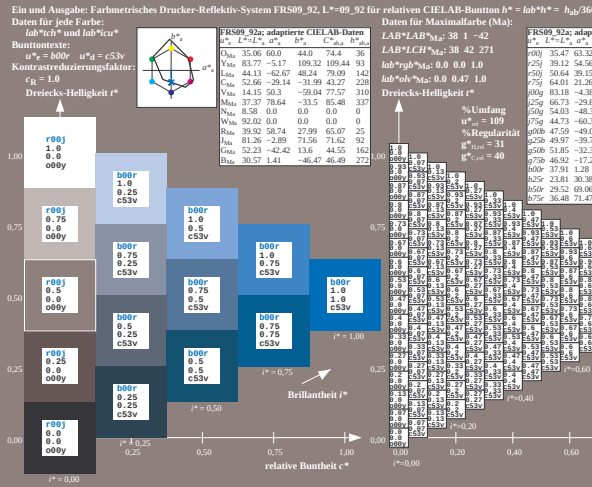

Ein und Ausgabe: Farbmetrisches Drucker-Reflektiv-System FRS09_92, L*=09_92 für relativen CIELAB-Buntton $h^* = lab^*h^* = R_{ab}/360 = 0.834$ $u^*_e = b25r$ lab^*cu^*d

Daten für jede Farbe: lab^*ch^* und lab^*cu^*

Buntton: $u^*_e = b25r$ $u^*_d = c87v$

Kontrastreduzierungsfaktor: $c_R = 1.0$

Daten für Maximalfarbe (Ma): $LAB^*LAB^*_{Ma}$: 24 30 −52; $LAB^*LCH^*_{Ma}$: 24 60 300; $lab^*rgb^*_{Ma}$: 0.5 0.0 1.0; $lab^*olv^*_{Ma}$: 0.0 0.12 1.0

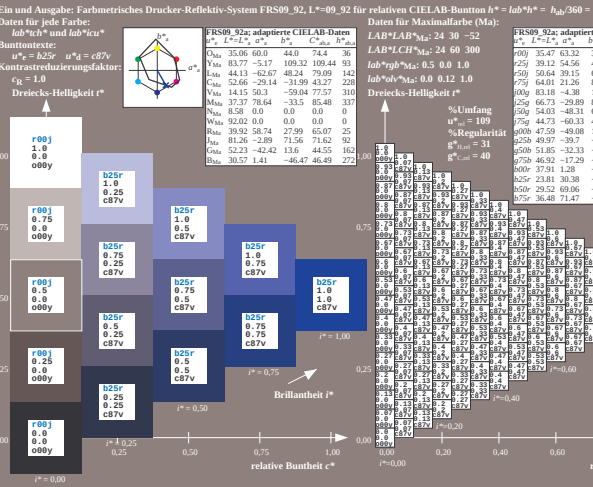

Ein und Ausgabe: Farbmetrisches Drucker-Reflektiv-System FRS09_92, L*=09_92 für relativen CIELAB-Buntton $h^* = lab^*h^* = R_{ab}/360 = 0.913$ $u^*_e = b50r$ lab^*cu^*d

Daten für jede Farbe: lab^*ch^* und lab^*cu^*

Buntton: $u^*_e = b50r$ $u^*_d = v68m$

Kontrastreduzierungsfaktor: $c_R = 1.0$

Daten für Maximalfarbe (Ma): $LAB^*LAB^*_{Ma}$: 30 69 −42; $LAB^*LCH^*_{Ma}$: 30 81 328; $lab^*rgb^*_{Ma}$: 1.0 0.0 1.0; $lab^*olv^*_{Ma}$: 0.69 0.0 1.0

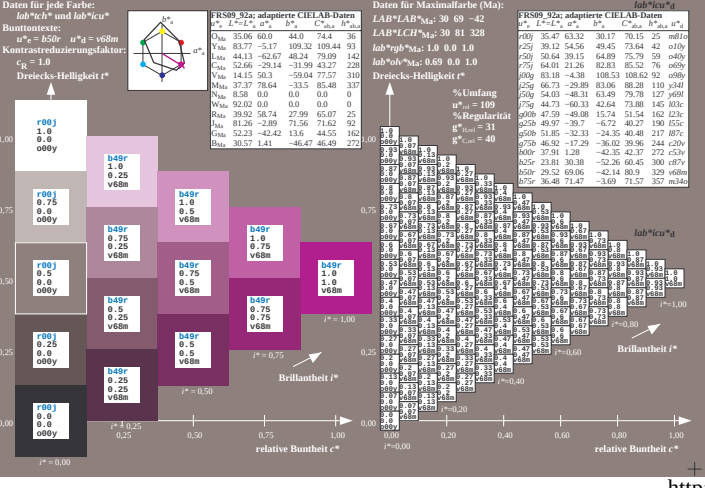

Ein und Ausgabe: Farbmetrisches Drucker-Reflektiv-System FRS09_92, L*=09_92 für relativen CIELAB-Buntton $h^* = lab^*h^* = R_{ab}/360 = 0.992$ $u^*_e = b75r$ lab^*cu^*d

Daten für jede Farbe: lab^*ch^* und lab^*cu^*

Buntton: $u^*_e = b75r$ $u^*_d = m34o$

Kontrastreduzierungsfaktor: $c_R = 1.0$

Daten für Maximalfarbe (Ma): $LAB^*LAB^*_{Ma}$: 36 71 −4; $LAB^*LCH^*_{Ma}$: 36 72 357; $lab^*rgb^*_{Ma}$: 1.0 0.0 0.5; $lab^*olv^*_{Ma}$: 1.0 0.0 0.66

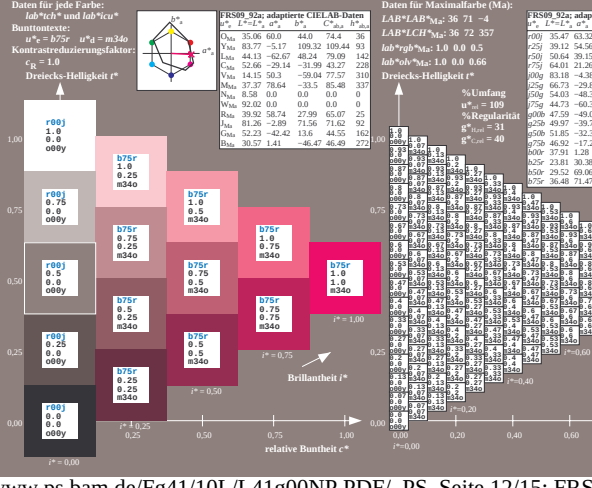

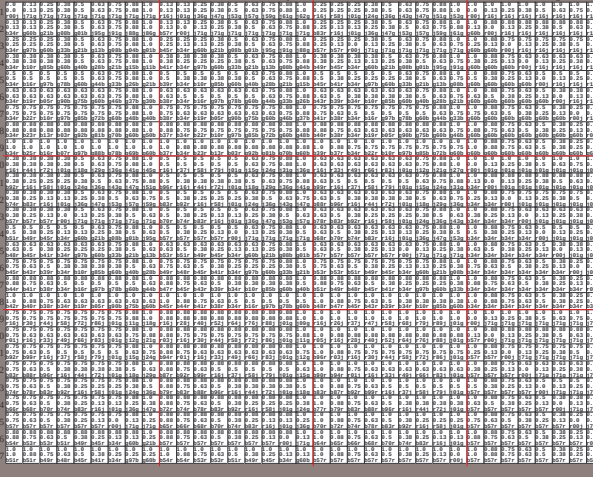

Ein und Ausgabe: Farbmetrisches Drucker-Reflektiv-System FRS09_92, L*=09_92 für relativen CIELAB-Buntton $h^* = lab^*h^* = h_{ab}/360 = 0.451$ — u^*_e = g00b — LAB*LAB*

Daten für jede Farbe:
lab*tch* und lab*icu*
Bunttexte:
u^*_e = g00b u^*_d = l23c
Kontrastreduzierungsfaktor:
$c_R = 1.0$
Dreiecks-Helligkeit t*

FRS09_92; CIELAB-Daten

u^*_e	$L^*=L^*$	a^*	b^*	C^*_{ab}	h^*_{ab}
O_M	35.06	60.53	39.66	72.37	33
Y_M	83.77	−4.5	103.15	103.25	92
L_M	44.13	−62.11	43.56	75.86	145
C_M	52.66	−28.56	−36.99	46.73	232
V_M	14.15	50.78	−62.6	80.61	309
M_M	37.37	79.18	−37.93	87.8	334
N_M	8.58	0.46	−3.35	3.38	278
W_M	92.02	0.69	−6.48	6.52	276
R_M	39.92	58.74	27.99	65.07	25
J_M	81.26	−2.89	71.56	71.62	92
G_M	52.23	−42.42	13.6	44.55	162
B_M	30.57	1.41	−46.47	46.49	272

Daten für Maximalfarbe (Ma):
$LAB^*LAB^*_{Ma}$: 48 −49 16
$LAB^*LCH^*_{Ma}$: 48 52 162
$lab^*rgb^*_{Ma}$: 0.0 1.0 0.0
$lab^*olv^*_{Ma}$: 0.0 1.0 0.23
Dreiecks-Helligkeit t*

%Umfang
$u^*_{rel} = 109$
%Regularität
$g^*_{H,rel} = 31$
$g^*_{C,rel} = 40$

FRS09_92a; adaptierte CIELAB-Daten

u^*_e	$L^*=L^*_a$	a^*_a	b^*_a	$C^*_{ab,a}$	$h^*_{ab,a}$	u^*_d
r00j	35.47	63.32	30.17	70.15	25	m81o
r25j	39.12	54.56	49.45	73.64	42	o10y
r50j	50.64	39.15	64.89	75.79	59	o40y
r75j	64.01	21.26	82.83	85.52	76	o69y
j00g	83.18	−4.38	108.53	108.62	92	o98y
j25g	66.73	−29.89	83.06	88.28	110	y34l
j50g	54.03	−48.31	63.49	79.78	127	y69l
j75g	44.73	−60.33	42.64	73.88	145	l03c
g00b	47.59	−49.08	15.74	51.54	162	l23c
g25b	49.97	−39.7	−6.72	40.27	190	l55c
g50b	51.85	−32.33	−24.35	40.48	217	l87c
g75b	46.92	−17.29	−36.02	39.96	244	c20v
b00r	37.91	1.28	−42.35	42.37	272	c53v
b25r	23.81	30.38	−52.26	60.45	300	c87v
b50r	29.52	69.06	−42.14	80.9	329	v68m
b75r	36.48	71.47	−3.69	71.57	357	m34o

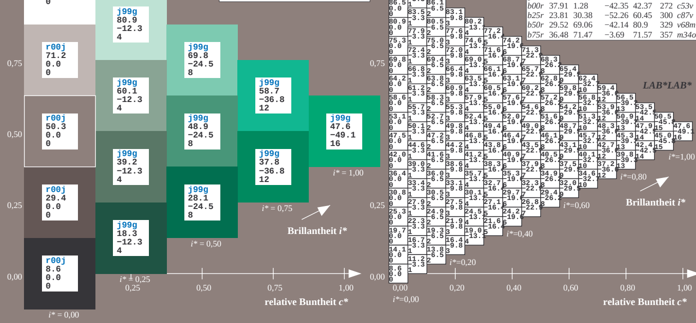

Ein und Ausgabe: Farbmetrisches Drucker-Reflektiv-System FRS09_92, L*=09_92 für relativen CIELAB-Buntton $h^* = lab^*h^* = h_{ab}/360 = 0.527$ — u^*_e = g25b — LAB*LAB*

Daten für jede Farbe:
lab*tch* und lab*icu*
Bunttexte:
u^*_e = g25b u^*_d = l55c
Kontrastreduzierungsfaktor:
$c_R = 1.0$
Dreiecks-Helligkeit t*

FRS09_92; CIELAB-Daten

u^*_e	$L^*=L^*$	a^*	b^*	C^*_{ab}	h^*_{ab}
O_M	35.06	60.53	39.66	72.37	33
Y_M	83.77	−4.5	103.15	103.25	92
L_M	44.13	−62.11	43.56	75.86	145
C_M	52.66	−28.56	−36.99	46.73	232
V_M	14.15	50.78	−62.6	80.61	309
M_M	37.37	79.18	−37.93	87.8	334
N_M	8.58	0.46	−3.35	3.38	278
W_M	92.02	0.69	−6.48	6.52	276
R_M	39.92	58.74	27.99	65.07	25
J_M	81.26	−2.89	71.56	71.62	92
G_M	52.23	−42.42	13.6	44.55	162
B_M	30.57	1.41	−46.47	46.49	272

Daten für Maximalfarbe (Ma):
$LAB^*LAB^*_{Ma}$: 50 −40 −7
$LAB^*LCH^*_{Ma}$: 50 40 189
$lab^*rgb^*_{Ma}$: 0.0 1.0 0.5
$lab^*olv^*_{Ma}$: 0.0 1.0 0.55
Dreiecks-Helligkeit t*

%Umfang
$u^*_{rel} = 109$
%Regularität
$g^*_{H,rel} = 31$
$g^*_{C,rel} = 40$

FRS09_92a; adaptierte CIELAB-Daten

u^*_e	$L^*=L^*_a$	a^*_a	b^*_a	$C^*_{ab,a}$	$h^*_{ab,a}$	u^*_d
r00j	35.47	63.32	30.17	70.15	25	m81o
r25j	39.12	54.56	49.45	73.64	42	o10y
r50j	50.64	39.15	64.89	75.79	59	o40y
r75j	64.01	21.26	82.83	85.52	76	o69y
j00g	83.18	−4.38	108.53	108.62	92	o98y
j25g	66.73	−29.89	83.06	88.28	110	y34l
j50g	54.03	−48.31	63.49	79.78	127	y69l
j75g	44.73	−60.33	42.64	73.88	145	l03c
g00b	47.59	−49.08	15.74	51.54	162	l23c
g25b	49.97	−39.7	−6.72	40.27	190	l55c
g50b	51.85	−32.33	−24.35	40.48	217	l87c
g75b	46.92	−17.29	−36.02	39.96	244	c20v
b00r	37.91	1.28	−42.35	42.37	272	c53v
b25r	23.81	30.38	−52.26	60.45	300	c87v
b50r	29.52	69.06	−42.14	80.9	329	v68m
b75r	36.48	71.47	−3.69	71.57	357	m34o

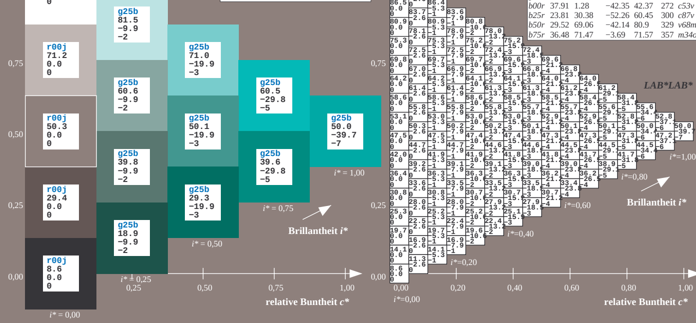

Ein und Ausgabe: Farbmetrisches Drucker-Reflektiv-System FRS09_92, L*=09_92 für relativen CIELAB-Buntton $h^* = lab^*h^* = h_{ab}/360 = 0.603$ — u^*_e = g50b — LAB*LAB*

Daten für jede Farbe:
lab*tch* und lab*icu*
Bunttexte:
u^*_e = g50b u^*_d = l87c
Kontrastreduzierungsfaktor:
$c_R = 1.0$
Dreiecks-Helligkeit t*

FRS09_92; CIELAB-Daten

u^*_e	$L^*=L^*$	a^*	b^*	C^*_{ab}	h^*_{ab}
O_M	35.06	60.53	39.66	72.37	33
Y_M	83.77	−4.5	103.15	103.25	92
L_M	44.13	−62.11	43.56	75.86	145
C_M	52.66	−28.56	−36.99	46.73	232
V_M	14.15	50.78	−62.6	80.61	309
M_M	37.37	79.18	−37.93	87.8	334
N_M	8.58	0.46	−3.35	3.38	278
W_M	92.02	0.69	−6.48	6.52	276
R_M	39.92	58.74	27.99	65.07	25
J_M	81.26	−2.89	71.56	71.62	92
G_M	52.23	−42.42	13.6	44.55	162
B_M	30.57	1.41	−46.47	46.49	272

Daten für Maximalfarbe (Ma):
$LAB^*LAB^*_{Ma}$: 52 −32 −24
$LAB^*LCH^*_{Ma}$: 52 40 216
$lab^*rgb^*_{Ma}$: 0.0 1.0 1.0
$lab^*olv^*_{Ma}$: 0.0 1.0 0.87
Dreiecks-Helligkeit t*

%Umfang
$u^*_{rel} = 109$
%Regularität
$g^*_{H,rel} = 31$
$g^*_{C,rel} = 40$

FRS09_92a; adaptierte CIELAB-Daten

u^*_e	$L^*=L^*_a$	a^*_a	b^*_a	$C^*_{ab,a}$	$h^*_{ab,a}$	u^*_d
r00j	35.47	63.32	30.17	70.15	25	m81o
r25j	39.12	54.56	49.45	73.64	42	o10y
r50j	50.64	39.15	64.89	75.79	59	o40y
r75j	64.01	21.26	82.83	85.52	76	o69y
j00g	83.18	−4.38	108.53	108.62	92	o98y
j25g	66.73	−29.89	83.06	88.28	110	y34l
j50g	54.03	−48.31	63.49	79.78	127	y69l
j75g	44.73	−60.33	42.64	73.88	145	l03c
g00b	47.59	−49.08	15.74	51.54	162	l23c
g25b	49.97	−39.7	−6.72	40.27	190	l55c
g50b	51.85	−32.33	−24.35	40.48	217	l87c
g75b	46.92	−17.29	−36.02	39.96	244	c20v
b00r	37.91	1.28	−42.35	42.37	272	c53v
b25r	23.81	30.38	−52.26	60.45	300	c87v
b50r	29.52	69.06	−42.14	80.9	329	v68m
b75r	36.48	71.47	−3.69	71.57	357	m34o

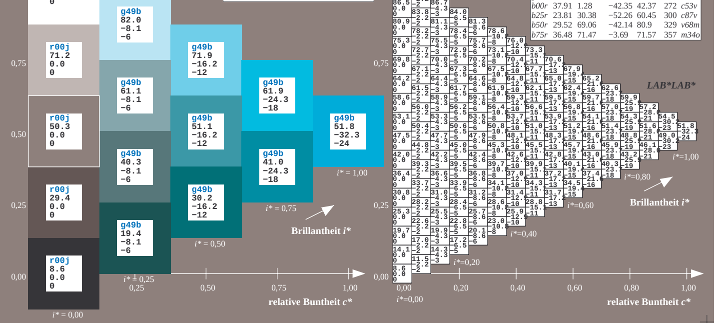

Ein und Ausgabe: Farbmetrisches Drucker-Reflektiv-System FRS09_92, L*=09_92 für relativen CIELAB-Buntton $h^* = lab^*h^* = h_{ab}/360 = 0.679$ — u^*_e = g75b — LAB*LAB*

Daten für jede Farbe:
lab*tch* und lab*icu*
Bunttexte:
u^*_e = g75b u^*_d = c20v
Kontrastreduzierungsfaktor:
$c_R = 1.0$
Dreiecks-Helligkeit t*

FRS09_92; CIELAB-Daten

u^*_e	$L^*=L^*$	a^*	b^*	C^*_{ab}	h^*_{ab}
O_M	35.06	60.53	39.66	72.37	33
Y_M	83.77	−4.5	103.15	103.25	92
L_M	44.13	−62.11	43.56	75.86	145
C_M	52.66	−28.56	−36.99	46.73	232
V_M	14.15	50.78	−62.6	80.61	309
M_M	37.37	79.18	−37.93	87.8	334
N_M	8.58	0.46	−3.35	3.38	278
W_M	92.02	0.69	−6.48	6.52	276
R_M	39.92	58.74	27.99	65.07	25
J_M	81.26	−2.89	71.56	71.62	92
G_M	52.23	−42.42	13.6	44.55	162
B_M	30.57	1.41	−46.47	46.49	272

Daten für Maximalfarbe (Ma):
$LAB^*LAB^*_{Ma}$: 47 −17 −36
$LAB^*LCH^*_{Ma}$: 47 40 244
$lab^*rgb^*_{Ma}$: 0.0 0.5 1.0
$lab^*olv^*_{Ma}$: 0.0 0.8 1.0
Dreiecks-Helligkeit t*

%Umfang
$u^*_{rel} = 109$
%Regularität
$g^*_{H,rel} = 31$
$g^*_{C,rel} = 40$

FRS09_92a; adaptierte CIELAB-Daten

u^*_e	$L^*=L^*_a$	a^*_a	b^*_a	$C^*_{ab,a}$	$h^*_{ab,a}$	u^*_d
r00j	35.47	63.32	30.17	70.15	25	m81o
r25j	39.12	54.56	49.45	73.64	42	o10y
r50j	50.64	39.15	64.89	75.79	59	o40y
r75j	64.01	21.26	82.83	85.52	76	o69y
j00g	83.18	−4.38	108.53	108.62	92	o98y
j25g	66.73	−29.89	83.06	88.28	110	y34l
j50g	54.03	−48.31	63.49	79.78	127	y69l
j75g	44.73	−60.33	42.64	73.88	145	l03c
g00b	47.59	−49.08	15.74	51.54	162	l23c
g25b	49.97	−39.7	−6.72	40.27	190	l55c
g50b	51.85	−32.33	−24.35	40.48	217	l87c
g75b	46.92	−17.29	−36.02	39.96	244	c20v
b00r	37.91	1.28	−42.35	42.37	272	c53v
b25r	23.81	30.38	−52.26	60.45	300	c87v
b50r	29.52	69.06	−42.14	80.9	329	v68m
b75r	36.48	71.47	−3.69	71.57	357	m34o

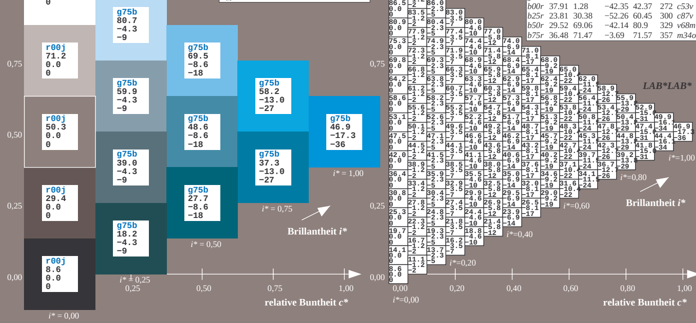

Ein und Ausgabe: Farbmetrisches Drucker-Reflektiv-System FRS09_92, L*=09_92 für relativen CIELAB-Buntton $h^* = lab^*h^* = h_{ab}/360 = 0.755$ — u^*_e = b00r — LAB*LAB*

Daten für jede Farbe:
lab*tch* und lab*icu*
Bunttexte:
u^*_e = b00r u^*_d = c53v
Kontrastreduzierungsfaktor:
$c_R = 1.0$
Dreiecks-Helligkeit t*

FRS09_92; CIELAB-Daten

u^*_e	$L^*=L^*$	a^*	b^*	C^*_{ab}	h^*_{ab}
O_M	35.06	60.53	39.66	72.37	33
Y_M	83.77	−4.5	103.15	103.25	92
L_M	44.13	−62.11	43.56	75.86	145
C_M	52.66	−28.56	−36.99	46.73	232
V_M	14.15	50.78	−62.6	80.61	309
M_M	37.37	79.18	−37.93	87.8	334
N_M	8.58	0.46	−3.35	3.38	278
W_M	92.02	0.69	−6.48	6.52	276
R_M	39.92	58.74	27.99	65.07	25
J_M	81.26	−2.89	71.56	71.62	92
G_M	52.23	−42.42	13.6	44.55	162
B_M	30.57	1.41	−46.47	46.49	272

Daten für Maximalfarbe (Ma):
$LAB^*LAB^*_{Ma}$: 38 1 −42
$LAB^*LCH^*_{Ma}$: 38 42 271
$lab^*rgb^*_{Ma}$: 0.0 0.0 1.0
$lab^*olv^*_{Ma}$: 0.0 0.47 1.0
Dreiecks-Helligkeit t*

%Umfang
$u^*_{rel} = 109$
%Regularität
$g^*_{H,rel} = 31$
$g^*_{C,rel} = 40$

FRS09_92a; adaptierte CIELAB-Daten

u^*_e	$L^*=L^*_a$	a^*_a	b^*_a	$C^*_{ab,a}$	$h^*_{ab,a}$	u^*_d
r00j	35.47	63.32	30.17	70.15	25	m81o
r25j	39.12	54.56	49.45	73.64	42	o10y
r50j	50.64	39.15	64.89	75.79	59	o40y
r75j	64.01	21.26	82.83	85.52	76	o69y
j00g	83.18	−4.38	108.53	108.62	92	o98y
j25g	66.73	−29.89	83.06	88.28	110	y34l
j50g	54.03	−48.31	63.49	79.78	127	y69l
j75g	44.73	−60.33	42.64	73.88	145	l03c
g00b	47.59	−49.08	15.74	51.54	162	l23c
g25b	49.97	−39.7	−6.72	40.27	190	l55c
g50b	51.85	−32.33	−24.35	40.48	217	l87c
g75b	46.92	−17.29	−36.02	39.96	244	c20v
b00r	37.91	1.28	−42.35	42.37	272	c53v
b25r	23.81	30.38	−52.26	60.45	300	c87v
b50r	29.52	69.06	−42.14	80.9	329	v68m
b75r	36.48	71.47	−3.69	71.57	357	m34o

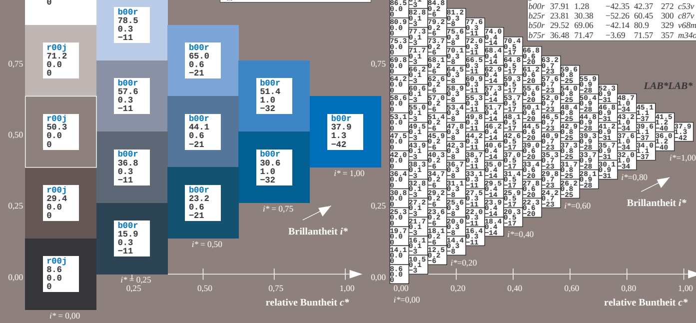

Ein und Ausgabe: Farbmetrisches Drucker-Reflektiv-System FRS09_92, L*=09_92 für relativen CIELAB-Buntton $h^* = lab^*h^* = h_{ab}/360 = 0.834$ — u^*_e = b25r — LAB*LAB*

Daten für jede Farbe:
lab*tch* und lab*icu*
Bunttexte:
u^*_e = b25r u^*_d = c87v
Kontrastreduzierungsfaktor:
$c_R = 1.0$
Dreiecks-Helligkeit t*

FRS09_92; CIELAB-Daten

u^*_e	$L^*=L^*$	a^*	b^*	C^*_{ab}	h^*_{ab}
O_M	35.06	60.53	39.66	72.37	33
Y_M	83.77	−4.5	103.15	103.25	92
L_M	44.13	−62.11	43.56	75.86	145
C_M	52.66	−28.56	−36.99	46.73	232
V_M	14.15	50.78	−62.6	80.61	309
M_M	37.37	79.18	−37.93	87.8	334
N_M	8.58	0.46	−3.35	3.38	278
W_M	92.02	0.69	−6.48	6.52	276
R_M	39.92	58.74	27.99	65.07	25
J_M	81.26	−2.89	71.56	71.62	92
G_M	52.23	−42.42	13.6	44.55	162
B_M	30.57	1.41	−46.47	46.49	272

Daten für Maximalfarbe (Ma):
$LAB^*LAB^*_{Ma}$: 24 30 −52
$LAB^*LCH^*_{Ma}$: 24 60 300
$lab^*rgb^*_{Ma}$: 0.5 0.0 1.0
$lab^*olv^*_{Ma}$: 0.0 0.12 1.0
Dreiecks-Helligkeit t*

%Umfang
$u^*_{rel} = 109$
%Regularität
$g^*_{H,rel} = 31$
$g^*_{C,rel} = 40$

FRS09_92a; adaptierte CIELAB-Daten

u^*_e	$L^*=L^*_a$	a^*_a	b^*_a	$C^*_{ab,a}$	$h^*_{ab,a}$	u^*_d
r00j	35.47	63.32	30.17	70.15	25	m81o
r25j	39.12	54.56	49.45	73.64	42	o10y
r50j	50.64	39.15	64.89	75.79	59	o40y
r75j	64.01	21.26	82.83	85.52	76	o69y
j00g	83.18	−4.38	108.53	108.62	92	o98y
j25g	66.73	−29.89	83.06	88.28	110	y34l
j50g	54.03	−48.31	63.49	79.78	127	y69l
j75g	44.73	−60.33	42.64	73.88	145	l03c
g00b	47.59	−49.08	15.74	51.54	162	l23c
g25b	49.97	−39.7	−6.72	40.27	190	l55c
g50b	51.85	−32.33	−24.35	40.48	217	l87c
g75b	46.92	−17.29	−36.02	39.96	244	c20v
b00r	37.91	1.28	−42.35	42.37	272	c53v
b25r	23.81	30.38	−52.26	60.45	300	c87v
b50r	29.52	69.06	−42.14	80.9	329	v68m
b75r	36.48	71.47	−3.69	71.57	357	m34o

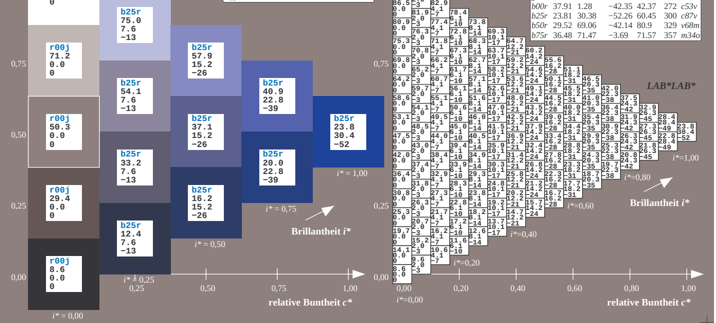

Ein und Ausgabe: Farbmetrisches Drucker-Reflektiv-System FRS09_92, L*=09_92 für relativen CIELAB-Buntton $h^* = lab^*h^* = h_{ab}/360 = 0.913$ — u^*_e = b50r — LAB*LAB*

Daten für jede Farbe:
lab*tch* und lab*icu*
Bunttexte:
u^*_e = b50r u^*_d = v68m
Kontrastreduzierungsfaktor:
$c_R = 1.0$
Dreiecks-Helligkeit t*

FRS09_92; CIELAB-Daten

u^*_e	$L^*=L^*$	a^*	b^*	C^*_{ab}	h^*_{ab}
O_M	35.06	60.53	39.66	72.37	33
Y_M	83.77	−4.5	103.15	103.25	92
L_M	44.13	−62.11	43.56	75.86	145
C_M	52.66	−28.56	−36.99	46.73	232
V_M	14.15	50.78	−62.6	80.61	309
M_M	37.37	79.18	−37.93	87.8	334
N_M	8.58	0.46	−3.35	3.38	278
W_M	92.02	0.69	−6.48	6.52	276
R_M	39.92	58.74	27.99	65.07	25
J_M	81.26	−2.89	71.56	71.62	92
G_M	52.23	−42.42	13.6	44.55	162
B_M	30.57	1.41	−46.47	46.49	272

Daten für Maximalfarbe (Ma):
$LAB^*LAB^*_{Ma}$: 30 69 −42
$LAB^*LCH^*_{Ma}$: 30 81 328
$lab^*rgb^*_{Ma}$: 1.0 0.0 1.0
$lab^*olv^*_{Ma}$: 0.69 0.0 1.0
Dreiecks-Helligkeit t*

%Umfang
$u^*_{rel} = 109$
%Regularität
$g^*_{H,rel} = 31$
$g^*_{C,rel} = 40$

FRS09_92a; adaptierte CIELAB-Daten

u^*_e	$L^*=L^*_a$	a^*_a	b^*_a	$C^*_{ab,a}$	$h^*_{ab,a}$	u^*_d
r00j	35.47	63.32	30.17	70.15	25	m81o
r25j	39.12	54.56	49.45	73.64	42	o10y
r50j	50.64	39.15	64.89	75.79	59	o40y
r75j	64.01	21.26	82.83	85.52	76	o69y
j00g	83.18	−4.38	108.53	108.62	92	o98y
j25g	66.73	−29.89	83.06	88.28	110	y34l
j50g	54.03	−48.31	63.49	79.78	127	y69l
j75g	44.73	−60.33	42.64	73.88	145	l03c
g00b	47.59	−49.08	15.74	51.54	162	l23c
g25b	49.97	−39.7	−6.72	40.27	190	l55c
g50b	51.85	−32.33	−24.35	40.48	217	l87c
g75b	46.92	−17.29	−36.02	39.96	244	c20v
b00r	37.91	1.28	−42.35	42.37	272	c53v
b25r	23.81	30.38	−52.26	60.45	300	c87v
b50r	29.52	69.06	−42.14	80.9	329	v68m
b75r	36.48	71.47	−3.69	71.57	357	m34o

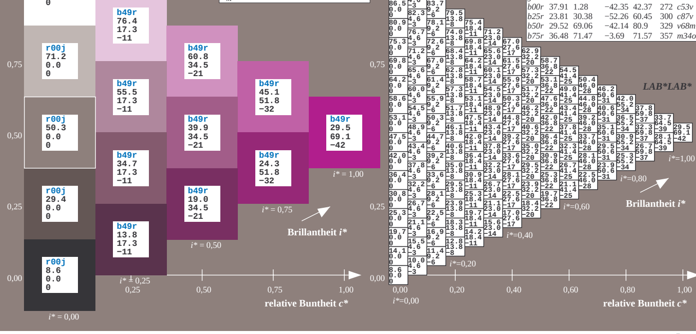

Ein und Ausgabe: Farbmetrisches Drucker-Reflektiv-System FRS09_92, L*=09_92 für relativen CIELAB-Buntton $h^* = lab^*h^* = h_{ab}/360 = 0.992$ — u^*_e = b75r — LAB*LAB*

Daten für jede Farbe:
lab*tch* und lab*icu*
Bunttexte:
u^*_e = b75r u^*_d = m34o
Kontrastreduzierungsfaktor:
$c_R = 1.0$
Dreiecks-Helligkeit t*

FRS09_92; CIELAB-Daten

u^*_e	$L^*=L^*$	a^*	b^*	C^*_{ab}	h^*_{ab}
O_M	35.06	60.53	39.66	72.37	33
Y_M	83.77	−4.5	103.15	103.25	92
L_M	44.13	−62.11	43.56	75.86	145
C_M	52.66	−28.56	−36.99	46.73	232
V_M	14.15	50.78	−62.6	80.61	309
M_M	37.37	79.18	−37.93	87.8	334
N_M	8.58	0.46	−3.35	3.38	278
W_M	92.02	0.69	−6.48	6.52	276
R_M	39.92	58.74	27.99	65.07	25
J_M	81.26	−2.89	71.56	71.62	92
G_M	52.23	−42.42	13.6	44.55	162
B_M	30.57	1.41	−46.47	46.49	272

Daten für Maximalfarbe (Ma):
$LAB^*LAB^*_{Ma}$: 36 71 −4
$LAB^*LCH^*_{Ma}$: 36 72 357
$lab^*rgb^*_{Ma}$: 1.0 0.0 0.5
$lab^*olv^*_{Ma}$: 1.0 0.0 0.66
Dreiecks-Helligkeit t*

%Umfang
$u^*_{rel} = 109$
%Regularität
$g^*_{H,rel} = 31$
$g^*_{C,rel} = 40$

FRS09_92a; adaptierte CIELAB-Daten

u^*_e	$L^*=L^*_a$	a^*_a	b^*_a	$C^*_{ab,a}$	$h^*_{ab,a}$	u^*_d
r00j	35.47	63.32	30.17	70.15	25	m81o
r25j	39.12	54.56	49.45	73.64	42	o10y
r50j	50.64	39.15	64.89	75.79	59	o40y
r75j	64.01	21.26	82.83	85.52	76	o69y
j00g	83.18	−4.38	108.53	108.62	92	o98y
j25g	66.73	−29.89	83.06	88.28	110	y34l
j50g	54.03	−48.31	63.49	79.78	127	y69l
j75g	44.73	−60.33	42.64	73.88	145	l03c
g00b	47.59	−49.08	15.74	51.54	162	l23c
g25b	49.97	−39.7	−6.72	40.27	190	l55c
g50b	51.85	−32.33	−24.35	40.48	217	l87c
g75b	46.92	−17.29	−36.02	39.96	244	c20v
b00r	37.91	1.28	−42.35	42.37	272	c53v
b25r	23.81	30.38	−52.26	60.45	300	c87v
b50r	29.52	69.06	−42.14	80.9	329	v68m
b75r	36.48	71.47	−3.69	71.57	357	m34o

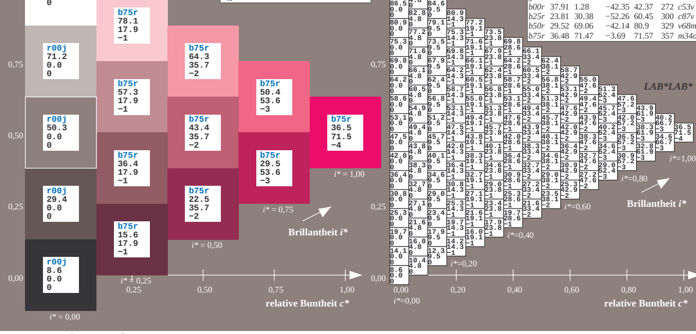

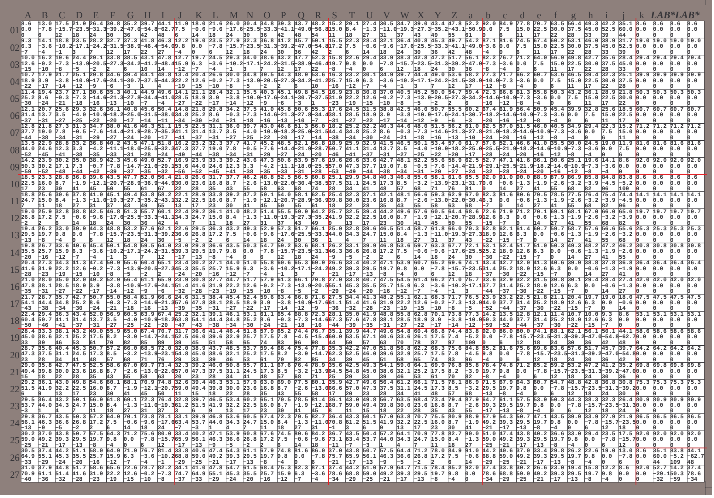

Ein und Ausgabe: Farbmetrisches Drucker-Reflektiv-System FRS09_92, L*=09_92 für relativen CIELAB-Buntton $h^* = lab^*h^* = R_{ab}/360 = 0.451$ $u^*_e = g00b$ lab^*ch^*

Daten für jede Farbe: *lab*ch* und lab*icu**

Buntton: $u^*_e = g00b$ $u^*_d = I23c$

Kontrastreduzierungsfaktor: $c_R = 1.0$

Daten für Maximalfarbe (Ma): $LAB^*LAB^*_{Ma}$: 48 −49 16; $LAB^*LCH^*_{Ma}$: 48 52 162; $lab^*rgb^*_{Ma}$: 0.0 1.0 0.0; $lab^*olv^*_{Ma}$: 0.0 1.0 0.23

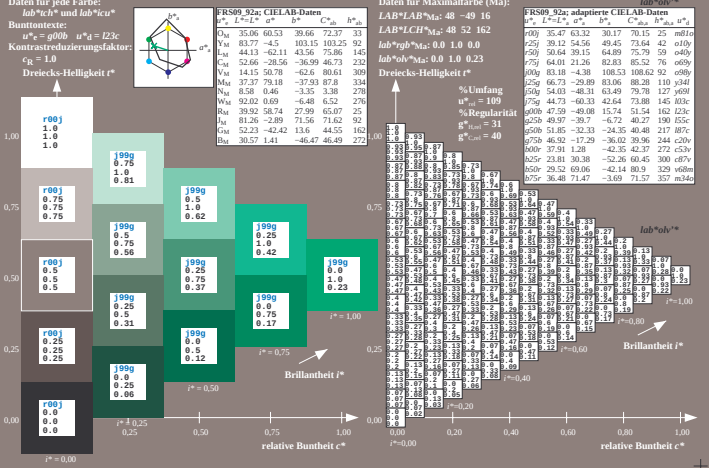

Ein und Ausgabe: Farbmetrisches Drucker-Reflektiv-System FRS09_92, L*=09_92 für relativen CIELAB-Buntton $h^* = lab^*h^* = R_{ab}/360 = 0.527$ $u^*_e = g25b$ lab^*ch^*

Daten für jede Farbe: *lab*ch* und lab*icu**

Buntton: $u^*_e = g25b$ $u^*_d = I55c$

Kontrastreduzierungsfaktor: $c_R = 1.0$

Daten für Maximalfarbe (Ma): $LAB^*LAB^*_{Ma}$: 50 −40 −7; $LAB^*LCH^*_{Ma}$: 50 40 189; $lab^*rgb^*_{Ma}$: 0.0 1.0 0.5; $lab^*olv^*_{Ma}$: 0.0 1.0 0.55

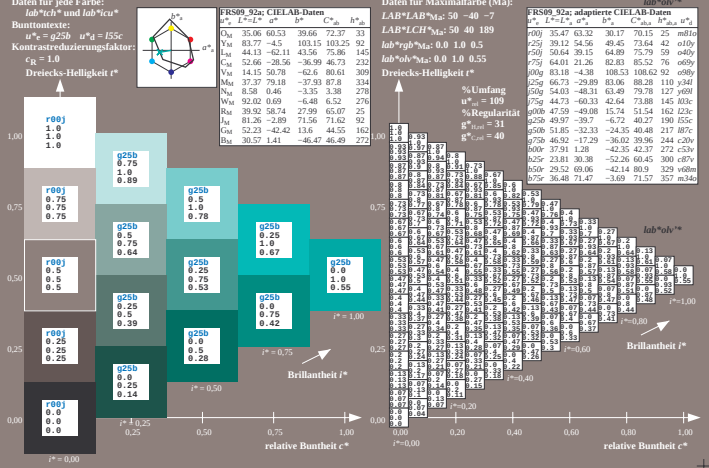

Ein und Ausgabe: Farbmetrisches Drucker-Reflektiv-System FRS09_92, L*=09_92 für relativen CIELAB-Buntton $h^* = lab^*h^* = R_{ab}/360 = 0.603$ $u^*_e = g50b$ lab^*ch^*

Daten für jede Farbe: *lab*ch* und lab*icu**

Buntton: $u^*_e = g50b$ $u^*_d = I87c$

Kontrastreduzierungsfaktor: $c_R = 1.0$

Daten für Maximalfarbe (Ma): $LAB^*LAB^*_{Ma}$: 52 −32 −24; $LAB^*LCH^*_{Ma}$: 52 40 216; $lab^*rgb^*_{Ma}$: 0.0 1.0 1.0; $lab^*olv^*_{Ma}$: 0.0 1.0 0.87

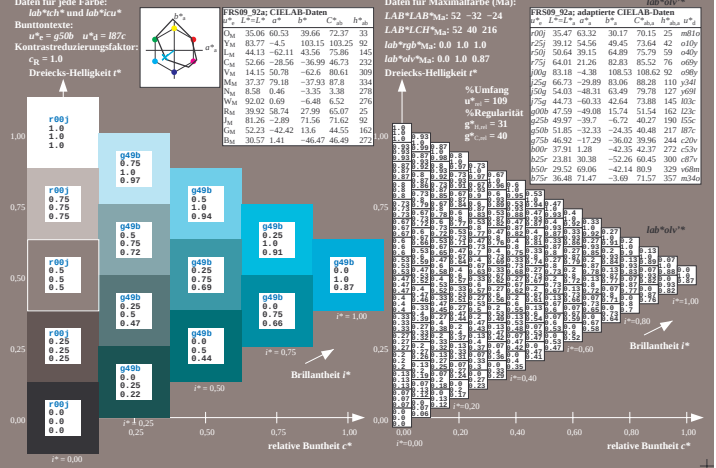

Ein und Ausgabe: Farbmetrisches Drucker-Reflektiv-System FRS09_92, L*=09_92 für relativen CIELAB-Buntton $h^* = lab^*h^* = R_{ab}/360 = 0.679$ $u^*_e = g75b$ lab^*ch^*

Daten für jede Farbe: *lab*ch* und lab*icu**

Buntton: $u^*_e = g75b$ $u^*_d = c20v$

Kontrastreduzierungsfaktor: $c_R = 1.0$

Daten für Maximalfarbe (Ma): $LAB^*LAB^*_{Ma}$: 47 −17 −36; $LAB^*LCH^*_{Ma}$: 47 40 244; $lab^*rgb^*_{Ma}$: 0.0 0.5 1.0; $lab^*olv^*_{Ma}$: 0.0 0.8 1.0

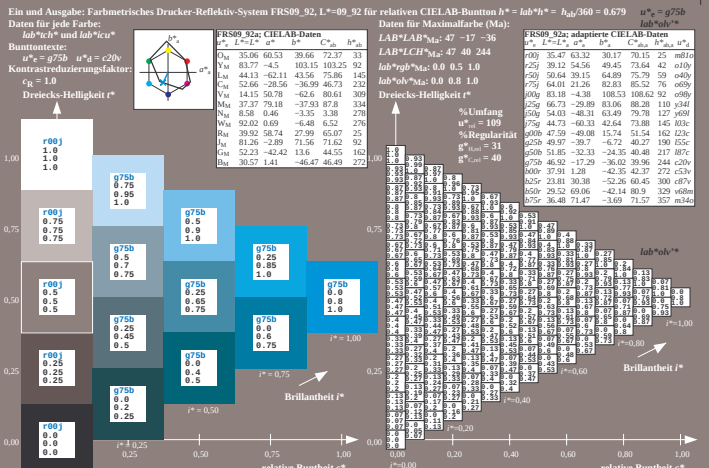

Ein und Ausgabe: Farbmetrisches Drucker-Reflektiv-System FRS09_92, L*=09_92 für relativen CIELAB-Buntton $h^* = lab^*h^* = R_{ab}/360 = 0.755$ $u^*_e = b00r$ lab^*ch^*

Daten für jede Farbe: *lab*ch* und lab*icu**

Buntton: $u^*_e = b00r$ $u^*_d = c53v$

Kontrastreduzierungsfaktor: $c_R = 1.0$

Daten für Maximalfarbe (Ma): $LAB^*LAB^*_{Ma}$: 38 1 −42; $LAB^*LCH^*_{Ma}$: 38 42 271; $lab^*rgb^*_{Ma}$: 0.0 0.0 1.0; $lab^*olv^*_{Ma}$: 0.0 0.47 1.0

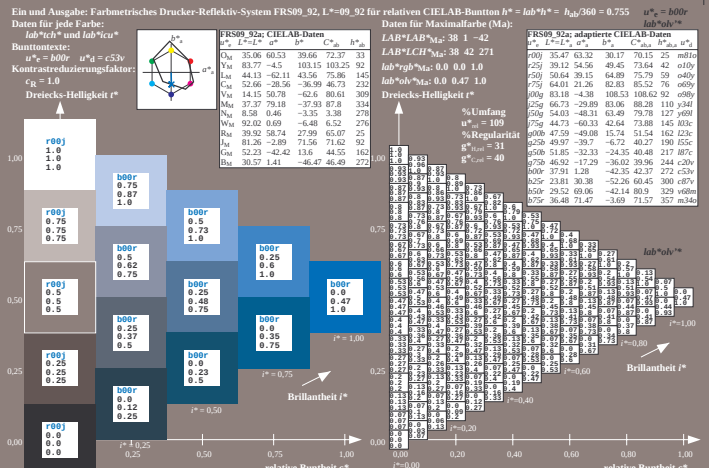

Ein und Ausgabe: Farbmetrisches Drucker-Reflektiv-System FRS09_92, L*=09_92 für relativen CIELAB-Buntton $h^* = lab^*h^* = R_{ab}/360 = 0.834$ $u^*_e = b25r$ lab^*ch^*

Daten für jede Farbe: *lab*ch* und lab*icu**

Buntton: $u^*_e = b25r$ $u^*_d = c87v$

Kontrastreduzierungsfaktor: $c_R = 1.0$

Daten für Maximalfarbe (Ma): $LAB^*LAB^*_{Ma}$: 24 30 −52; $LAB^*LCH^*_{Ma}$: 24 60 300; $lab^*rgb^*_{Ma}$: 0.5 0.0 1.0; $lab^*olv^*_{Ma}$: 0.0 0.12 1.0

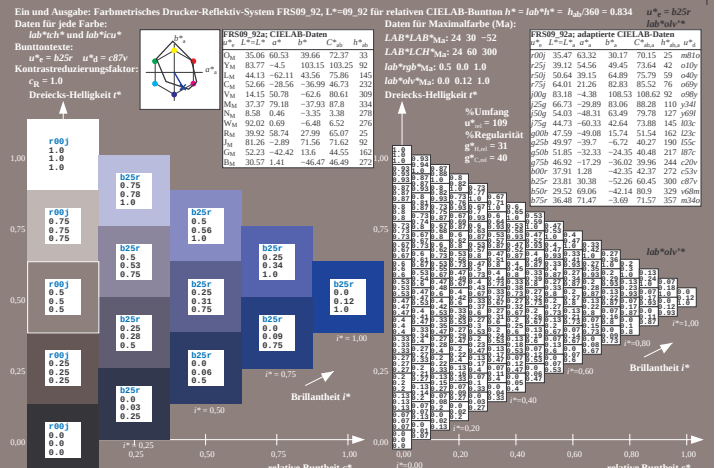

Ein und Ausgabe: Farbmetrisches Drucker-Reflektiv-System FRS09_92, L*=09_92 für relativen CIELAB-Buntton $h^* = lab^*h^* = R_{ab}/360 = 0.913$ $u^*_e = b50r$ lab^*ch^*

Daten für jede Farbe: *lab*ch* und lab*icu**

Buntton: $u^*_e = b50r$ $u^*_d = v68m$

Kontrastreduzierungsfaktor: $c_R = 1.0$

Daten für Maximalfarbe (Ma): $LAB^*LAB^*_{Ma}$: 30 69 −42; $LAB^*LCH^*_{Ma}$: 30 81 328; $lab^*rgb^*_{Ma}$: 1.0 0.0 1.0; $lab^*olv^*_{Ma}$: 0.69 0.0 1.0

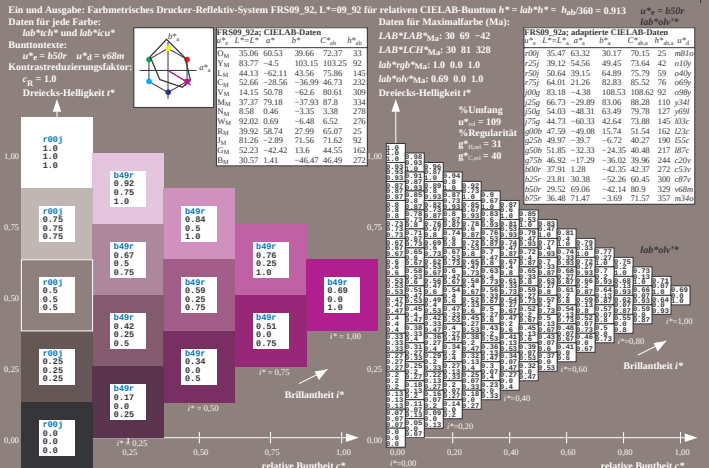

Ein und Ausgabe: Farbmetrisches Drucker-Reflektiv-System FRS09_92, L*=09_92 für relativen CIELAB-Buntton $h^* = lab^*h^* = R_{ab}/360 = 0.992$ $u^*_e = b75r$ lab^*ch^*

Daten für jede Farbe: *lab*ch* und lab*icu**

Buntton: $u^*_e = b75r$ $u^*_d = m34o$

Kontrastreduzierungsfaktor: $c_R = 1.0$

Daten für Maximalfarbe (Ma): $LAB^*LAB^*_{Ma}$: 36 71 −4; $LAB^*LCH^*_{Ma}$: 36 72 357; $lab^*rgb^*_{Ma}$: 1.0 0.0 0.5; $lab^*olv^*_{Ma}$: 1.0 0.0 0.66

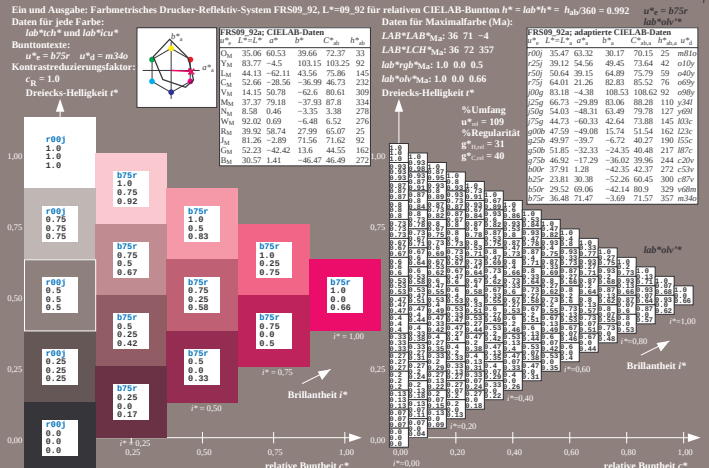

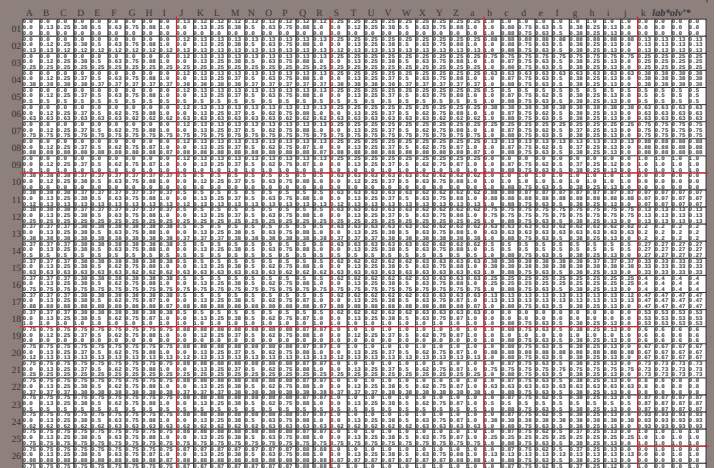

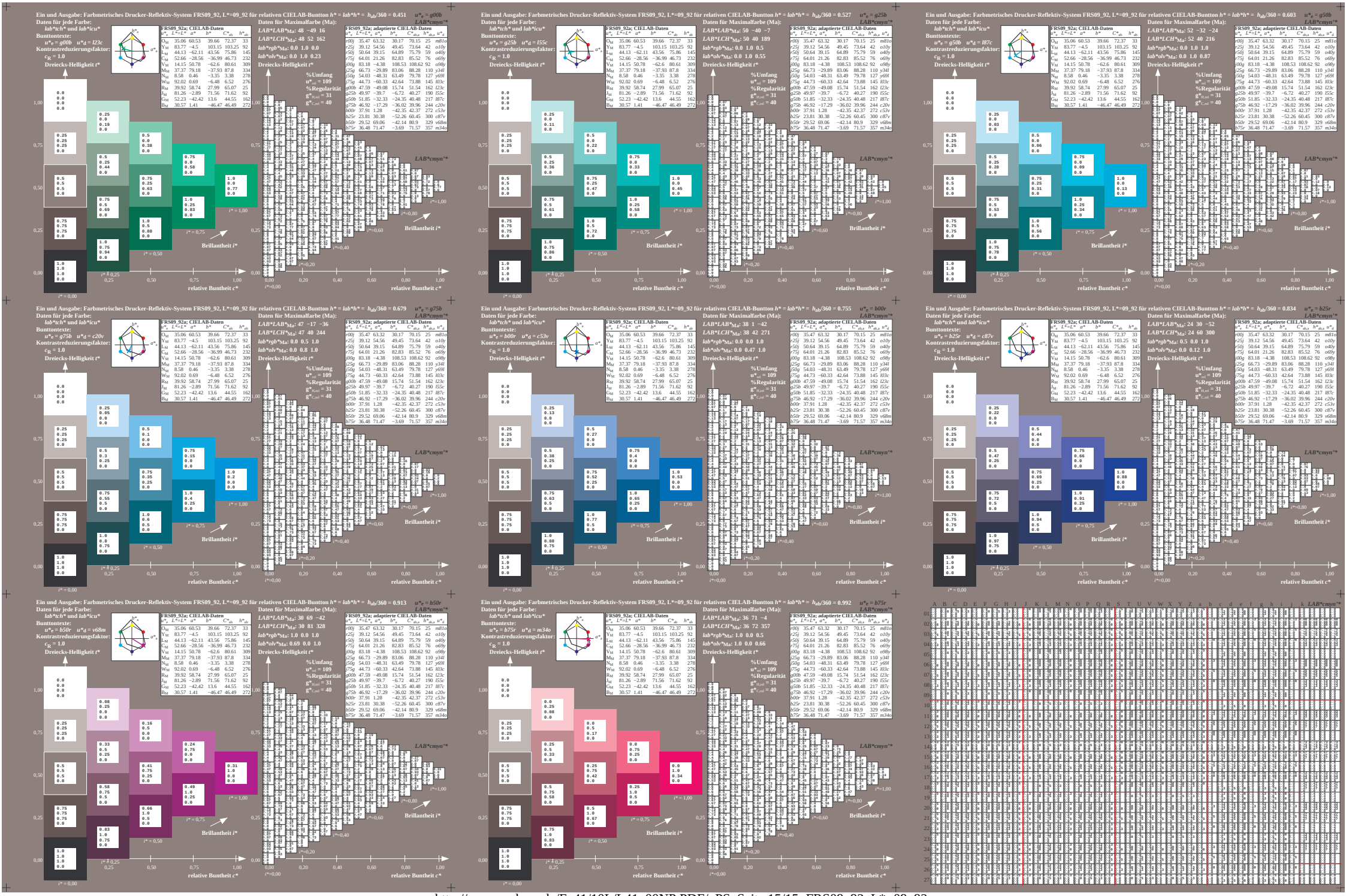

http://www.ps.bam.de/Fg41/10L/L41g00NP.PDF/ .PS, Seite 15/15; FRS09_92, L*=09_92